

宇宙磁気流体・プラズマシミュレーションサマーセミナー

2019年8月26日 @ 千葉大学

# MHDシミュレーションの 多次元化・高次精度化

飯島 陽久 (名古屋大学)

# 参考文献

- 箕島さんSS2015/2016スライド
  - [http://www.icehap.chiba-u.jp/activity/SS2015/textbook/ss2015\\_minoshim.pdf](http://www.icehap.chiba-u.jp/activity/SS2015/textbook/ss2015_minoshim.pdf)
  - [http://www.icehap.chiba-u.jp/activity/SS2016/textbook/ss2016\\_minoshim\\_womov.pdf](http://www.icehap.chiba-u.jp/activity/SS2016/textbook/ss2016_minoshim_womov.pdf)
- 吉川さんSS2017スライド
  - [http://www.icehap.chiba-u.jp/activity/SS2017/textbook/ss2017\\_yoshikawa.pdf](http://www.icehap.chiba-u.jp/activity/SS2017/textbook/ss2017_yoshikawa.pdf)
- 三好さんSS2018スライド
  - [http://www.icehap.chiba-u.jp/activity/SS2018/textbook/miyoshi\\_SS2018\\_FD.pdf](http://www.icehap.chiba-u.jp/activity/SS2018/textbook/miyoshi_SS2018_FD.pdf)

## 3時限目の目標

MHD方程式を

多次元・高解像度

で解く。

# なぜ高次精度化が必要なのか

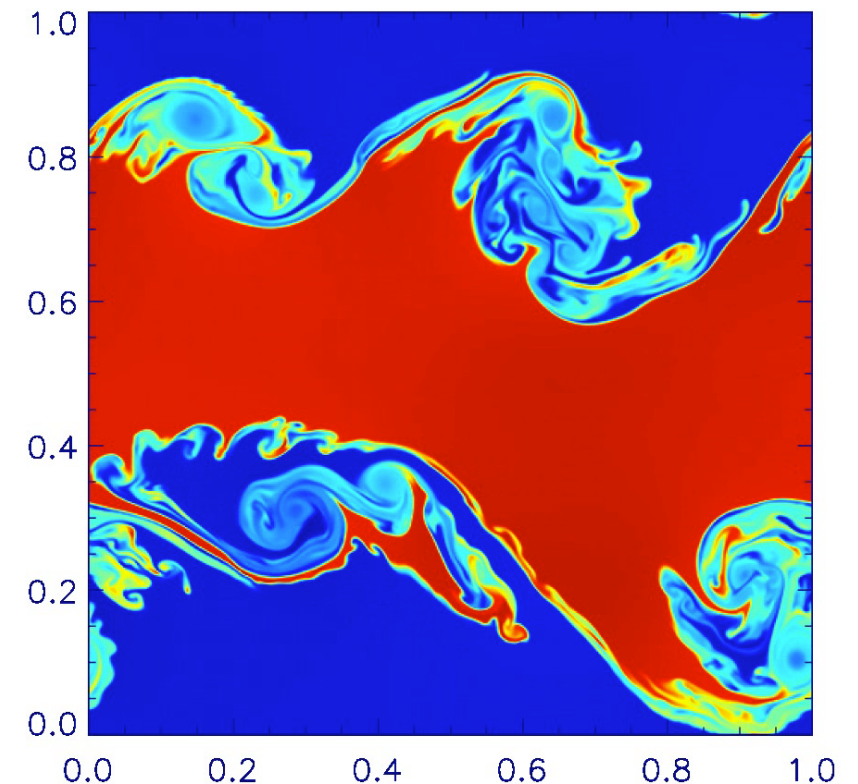
- 宇宙プラズマは多くの場合、**レイノルズ数が非常に大きい**。  
数値的な拡散は小さければ小さいほど現実に近い。

- **数値拡散を小さくする方法**

- 計算格子点数を増やす
  - 大規模計算機の利用、コードの高速化（明日の講義）
- 計算スキームを解像度を高める

- **計算スキームの高次精度化**

- N次精度スキームのエラー・数値拡散は $O(dx^N)$ で小さくなっていく
- 数値拡散を一桁下げるためには、**1次精度スキーム**では格子点数を1方向につき10倍つぎ込む必要がある。3次元計算なら**計算量は1万倍**。**5次精度スキーム**なら格子点数を1.6倍、計算量にして**6.5倍**の増加で済む。



# 目次

- **1次元線形移流方程式の高次精度化**
  - 空間高次精度化
  - 時間高次精度化
- **1次元MHD方程式の高次精度化**
  - 特性変数変換
  - リーマンソルバと解像度
- **多次元MHD方程式の解法**
  - 多次元化の方法
  - 磁場発散の処理

# 1次元線形移流方程式の 高次精度化

# 差分近似に伴う誤差の性質

$$U_j(t) = \exp [i (kx_j - \omega t)] \quad \text{単色波を仮定}$$

$$\frac{\partial U_j}{\partial x} = ikU_j \quad \text{解析的な微分}$$

$$\frac{\delta U_j}{\delta x} \equiv ik^* U_j \quad \text{差分近似 (修正波数 } k^* \text{ の定義)}$$

$$\frac{\partial U_j}{\partial t} = -a \frac{\delta U_j}{\delta x} = -iak^* U_j$$

$$\omega = ak^* = a(k^*/k) \cdot k$$

$k^*$  が実部を持つ  $\rightarrow$  解の移流速度が  $\text{Re}(k^*/k)$  だけ変化

$k^*$  が虚部を持つ  $\rightarrow$  増幅率  $\text{Im}(ak^*)$  で解の振幅が変化

# 1次精度風上差分の性質

単色波を仮定 (線形スキームならOK)

$$U_j = \exp(ikx_j) = \exp(ik\Delta x j)$$

$$\frac{\delta_1 U_j}{\delta_1 x} = \frac{U_j - U_{j-1}}{\Delta x}$$

$$= \frac{U_{j+1} - U_{j-1}}{2\Delta x} - \frac{U_{j+1} - 2U_j + U_{j-1}}{2\Delta x}$$

$$\frac{1}{ikU_j} \frac{\delta_1 U_j}{\delta_1 x} = \frac{\sin(k\Delta x)}{k\Delta x} + i \frac{\cos(k\Delta x) - 1}{k\Delta x} = \frac{k^*}{k}$$

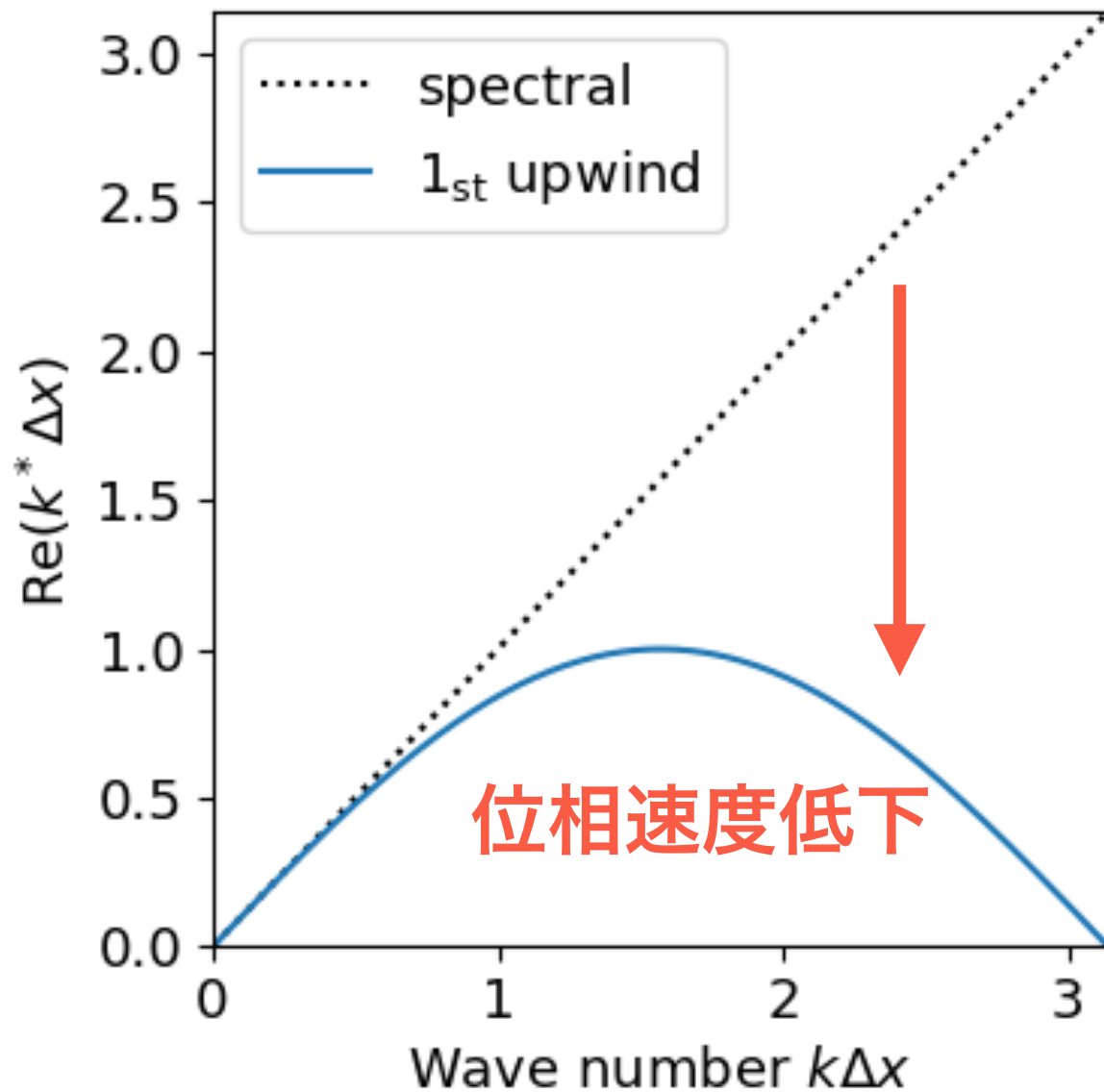
**実数部**

位相速度に影響

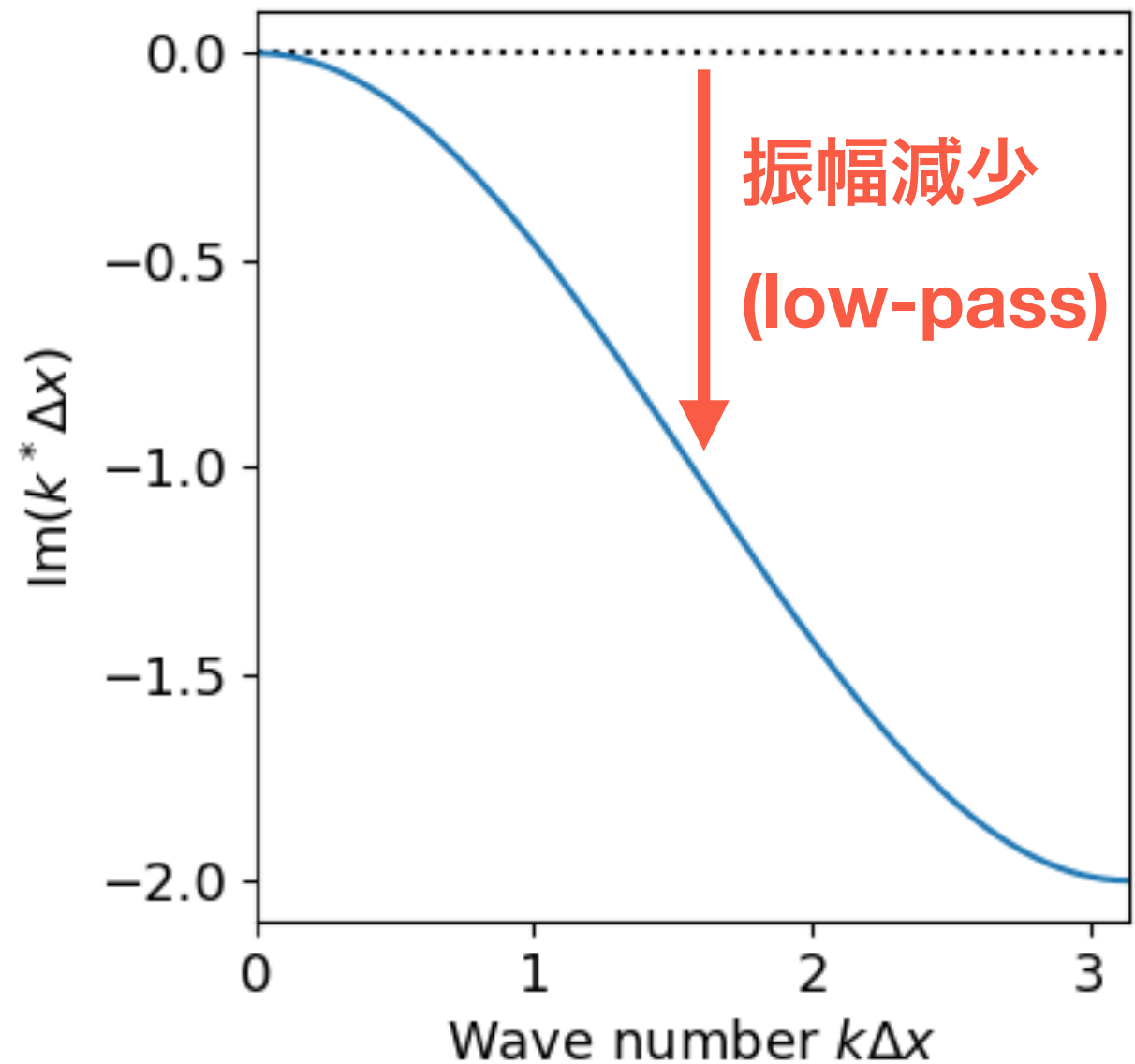
**虚数部**

振幅に影響

# 位相誤差と振幅誤差 | 1次精度風上差分



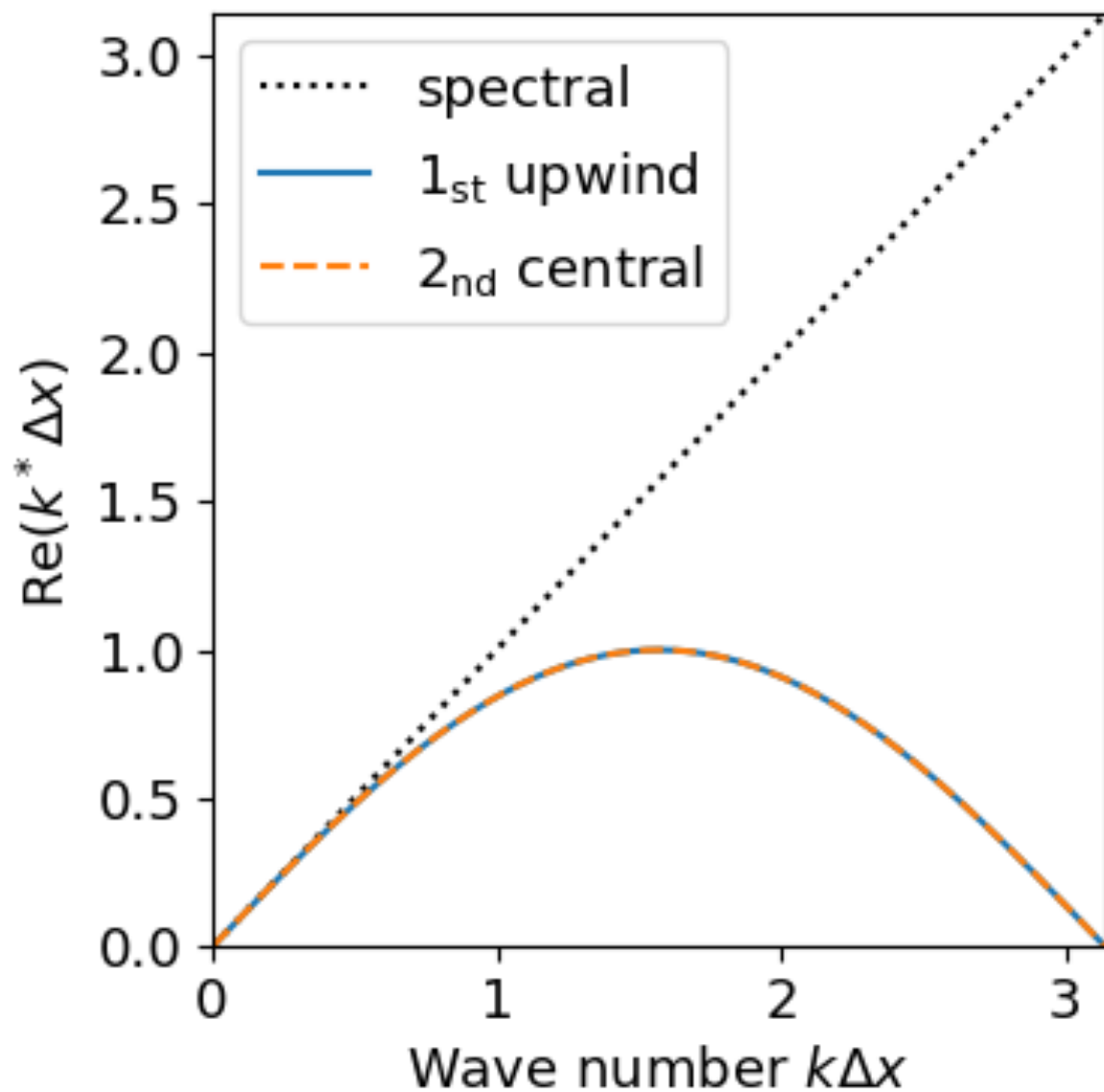
位相誤差



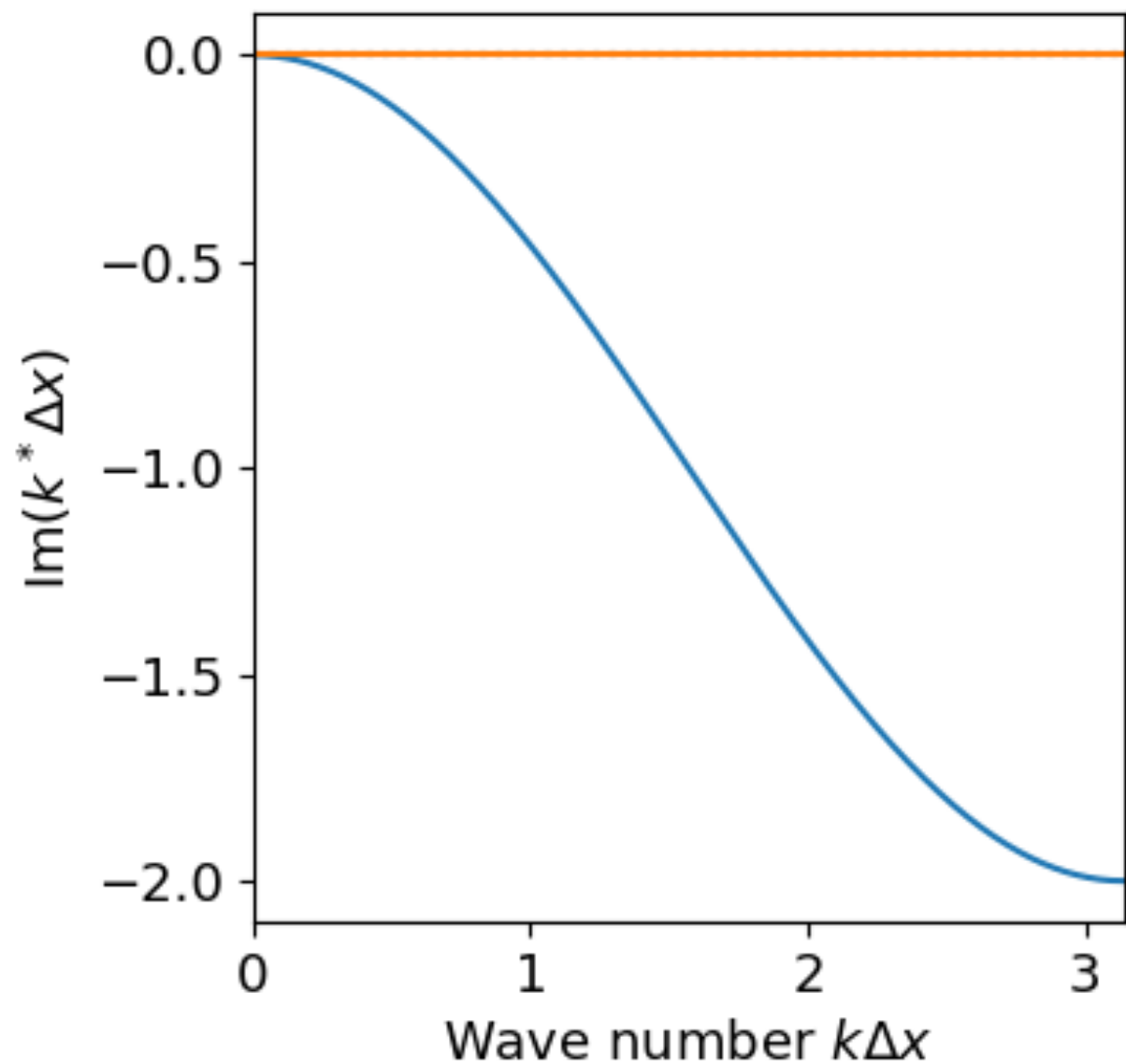
振幅誤差

実際にMHD計算に現れる誤差は両者が混合したものの

# 風上差分と中央差分の違い = 振幅誤差



1次精度風上差分の位相誤差  
= 2次精度中央差分の位相誤差



2次精度中央差分は  
振幅誤差を持たない

# 風上差分と中央差分の関係

$$\frac{\delta_1 U_j}{\delta_1 x} = \frac{U_j - U_{j-1}}{\Delta x} = \frac{U_{j+1} - U_{j-1}}{2\Delta x} - \frac{U_{j+1} - 2U_j + U_{j-1}}{2\Delta x} : \text{1次精度風上}$$

$$\frac{\delta_3 U_j}{\delta_3 x} = \frac{2U_{j+1} + 3U_j - 6U_{j-1} + U_{j-2}}{6\Delta x} : \text{3次} \quad \sim -\frac{\Delta x}{2} \frac{\partial^2 U}{\partial x^2}$$

$$= \frac{-U_{j+2} + 8U_{j+1} - 8U_{j-1} + U_{j-2}}{12\Delta x}$$

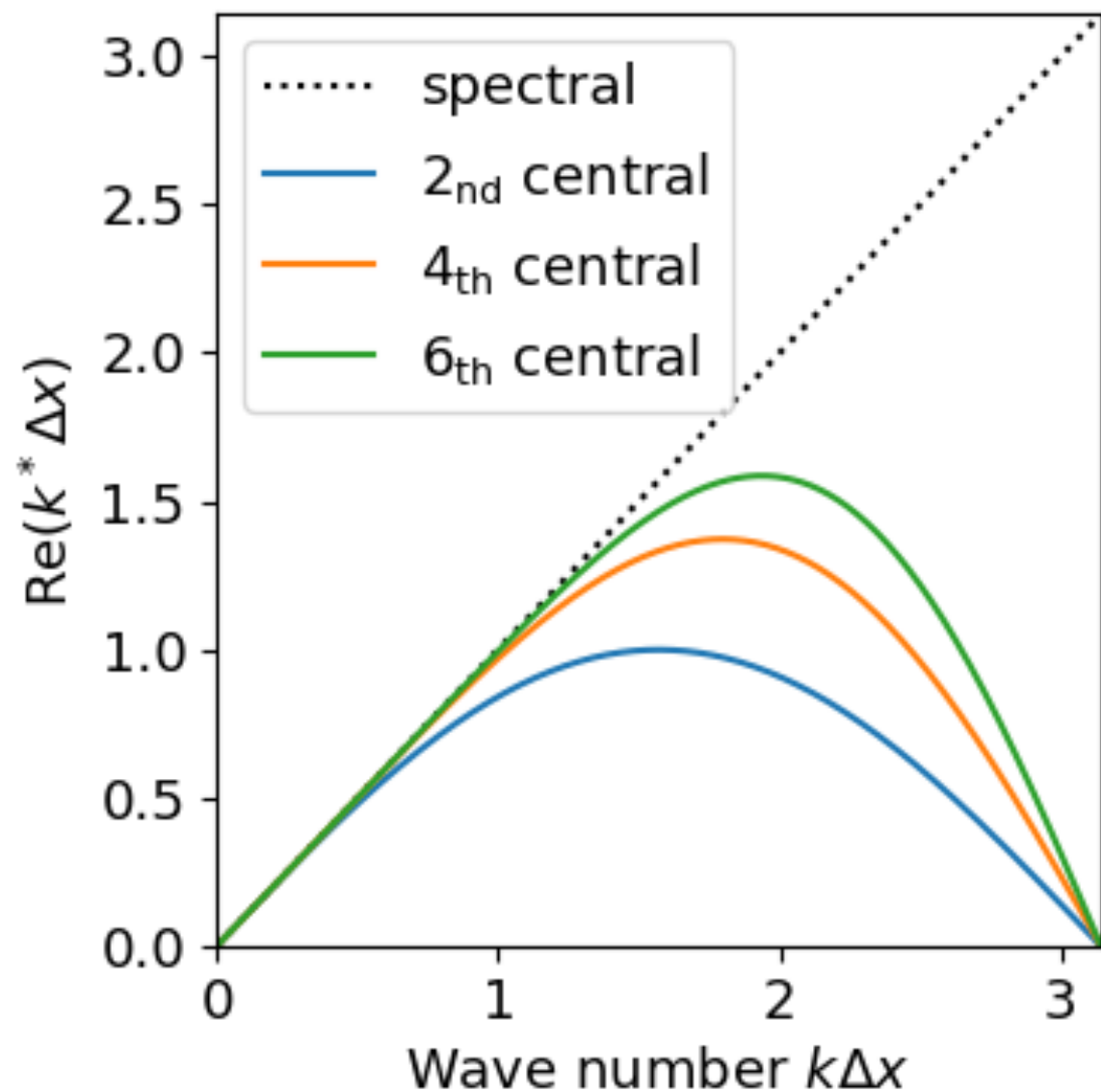
$$+ \frac{U_{j+2} - 4U_{j+1} + 6U_j - 4U_{j-1} + U_{j-2}}{12\Delta x} \sim \frac{\Delta x^3}{12} \frac{\partial^4 U}{\partial x^4}$$

$$\frac{\delta_5 U_j}{\delta_5 x} = \frac{-3U_{j+2} + 30U_{j+1} + 20U_j - 60U_{j-1} + 15U_{j-2} - 2U_{j-3}}{60\Delta x} : \text{5次}$$

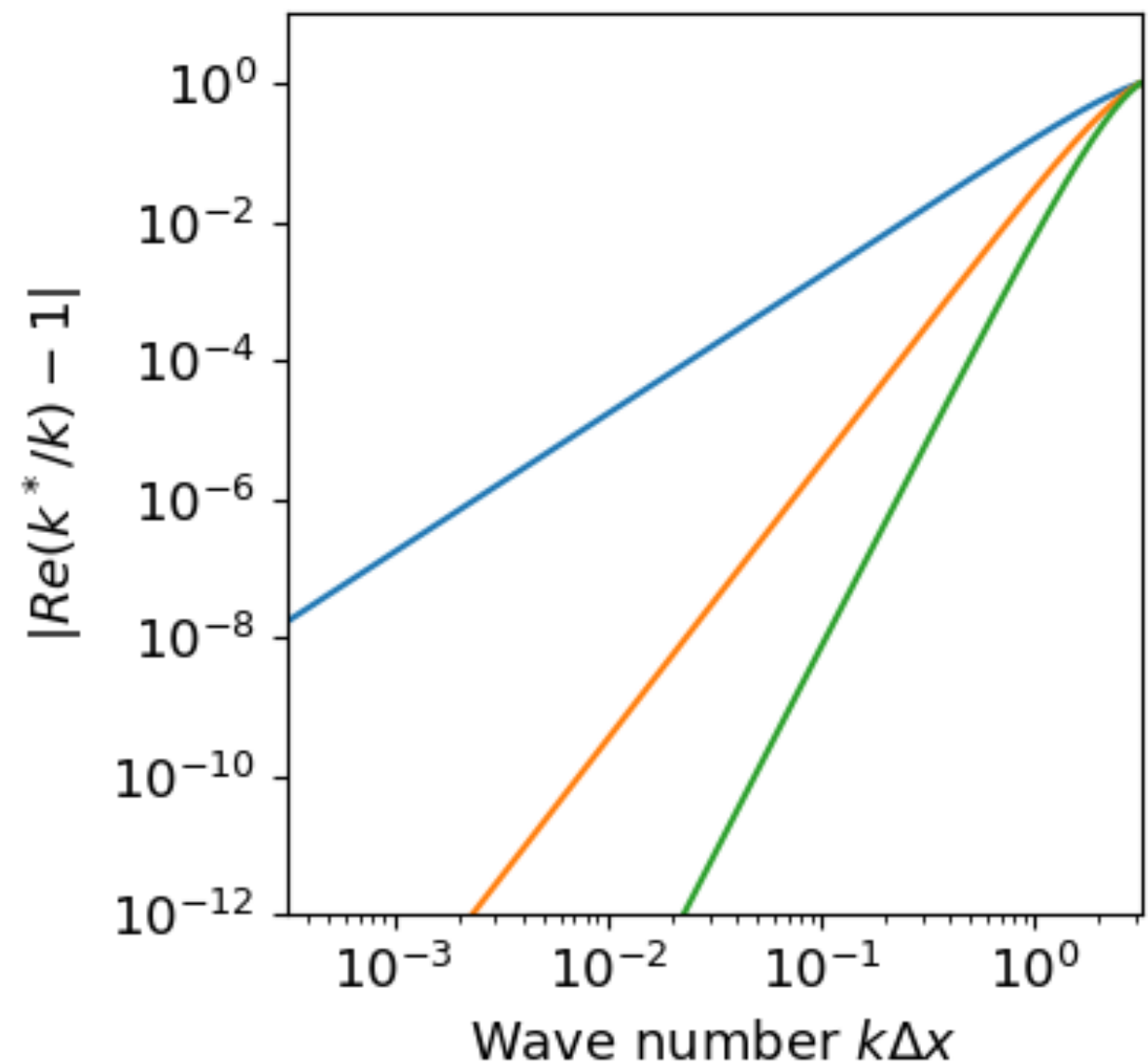
$$= \frac{U_{j+3} - 9U_{j+2} + 45U_{j+1} - 45U_{j-1} + 9U_{j-2} - U_{j-3}}{60\Delta x} \sim -\frac{\Delta x^5}{60} \frac{\partial^6 U}{\partial x^6}$$

$$- \frac{U_{j+3} - 6U_{j+2} + 15U_{j+1} - 20U_j + 15U_{j-1} - 6U_{j-2} + U_{j-3}}{60\Delta x}$$

# 中央差分の高次精度化と収束性 (実部)

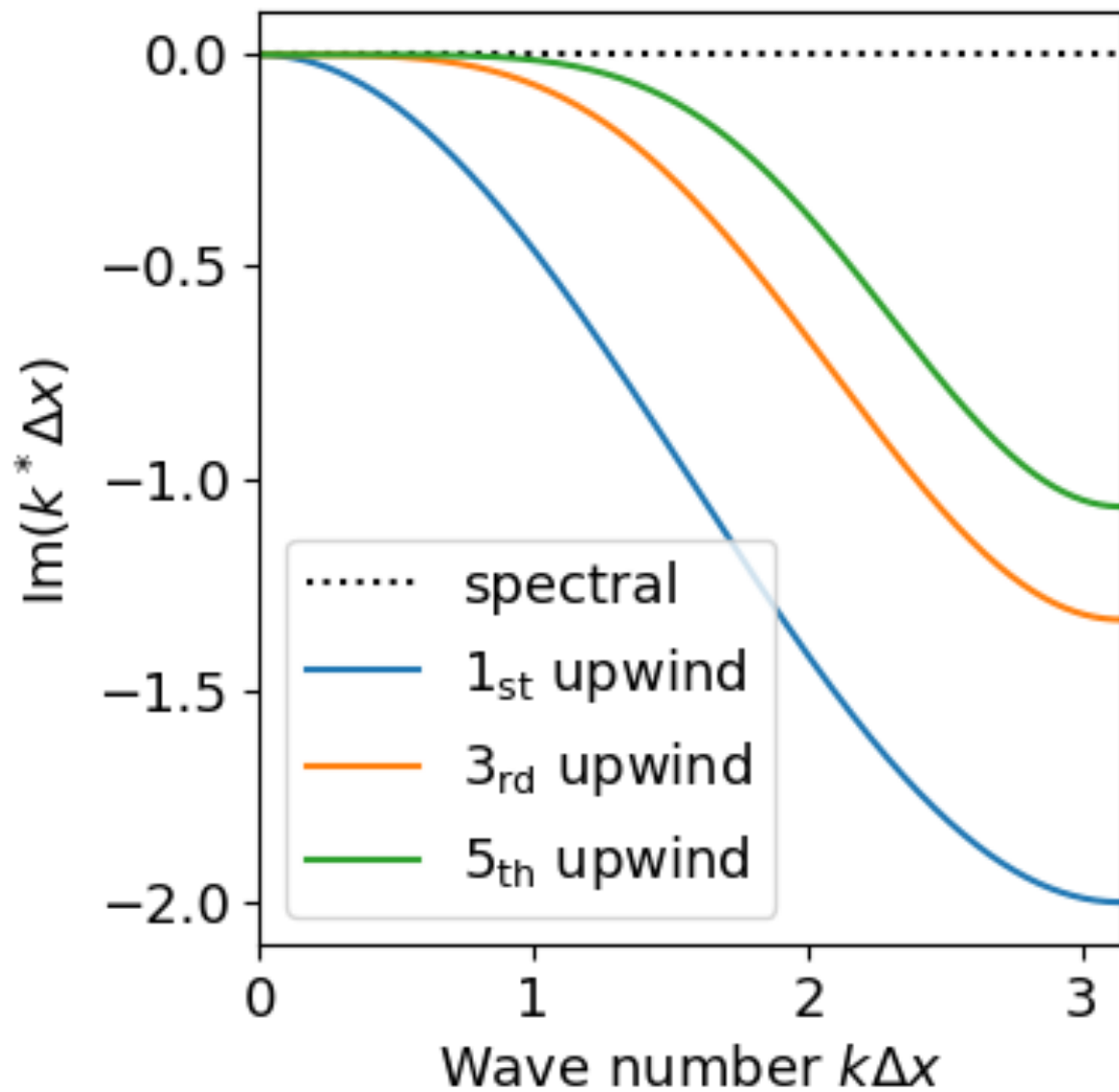


高次精度ほど  
短波長まで正確(な場合が多い)

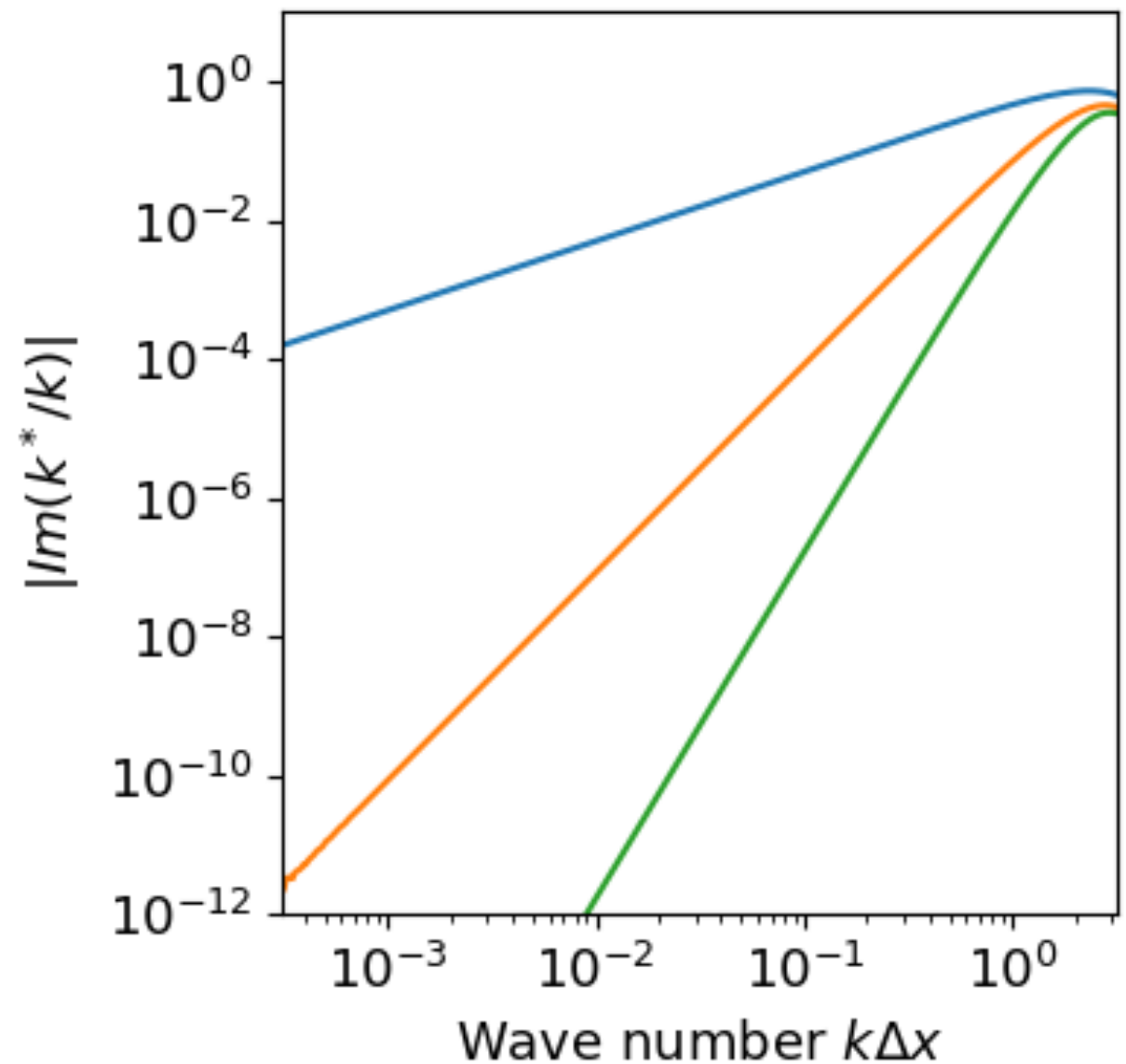


高次精度ほど  
長波長で高次収束

# 風上差分の高次精度化と収束性 (虚部)



高次精度ほど  
短波長までダンプしない



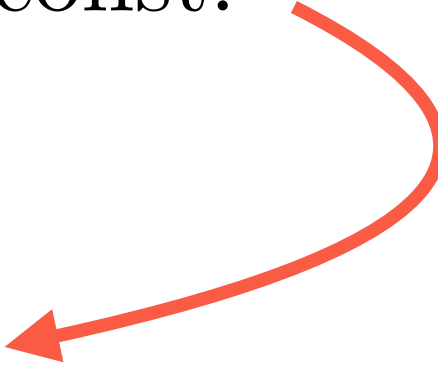
位相誤差の収束性より  
振幅誤差の収束性の方が悪い

# 線形移流方程式の1次精度風上解法

$$\frac{\partial U}{\partial t} + \frac{\partial F}{\partial x} = 0, \quad F = aU, \quad a = \text{const.}$$

$$\frac{\partial U_j}{\partial t} + \frac{F_{j+1/2} - F_{j-1/2}}{\Delta x} = 0$$

セル i 内で  
空間積分



$$F_{j+1/2} = \text{Riemann}(U_j, U_{j+1})$$

$$= \begin{cases} aU_j & \text{if } a > 0 \\ aU_{j+1} & \text{otherwise} \end{cases}$$

$$= \frac{a}{2} (U_{j+1} + U_j) - \frac{|a|}{2} (U_{j+1} - U_j)$$

# 高次精度線形補間

$$\frac{\partial U_j}{\partial t} + \frac{F_{j+1/2} - F_{j-1/2}}{\Delta x} = 0 \quad : \text{有限体積法}$$

$$\begin{aligned} F_{j+1/2} &= \text{Riemann}(U_L, U_R) \\ &= \frac{a}{2}(U_R + U_L) - \frac{|a|}{2}(U_R - U_L) \end{aligned}$$

$$U_{j+1/2}^L = \begin{cases} U_j & \text{1次精度} \\ (-U_{j-1} + 4U_j + U_{j+1}) / 4 & \text{2次精度} \\ (-U_{j-1} + 5U_j + 2U_{j+1}) / 6 & \text{3次精度} \\ (2U_{j-2} - 13U_{j-1} + 47U_j + 27U_{j+1} - 3U_{j+2}) / 60 & \text{5次精度} \\ \dots & \dots \end{cases}$$

$U_{j-1/2}^R$ は $U_{j+1/2}^L$ で...,  $j-2, j-1, j, j+1, j+2, \dots$ を逆順にしたもの。

# 高次精度線形補間の導出

セル平均値 (既知量)

$$U_j = \frac{1}{\Delta x} \int_{I_j} U_j(x - x_j) dx, \quad I_j = [x_{j-1/2}, x_{j+1/2}]$$

$$U_{j\pm 1} = \frac{1}{\Delta x} \int_{I_{j\pm 1}} U_j(x - x_j) dx, \dots$$

テイラー展開に基づくセルj内の空間分布

$$U_j(x - x_j) = U(x_j) + U_x(x_j)(x - x_j) + U_{xx}(x_j)(x - x_j)^2 / 2 + \dots \text{ 必要な精度で打ち切り}$$

テイラー展開の  
微分係数を計算

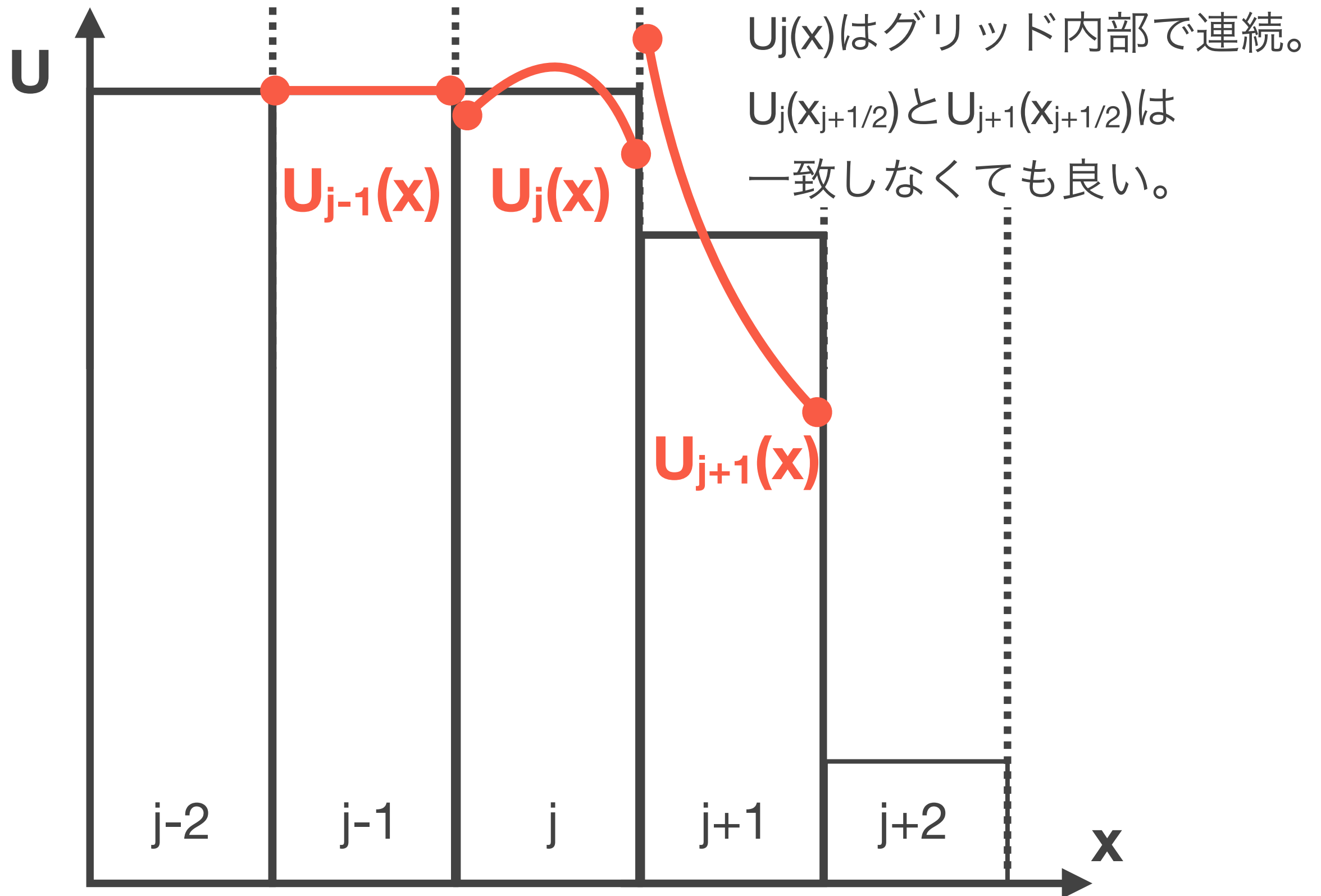


セル境界における風上補間値

$$U_{j+1/2}^L = U(x_j) + U_x(x_j) \frac{\Delta x_j}{2} + U_{xx}(x_j) \frac{\Delta x_j^2}{8} + \dots$$

$$U_{j-1/2}^R = U(x_j) - U_x(x_j) \frac{\Delta x_j}{2} + U_{xx}(x_j) \frac{\Delta x_j^2}{8} + \dots$$

# 高次精度線形補間の導出



# 高次精度線形補間の導出

セル平均値 (既知量)

$$U_j = \frac{1}{\Delta x} \int_{I_j} U_j(x - x_j) dx, \quad I_j = [x_{j-1/2}, x_{j+1/2}]$$

$$U_{j\pm 1} = \frac{1}{\Delta x} \int_{I_{j\pm 1}} U_j(x - x_j) dx, \dots$$

テイラー展開に基づくセルj内の空間分布

$$U_j(x - x_j) = U(x_j) + U_x(x_j)(x - x_j) + U_{xx}(x_j)(x - x_j)^2 / 2 + \dots \text{ 必要な精度で打ち切り}$$

テイラー展開の  
微分係数を計算

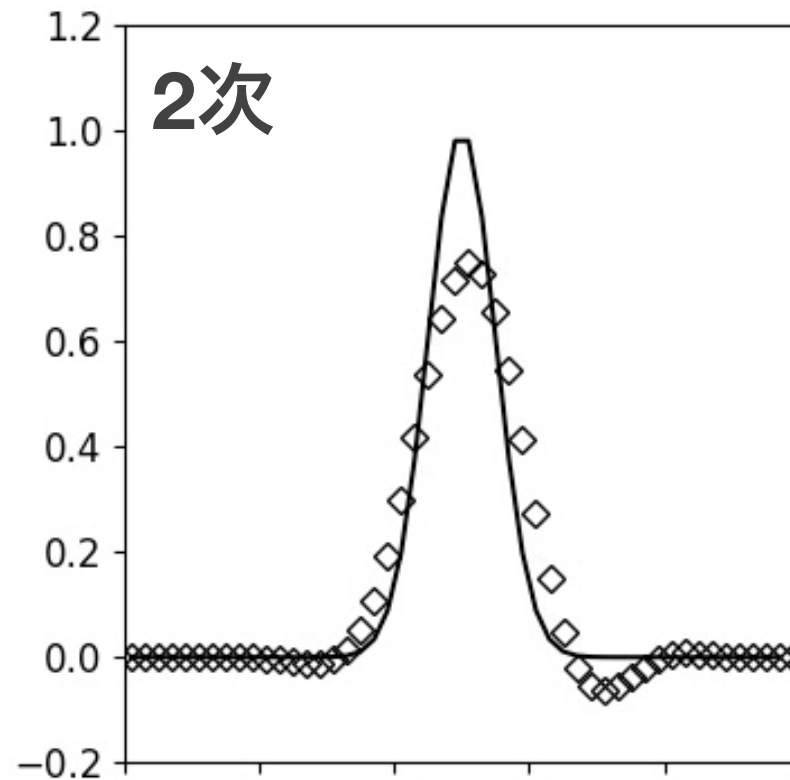
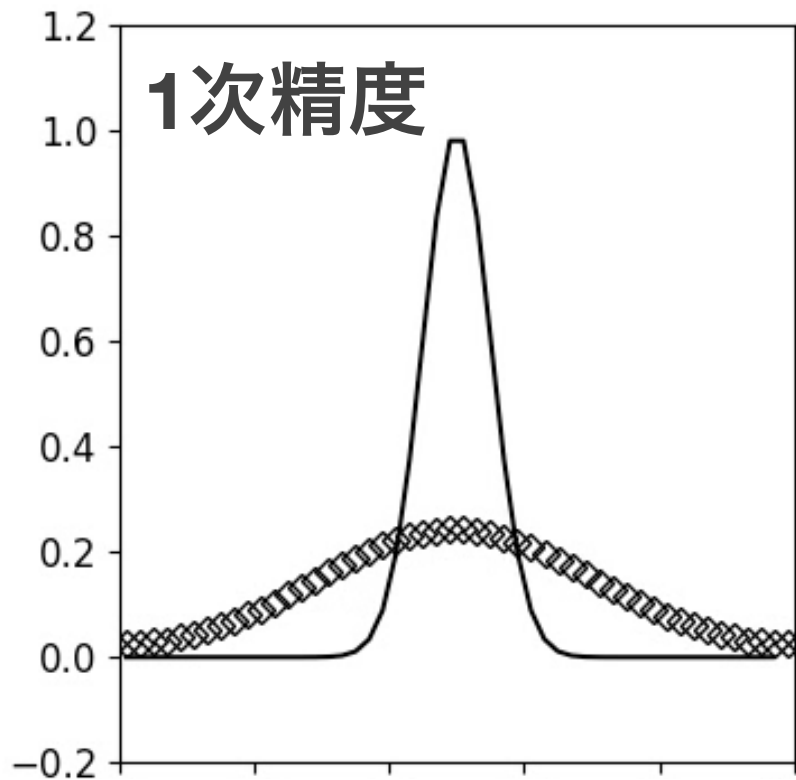


セル境界における風上補間値

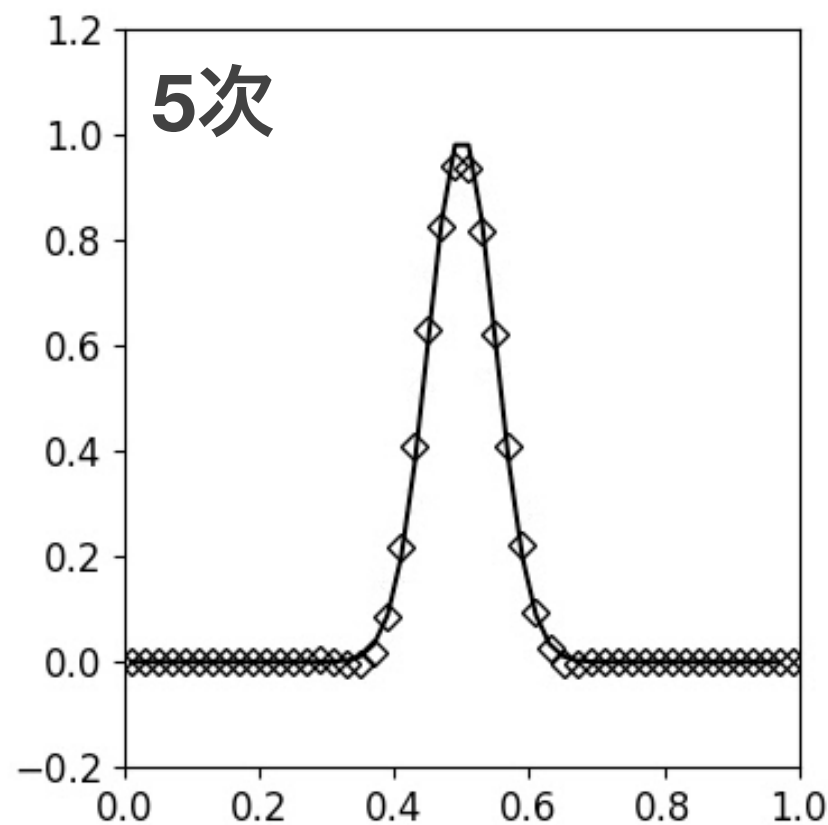
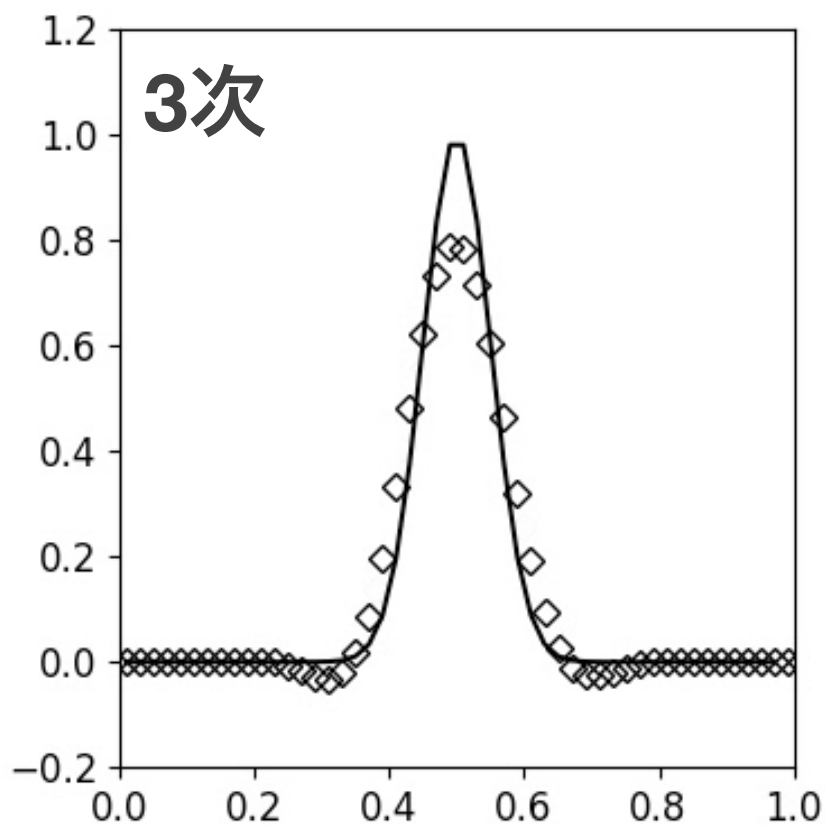
$$U_{j+1/2}^L = U(x_j) + U_x(x_j) \frac{\Delta x_j}{2} + U_{xx}(x_j) \frac{\Delta x_j^2}{8} + \dots$$

$$U_{j-1/2}^R = U(x_j) - U_x(x_j) \frac{\Delta x_j}{2} + U_{xx}(x_j) \frac{\Delta x_j^2}{8} + \dots$$

# 高次精度線形補間の比較 | ガウシアン

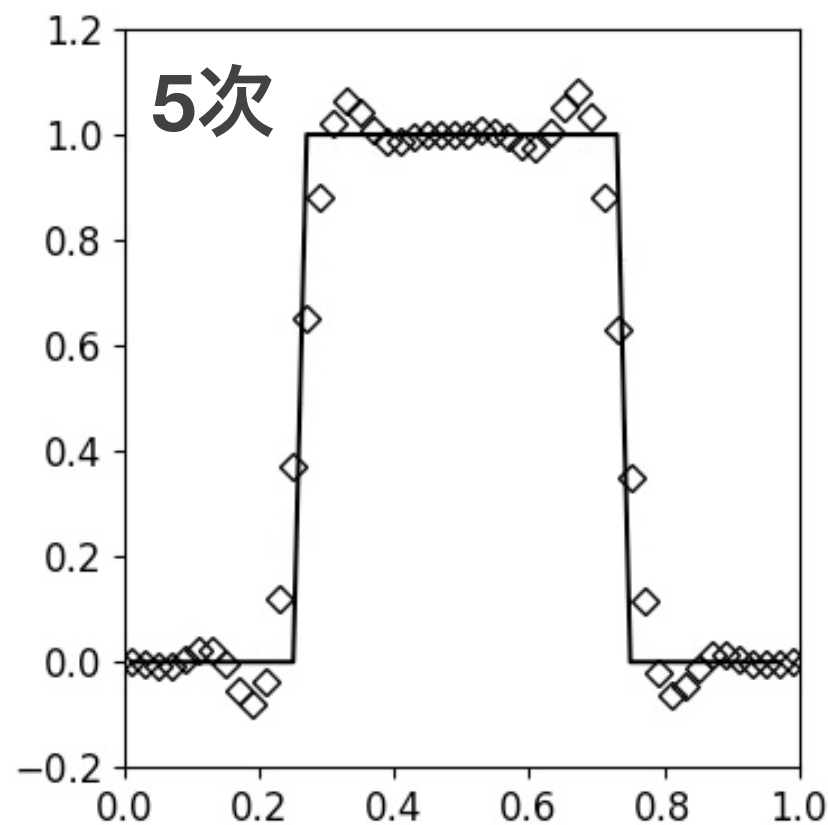
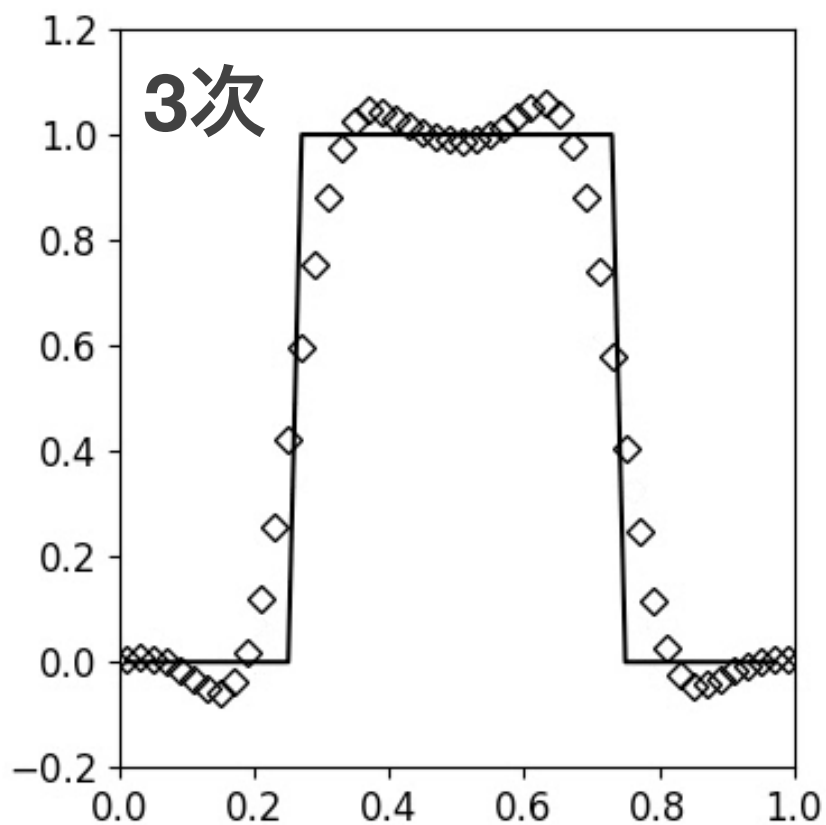
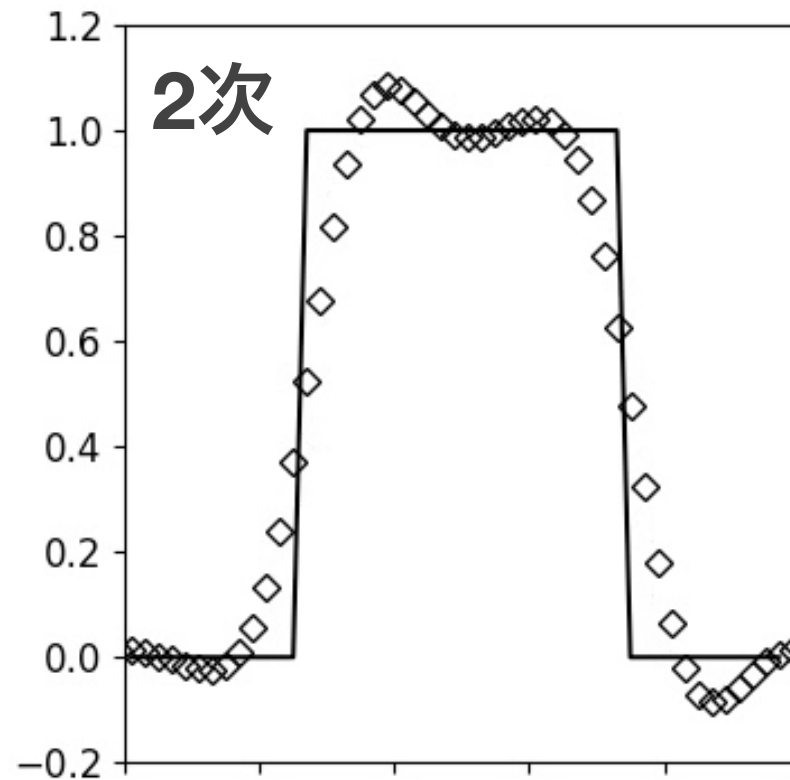
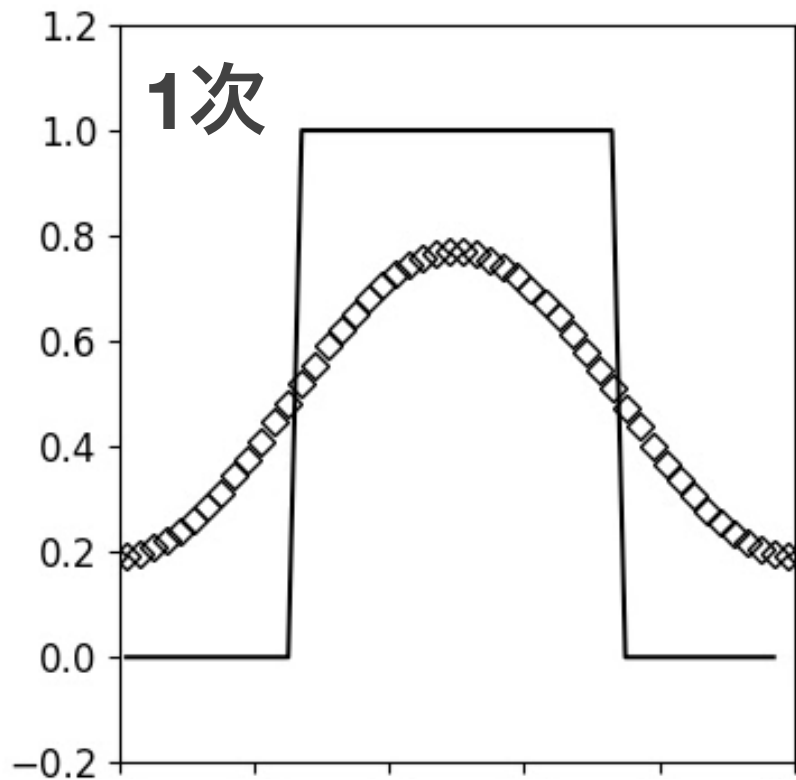


実線: 解析解



高次精度になるほど  
きれいに解析解に  
近づいていく。

# 高次精度線形補間の比較 | 矩形波



実線: 解析解

不連続面付近で  
数値振動。

Godunovの定理:

2次精度以上の  
線形スキームは、  
解の単調性を維持  
することが出来ない。

**非線形スキーム**が必要。

# 非線形スキームの例

- 不連続を含むような解をうまく取り回せるスキーム
  - 高次精度 @ なめらかな領域、低次精度 @ 不連続
- Monotonic Upwind Scheme for Conservation Laws (**MUSCL**; van Leer, 1979)
- Weighted Essentially Oscillatory scheme (**WENO**; Liu et al., 1994; Jiang & Shu, 1996)
- Accurate Monotonicity Preserving scheme (**MP**; Suresh & Huynh, 1997)
- その他多数

# 単調性とTVD

## TVDスキーム:

スキームが以下の条件を満たす時、TVDスキームと呼ぶ。

$$TV(u_j^{n+1}) \leq TV(u_j^n), \quad TV(u_j) = \sum_j |u_{j+1} - u_j|$$

## 単調性保持スキーム:

nステップ目の解  $u_j^n$  が単調な時、

次のn+1ステップ目の解  $u_j^{n+1}$  も単調になるスキーム。

## Harten (1983):

TVDスキームは、  
単調性保持スキームである。

単調性保持  
スキーム

TVDスキーム

# MUSCL法

## セル j 内の物理量の空間分布

$$U_j(x) = U_j + \frac{U_{j+1} - U_{j-1}}{2\Delta x} (x - x_j) + \frac{3\kappa}{2} \frac{U_{j+1} - 2U_j + U_{j-1}}{\Delta x^2} \left[ (x - x_j)^2 - \frac{\Delta x^2}{12} \right]$$

## セル境界の補間値 (リミターなし)

$$U_{i+1/2}^L = U_j(x_{j+1/2}) = U_j + \frac{1 - \kappa}{4} (U_j - U_{j-1}) + \frac{1 + \kappa}{4} (U_{j+1} - U_j)$$

$$U_{j-1/2}^R = U_j(x_{j-1/2}) = U_j - \frac{1 - \kappa}{4} (U_{j+1} - U_j) - \frac{1 + \kappa}{4} (U_j - U_{j-1})$$

## セル境界の補間値 (TVD条件のため流速制限関数 $\Phi$ を導入)

$$U_{i+1/2}^L = U_j + \frac{1 - \kappa}{4} \Phi(r) (U_j - U_{j-1}) + \frac{1 + \kappa}{4} \Phi(1/r) (U_{j+1} - U_j)$$

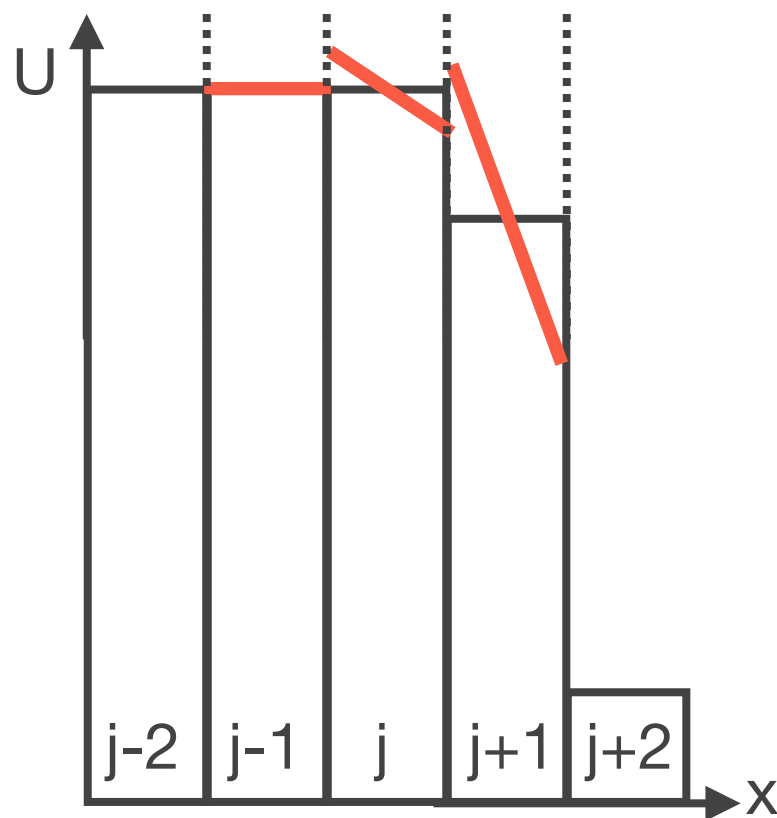
$$U_{j-1/2}^R = U_j - \frac{1 - \kappa}{4} \Phi(1/r) (U_{j+1} - U_j) - \frac{1 + \kappa}{4} \Phi(r) (U_j - U_{j-1})$$

# MUSCL法

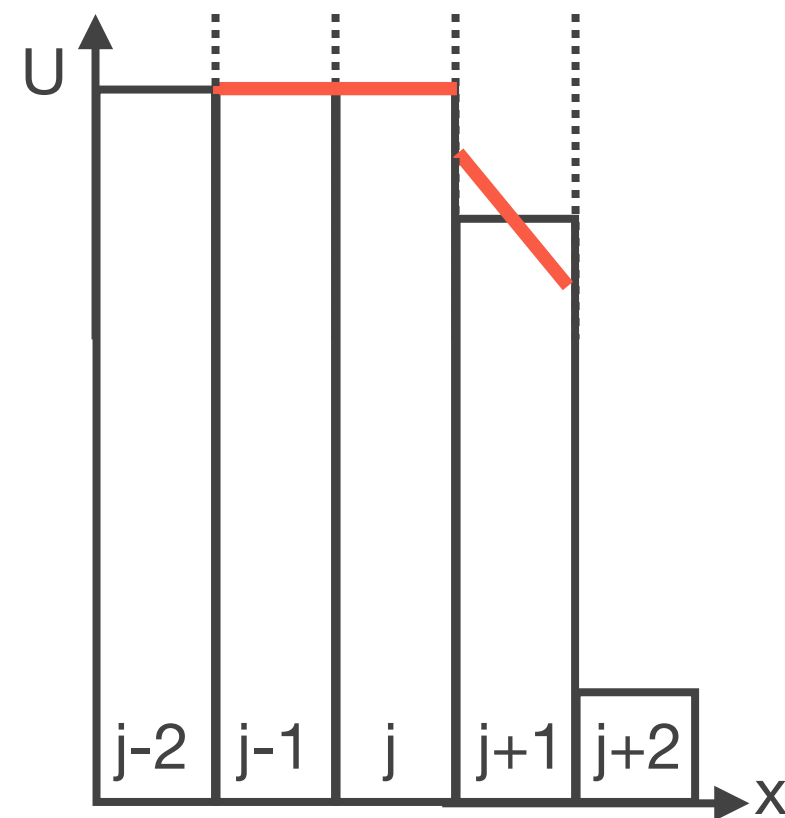
セル境界の補間値 (リミター $\Phi$ が対称な場合;  $\Phi(r) = r\Phi(1/r)$ )

$$U_{i+1/2}^L = U_j + \frac{1}{2}\Delta_j, \quad U_{j-1/2}^R = U_j - \frac{1}{2}\Delta_j$$

$$\begin{aligned}\Delta_j &= \text{Limiter}(U_{j+1} - U_j, U_j - U_{j-1}) \\ &= \Phi(1/r)(U_{j+1} - U_j) = \Phi(r)(U_j - U_{j-1})\end{aligned}$$



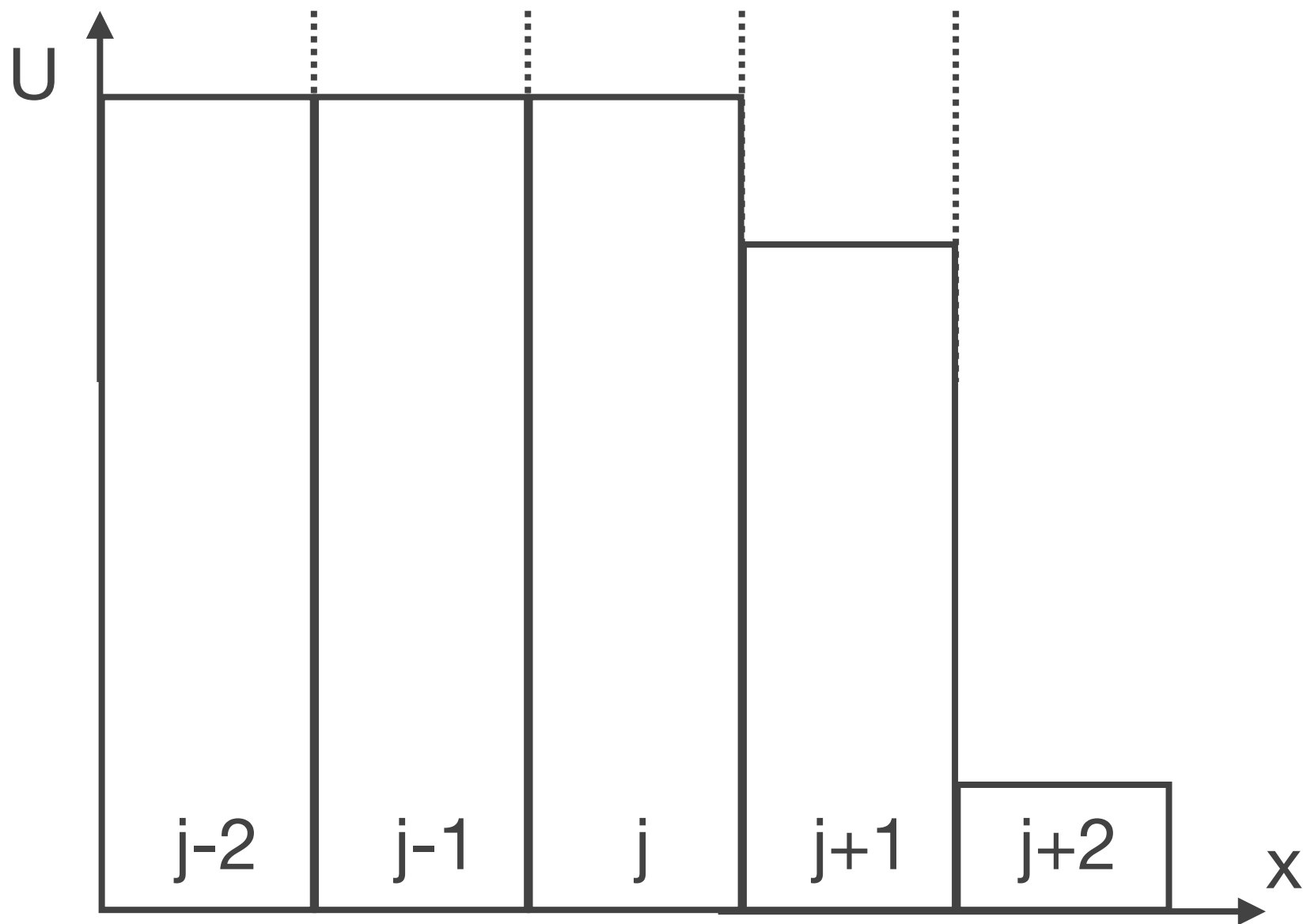
リミター無し (線形補間)



リミター有り (minmod)

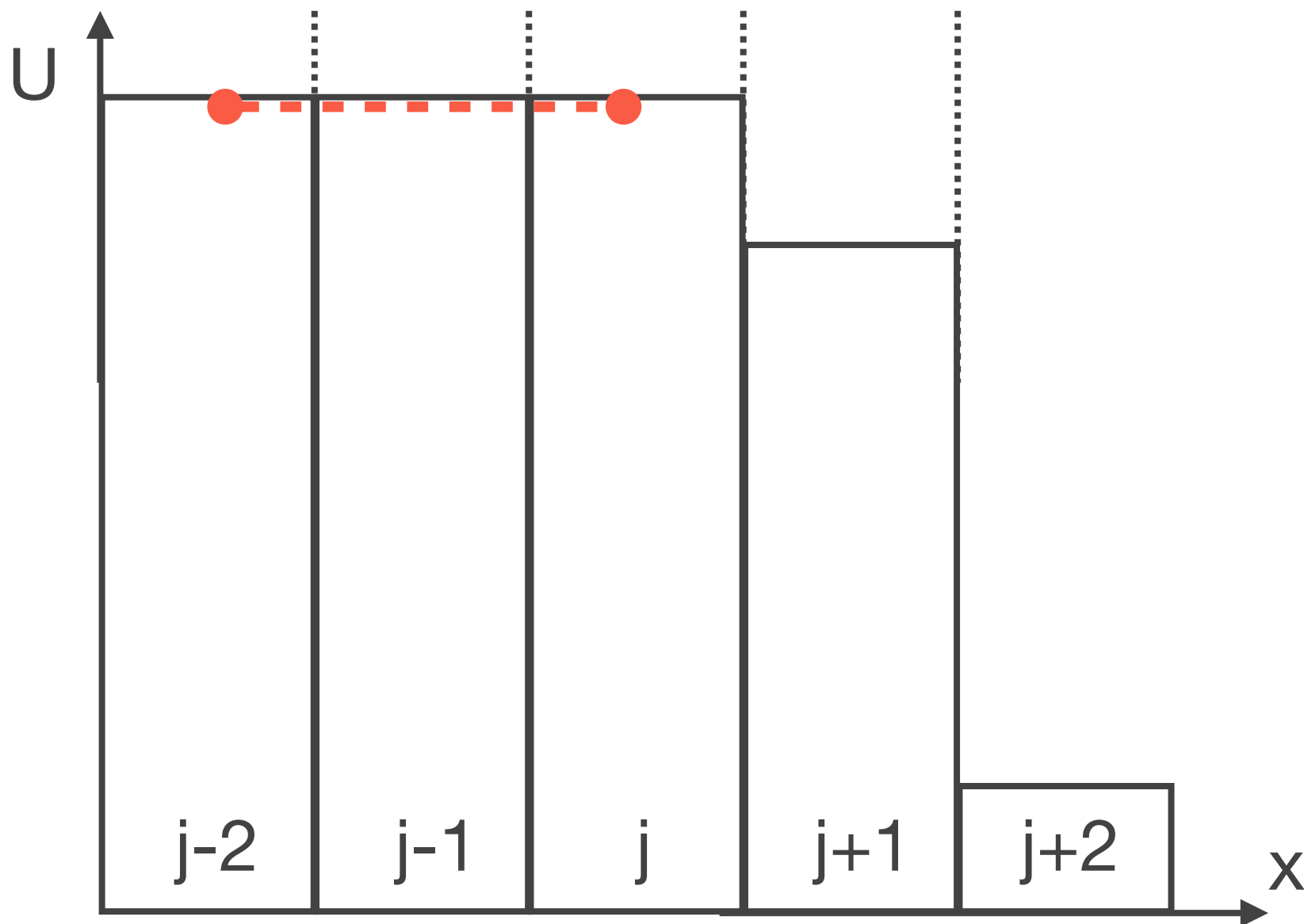
# MUSCL法 | セル内の物理量分布 (リミター無し)

$$U_j(x) = U_j + \Delta_j (x - x_j), \quad \Delta_j = \frac{U_{j+1} - U_{j-1}}{2\Delta x}$$



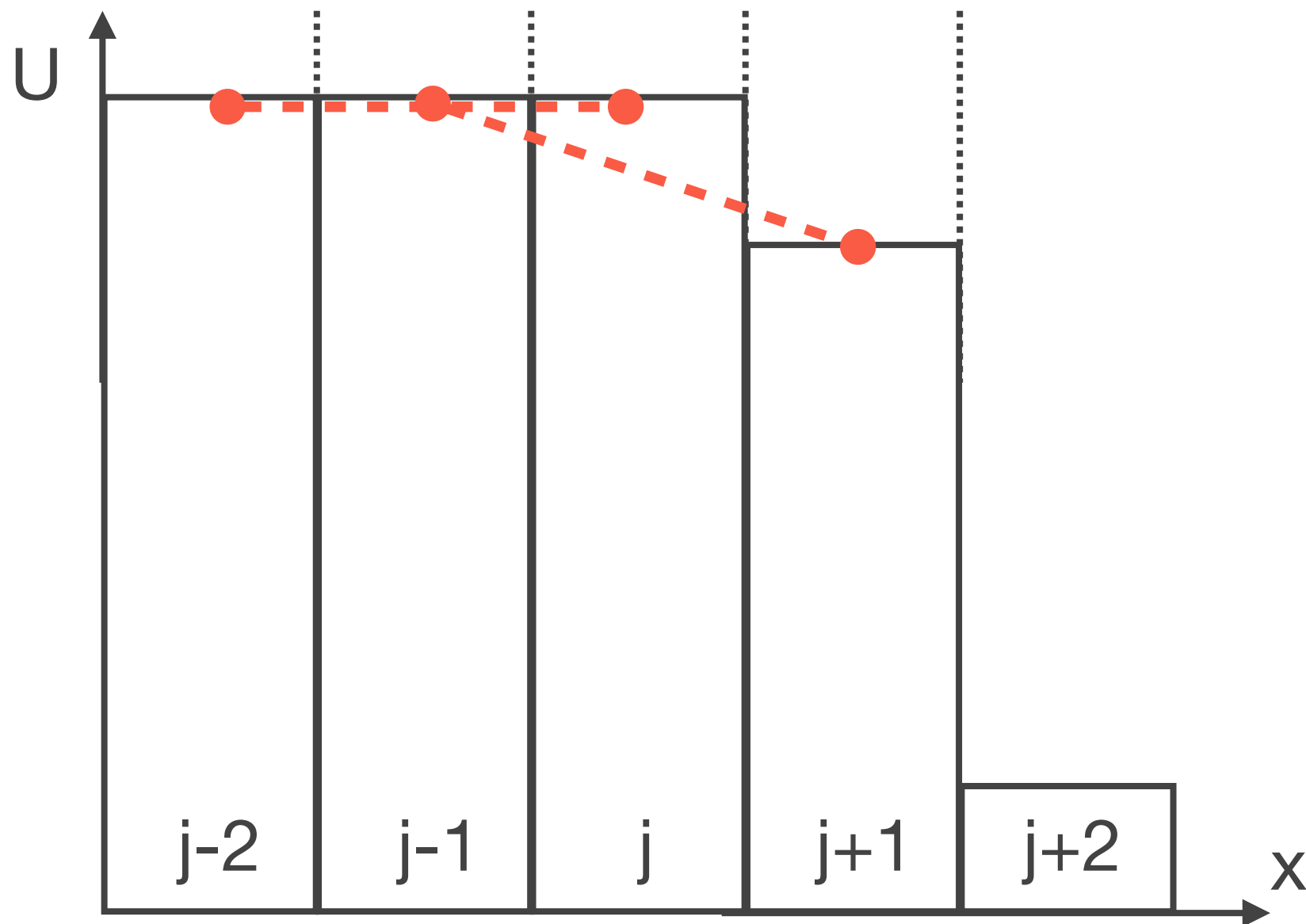
# MUSCL法 | セル内の物理量分布 (リミター無し)

$$U_j(x) = U_j + \Delta_j (x - x_j), \quad \Delta_j = \frac{U_{j+1} - U_{j-1}}{2\Delta x}$$



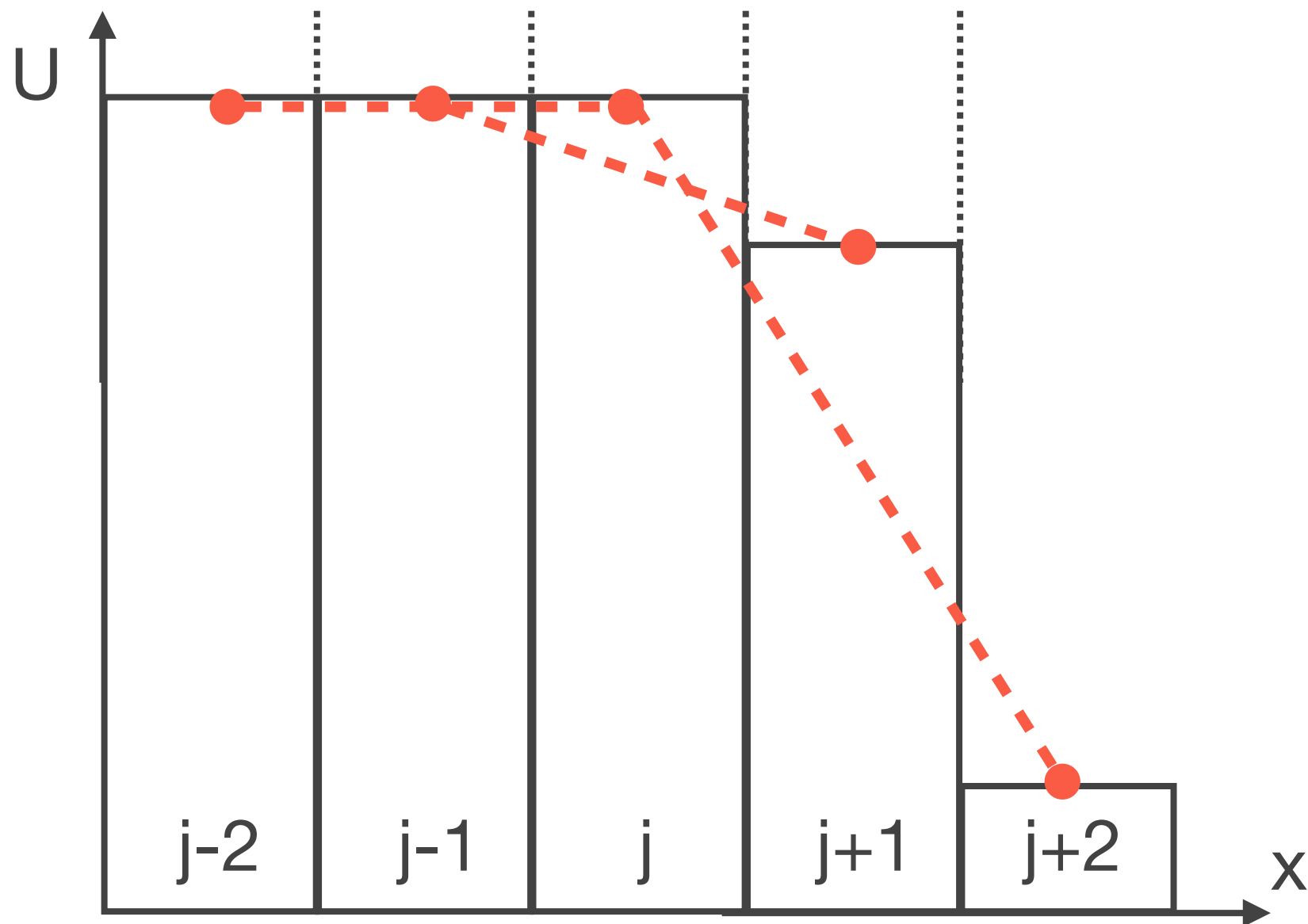
# MUSCL法 | セル内の物理量分布 (リミター無し)

$$U_j(x) = U_j + \Delta_j (x - x_j), \quad \Delta_j = \frac{U_{j+1} - U_{j-1}}{2\Delta x}$$



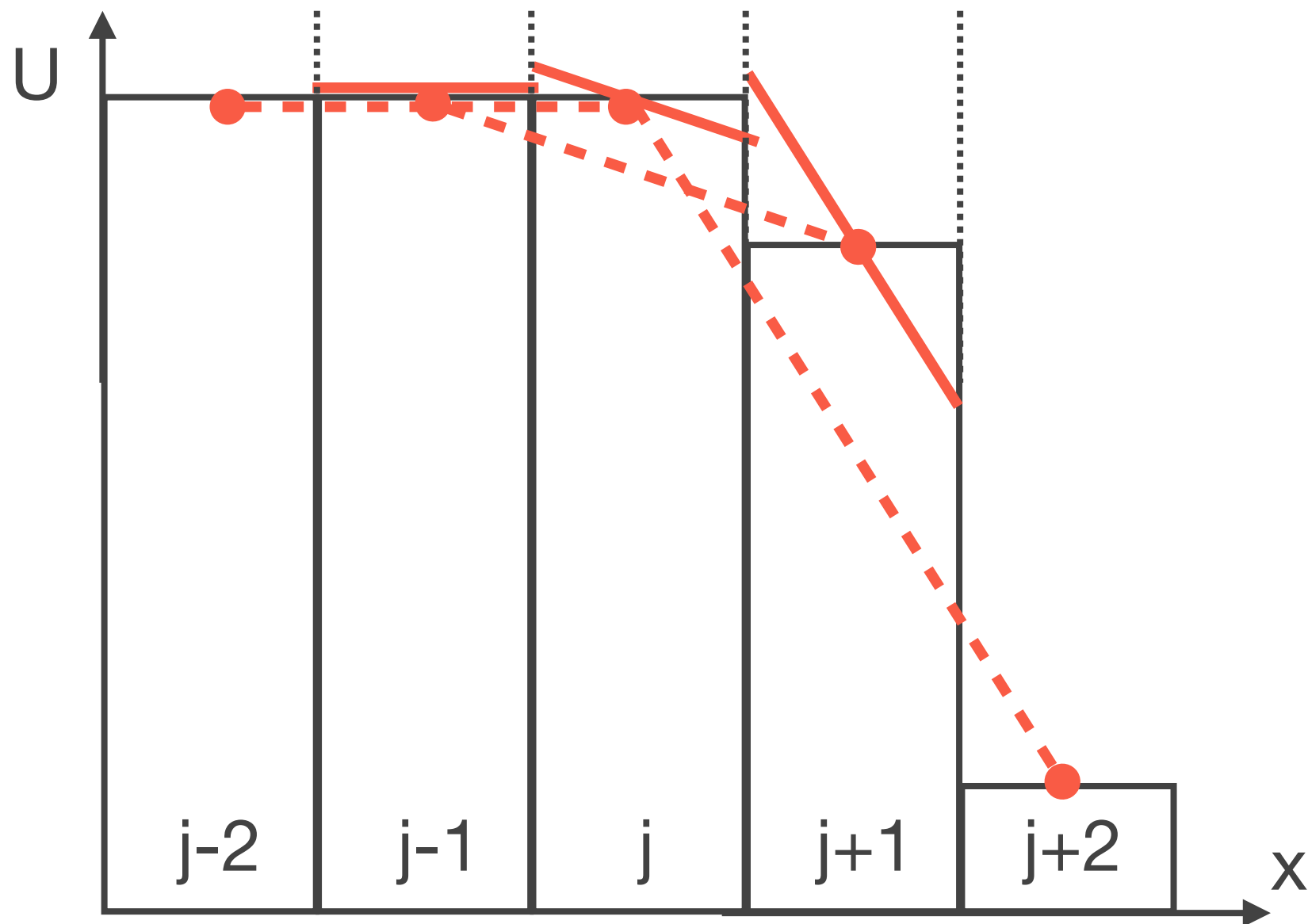
# MUSCL法 | セル内の物理量分布 (リミター無し)

$$U_j(x) = U_j + \Delta_j (x - x_j), \quad \Delta_j = \frac{U_{j+1} - U_{j-1}}{2\Delta x}$$



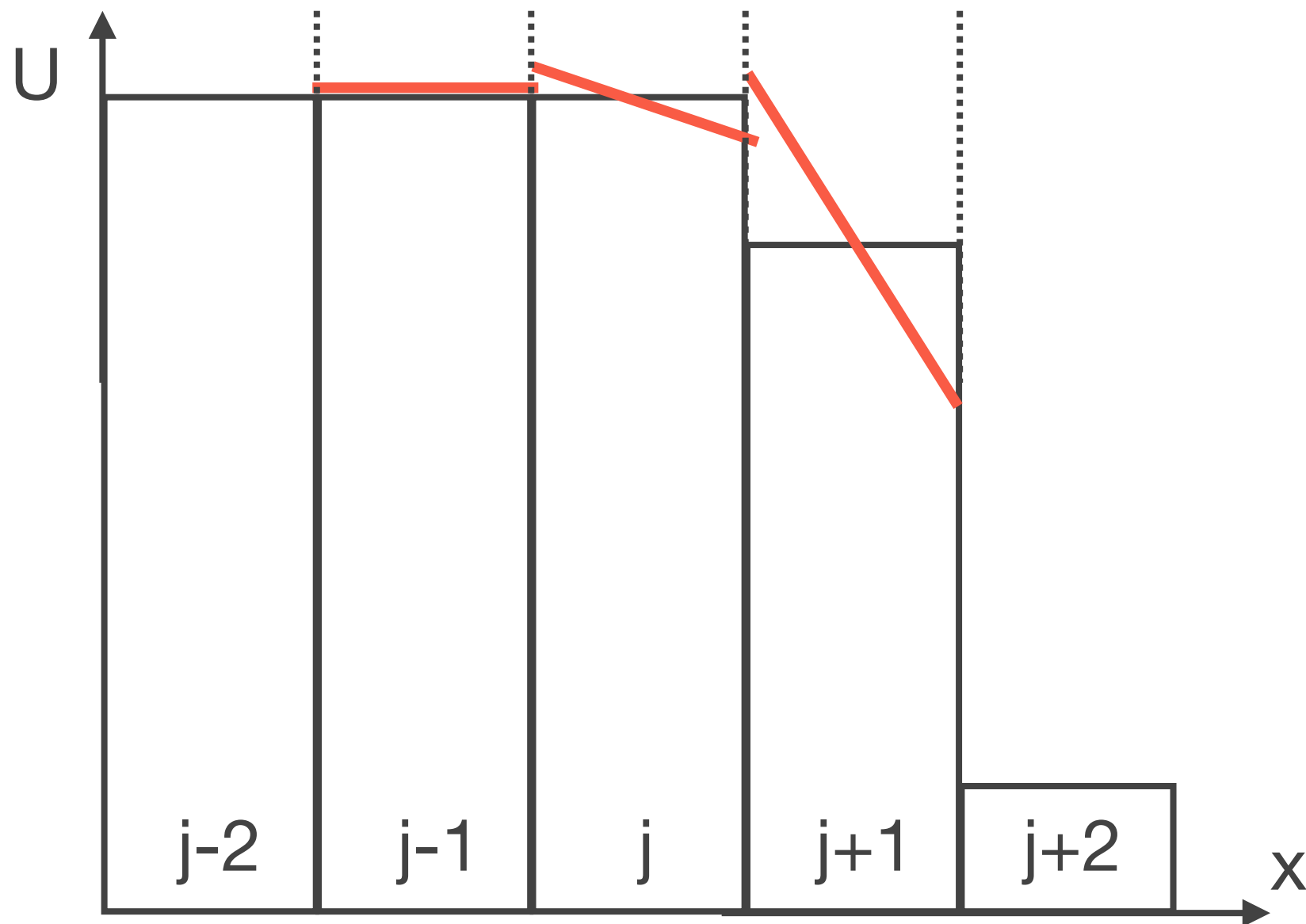
# MUSCL法 | セル内の物理量分布 (リミター無し)

$$U_j(x) = U_j + \Delta_j (x - x_j), \quad \Delta_j = \frac{U_{j+1} - U_{j-1}}{2\Delta x}$$



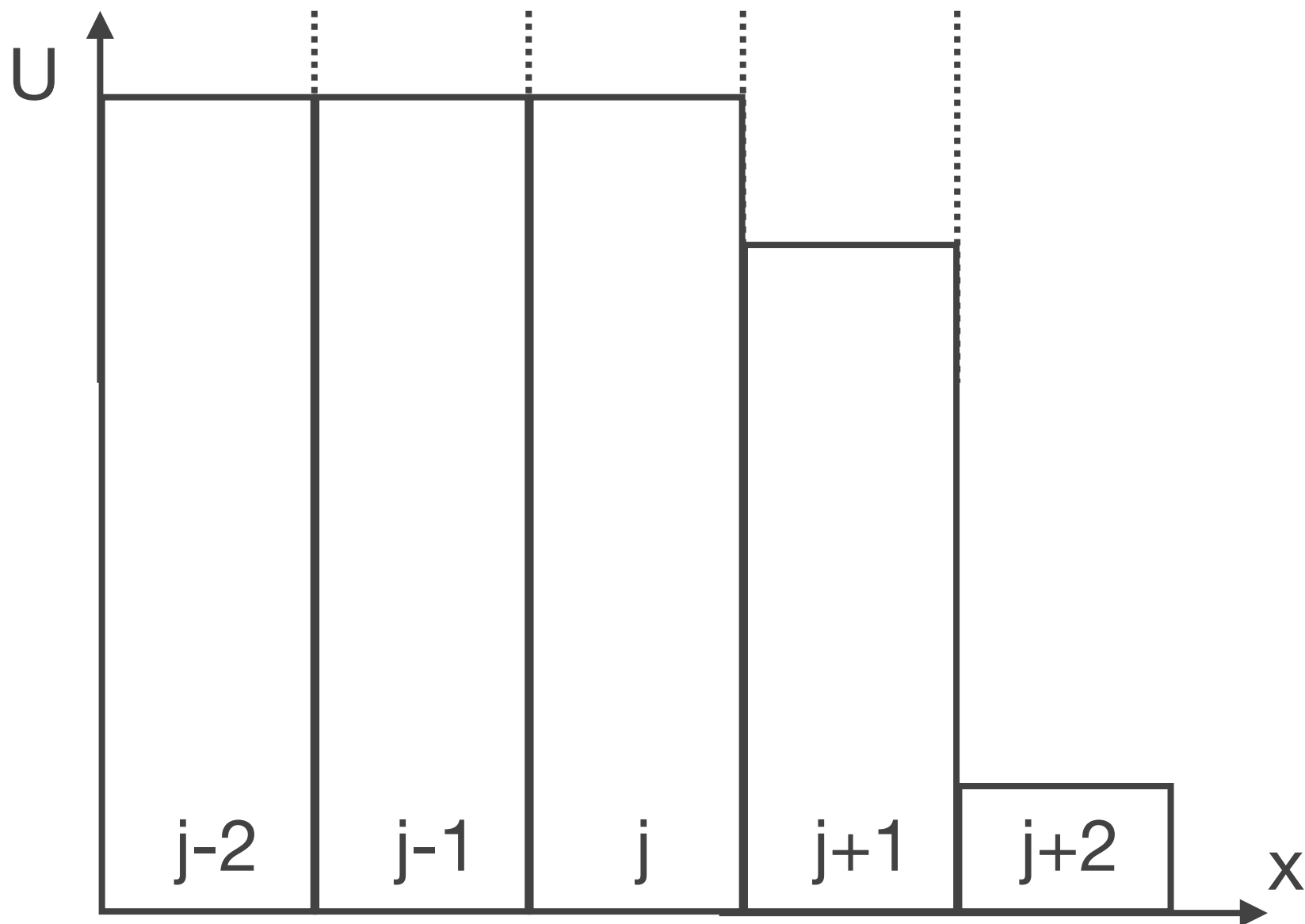
# MUSCL法 | セル内の物理量分布 (リミター無し)

$$U_j(x) = U_j + \Delta_j (x - x_j), \quad \Delta_j = \frac{U_{j+1} - U_{j-1}}{2\Delta x}$$



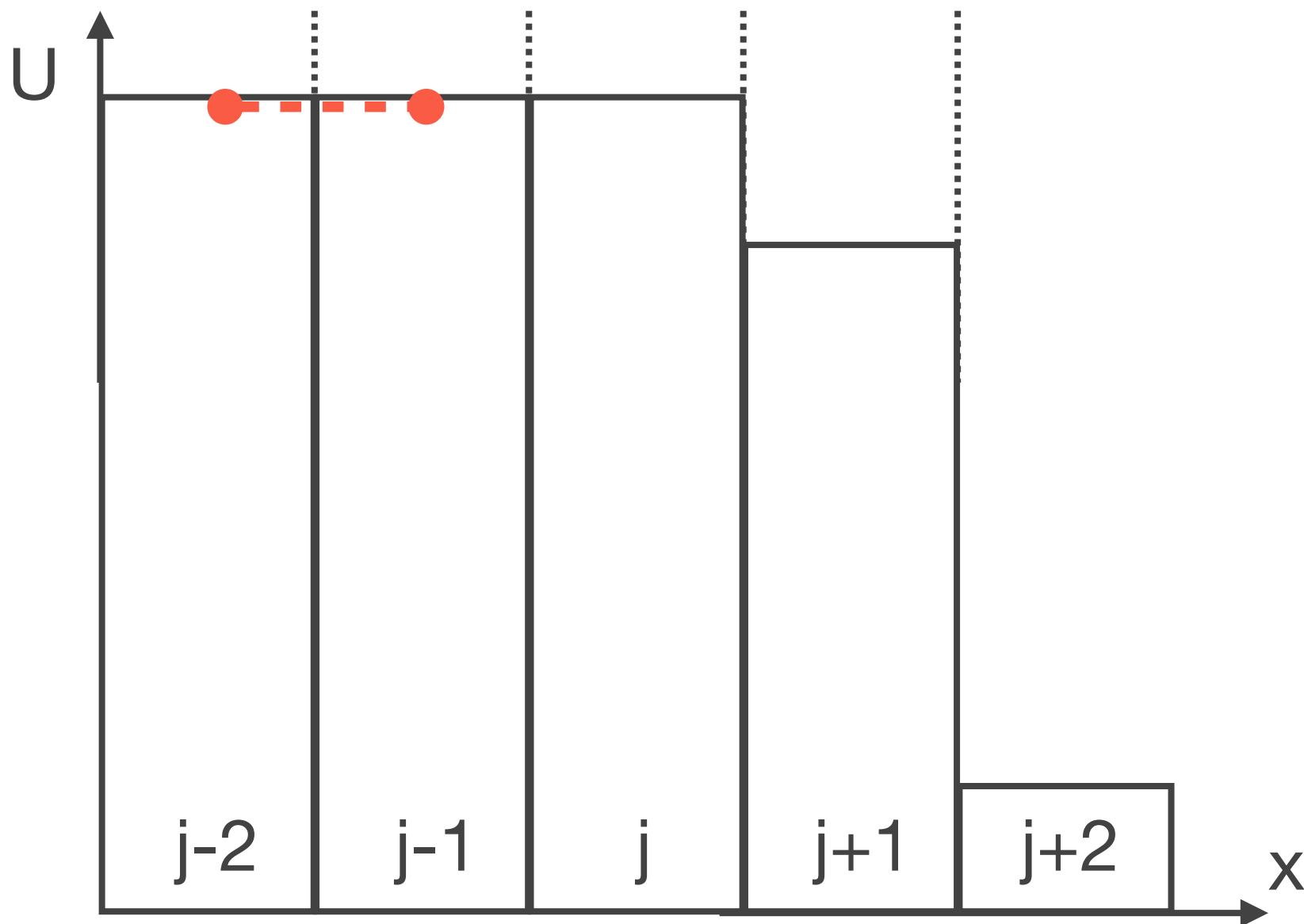
# MUSCL法 | セル内の物理量分布 (minmodリミター)

$$U_j(x) = U_j + \Delta_j (x - x_j), \quad \Delta_j = \text{minmod} \left( \frac{U_{j+1} - U_j}{\Delta x}, \frac{U_j - U_{j-1}}{\Delta x} \right)$$



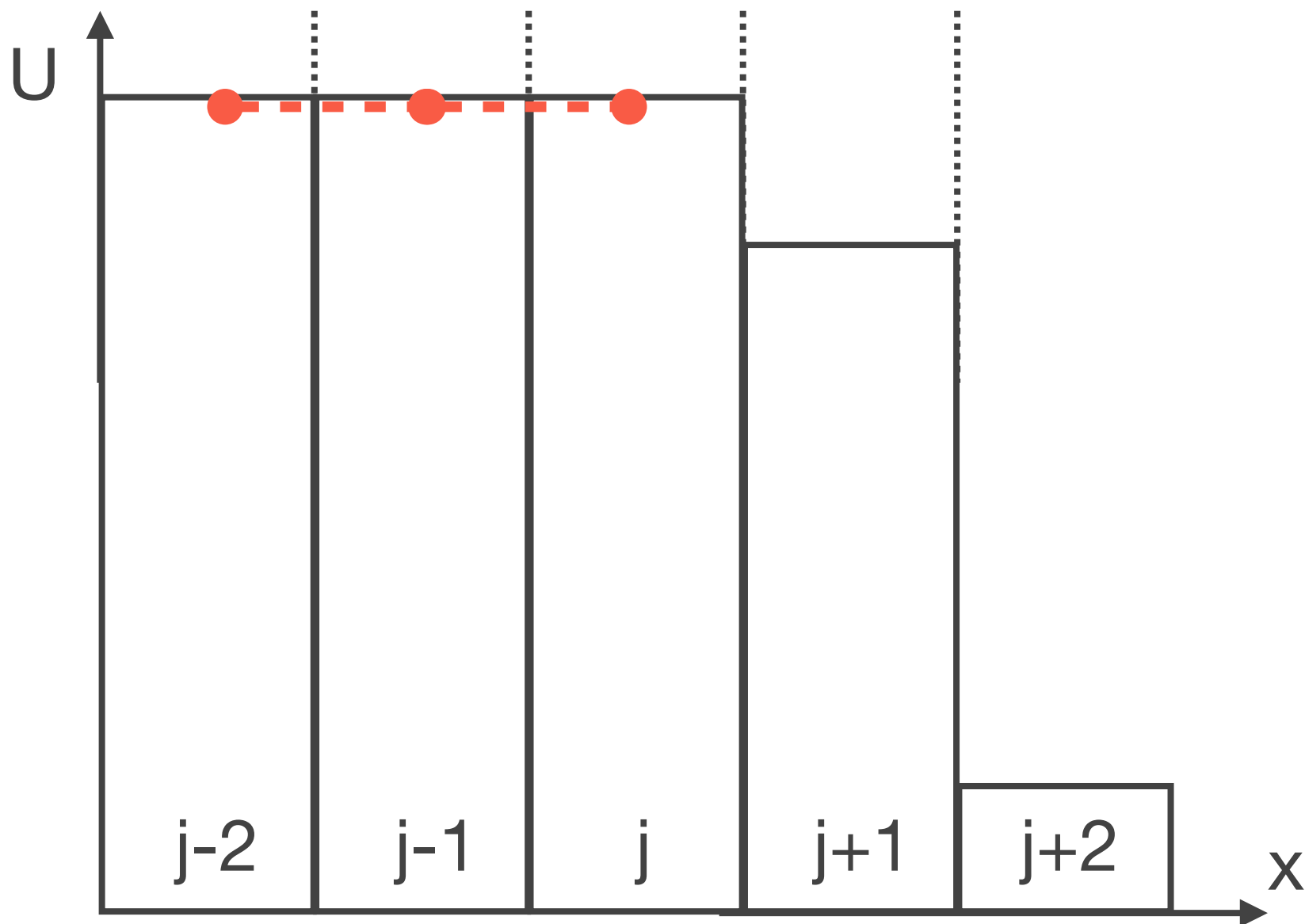
# MUSCL法 | セル内の物理量分布 (minmodリミター)

$$U_j(x) = U_j + \Delta_j (x - x_j), \quad \Delta_j = \text{minmod} \left( \frac{U_{j+1} - U_j}{\Delta x}, \frac{U_j - U_{j-1}}{\Delta x} \right)$$



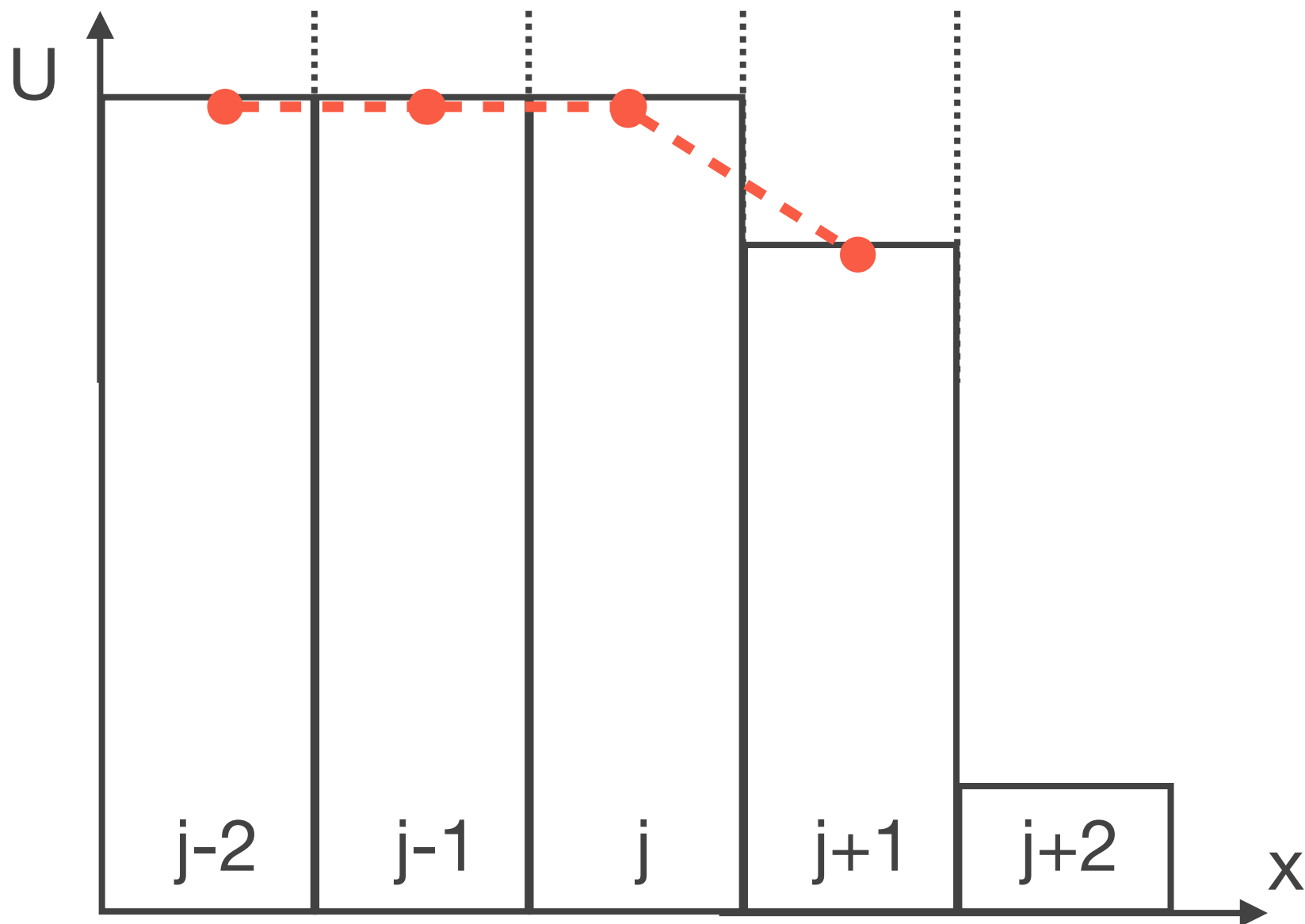
# MUSCL法 | セル内の物理量分布 (minmodリミター)

$$U_j(x) = U_j + \Delta_j (x - x_j), \quad \Delta_j = \text{minmod} \left( \frac{U_{j+1} - U_j}{\Delta x}, \frac{U_j - U_{j-1}}{\Delta x} \right)$$



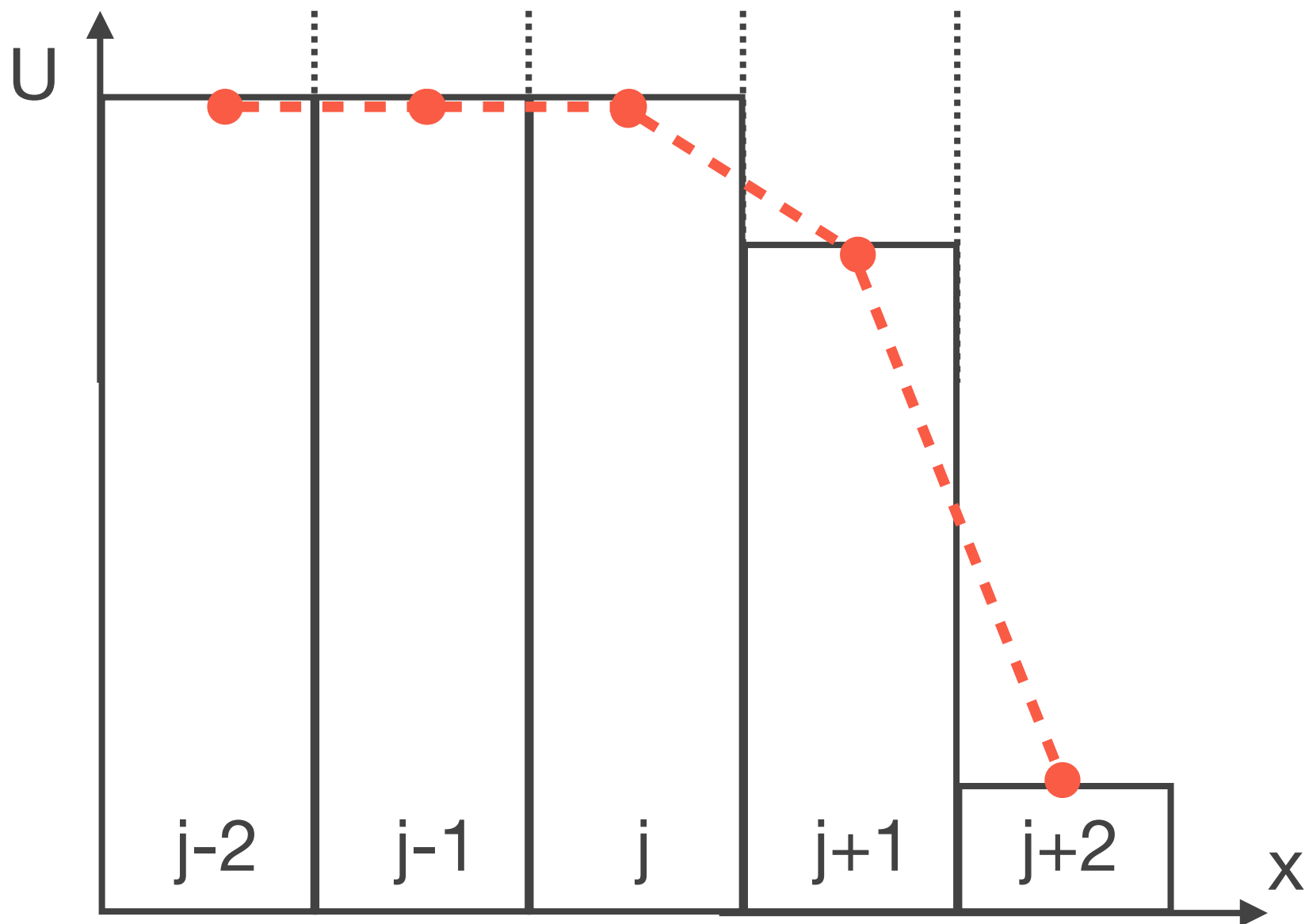
# MUSCL法 | セル内の物理量分布 (minmodリミター)

$$U_j(x) = U_j + \Delta_j (x - x_j), \quad \Delta_j = \text{minmod} \left( \frac{U_{j+1} - U_j}{\Delta x}, \frac{U_j - U_{j-1}}{\Delta x} \right)$$



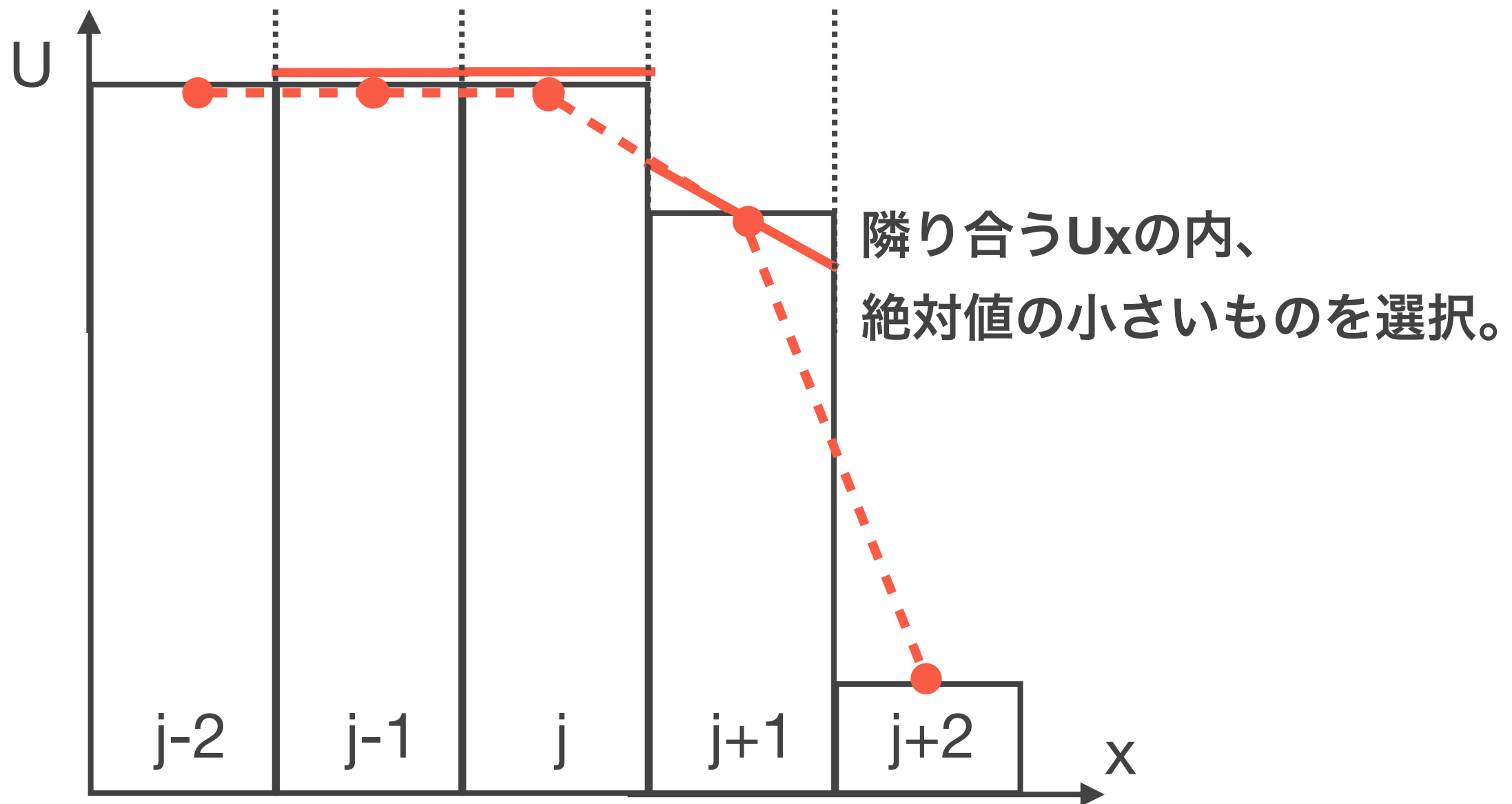
# MUSCL法 | セル内の物理量分布 (minmodリミター)

$$U_j(x) = U_j + \Delta_j (x - x_j), \quad \Delta_j = \text{minmod} \left( \frac{U_{j+1} - U_j}{\Delta x}, \frac{U_j - U_{j-1}}{\Delta x} \right)$$



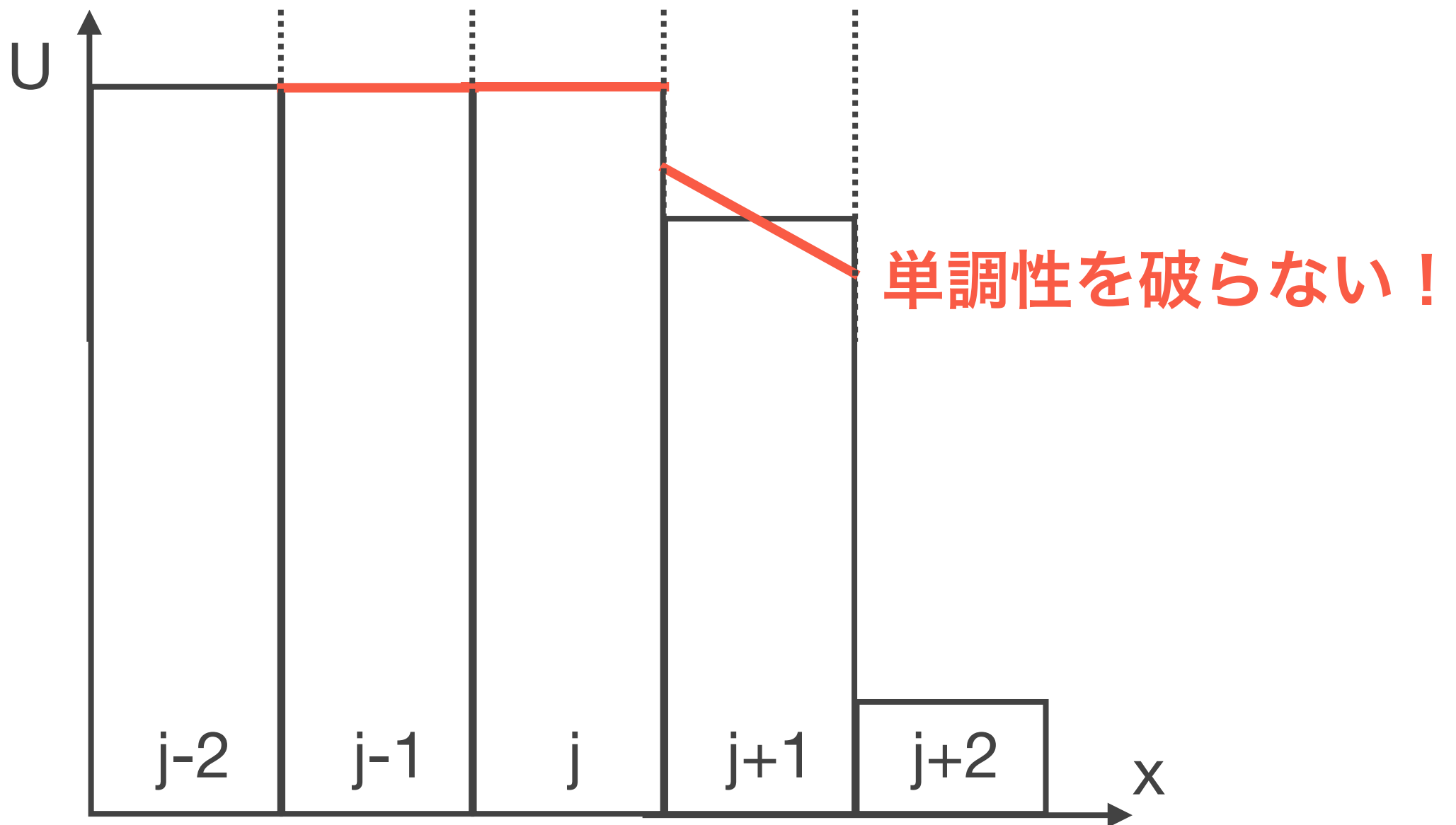
# MUSCL法 | セル内の物理量分布 (minmodリミター)

$$U_j(x) = U_j + \Delta_j (x - x_j), \quad \Delta_j = \text{minmod} \left( \frac{U_{j+1} - U_j}{\Delta x}, \frac{U_j - U_{j-1}}{\Delta x} \right)$$



# MUSCL法 | セル内の物理量分布 (minmodリミター)

$$U_j(x) = U_j + \Delta_j (x - x_j), \quad \Delta_j = \text{minmod} \left( \frac{U_{j+1} - U_j}{\Delta x}, \frac{U_j - U_{j-1}}{\Delta x} \right)$$

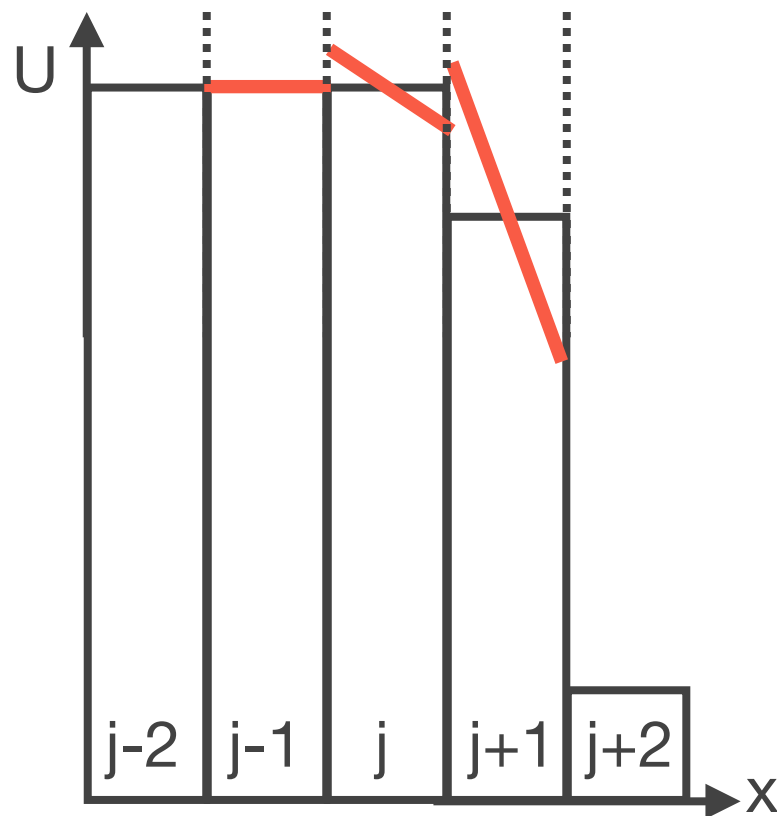


## MUSCL法

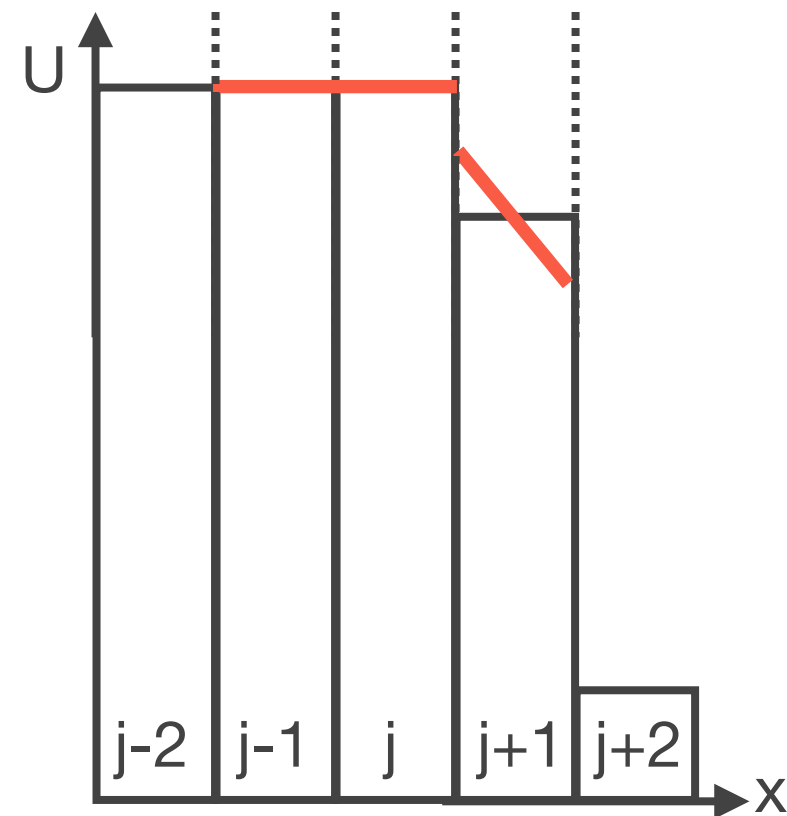
セル境界の補間値 (リミター $\Phi$ が対称な場合;  $\Phi(r) = r\Phi(1/r)$ )

$$U_{i+1/2}^L = U_j + \frac{1}{2}\Delta_j, \quad U_{j-1/2}^R = U_j - \frac{1}{2}\Delta_j$$

$$\begin{aligned} \Delta_j &= \text{Limiter}(U_{j+1} - U_j, U_j - U_{j-1}) \\ &= \Phi(1/r)(U_{j+1} - U_j) = \Phi(r)(U_j - U_{j-1}) \end{aligned}$$



リミター無し (線形補間)



リミター有り (minmod)

# 流速制限関数

制限されたセル内のスロープ

$$\Delta_j = \text{Limiter} (U_{j+1} - U_j, U_j - U_{j-1})$$

**Minmod (Roe, 1986)**

$$\text{minmod} (a, b) = \frac{1}{2} [\text{sgn}(a) + \text{sgn}(b)] \min (|a|, |b|)$$

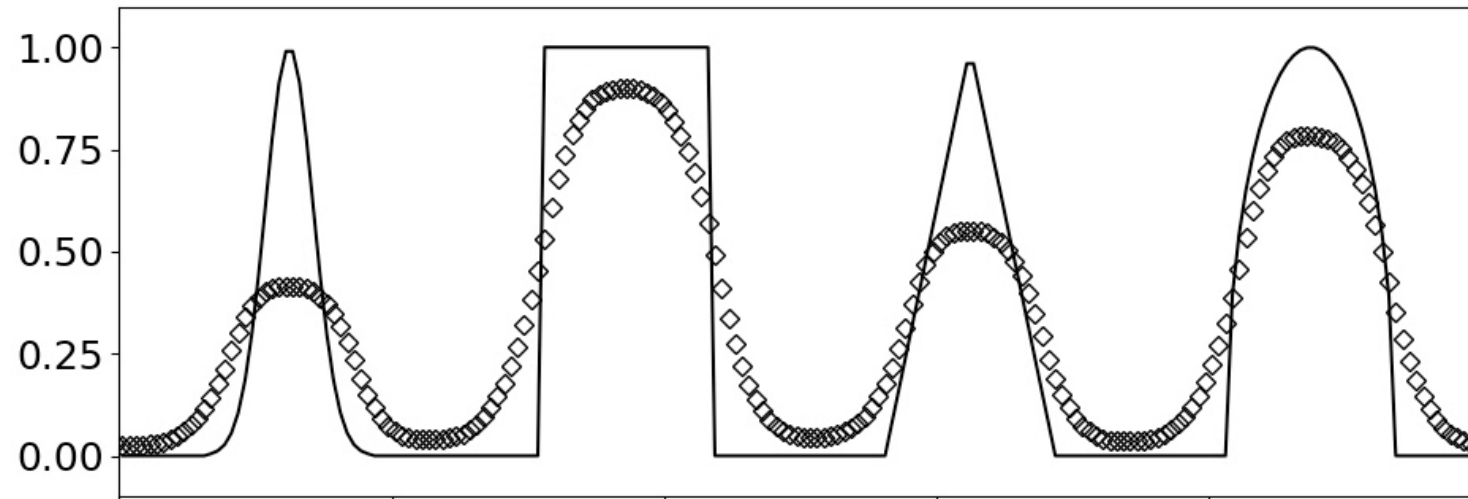
**Monotonized Central (MC) (van Leer, 1977)**

$$\text{MC} (a, b) = \frac{1}{2} [\text{sgn}(a) + \text{sgn}(b)] \min \left( 2|a|, \frac{|a+b|}{2}, 2|b| \right)$$

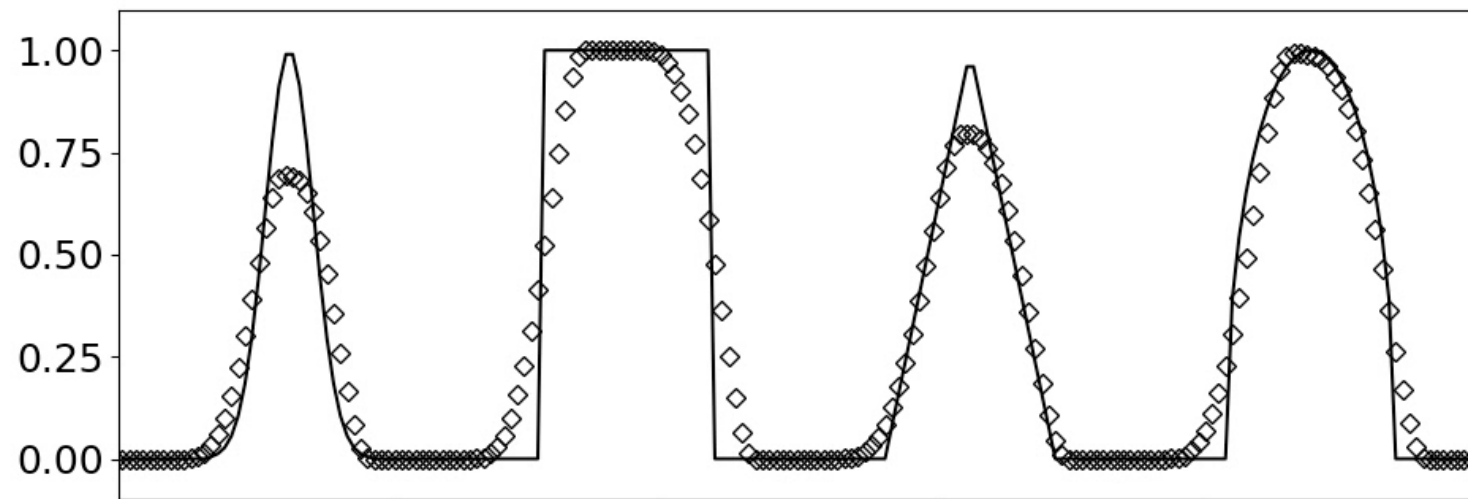
**Superbee (Roe, 1986)**

$$\text{Superbee} (a, b) = \frac{1}{2} [\text{sgn}(a) + \text{sgn}(b)] \\ \max [\min (2|a|, |b|), \min (|a|, 2|b|)]$$

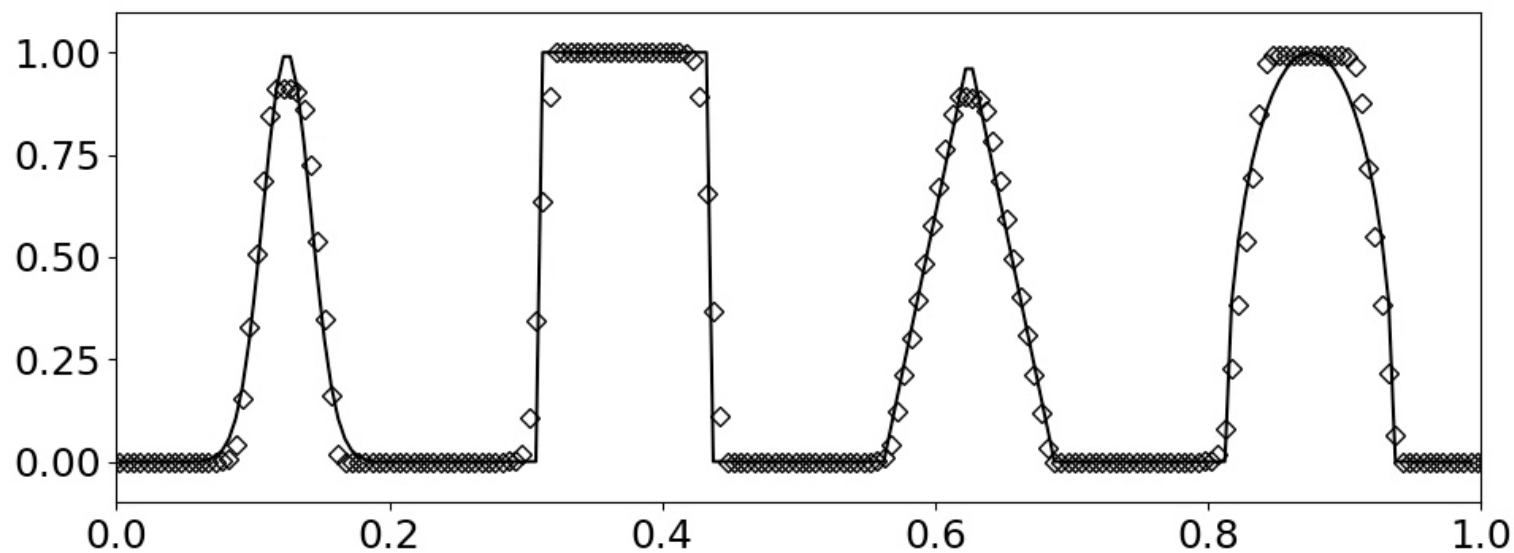
# MUSCLスキームの比較



Minmodリミター  
(Roe, 1986)



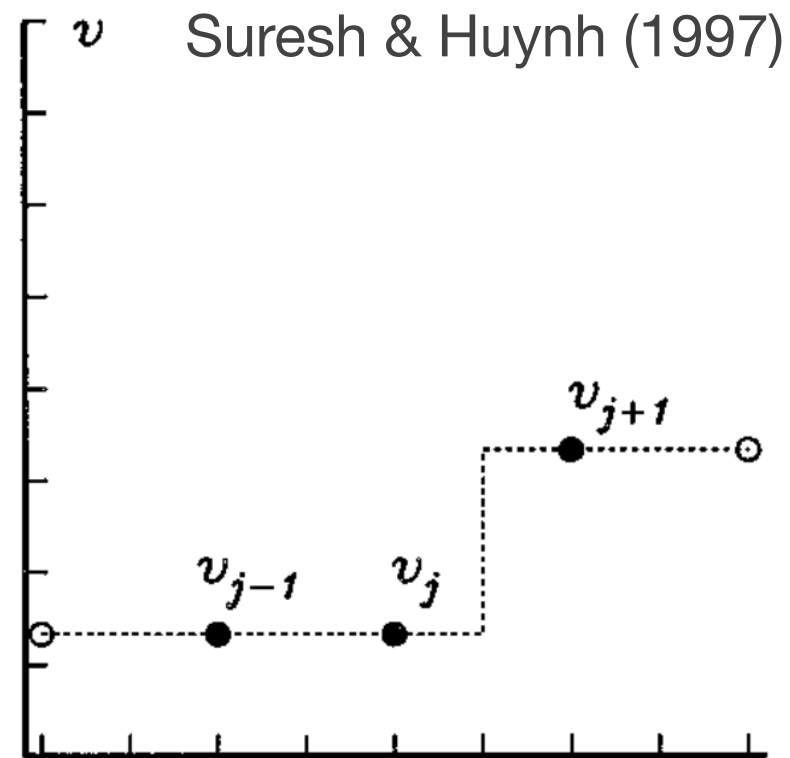
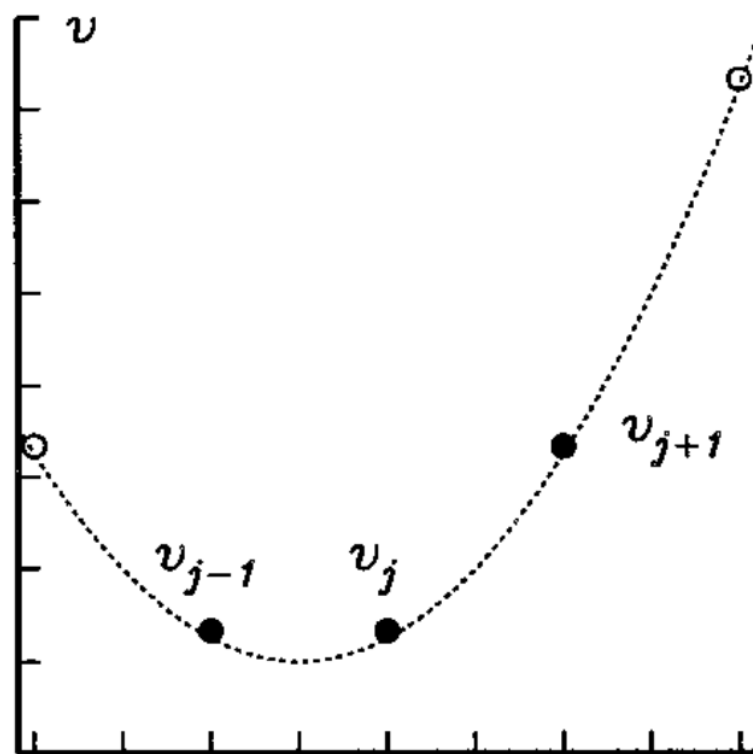
MCリミター  
(van Leer, 1974)



Superbeeリミター  
(Roe, 1986)

# TVDスキームの限界

MUSCL法のような3点ステンシルのTVDスキームでは、なめらかな極値と不連続を区別出来ない。



これを回避するため、なめらかな極値を保つようなリミッター (MP5) や、なめらかなステンシルを上手く選択する (WENO) ような非TVDスキームが提案されている。

# 単調性とTVD

## TVDスキーム:

スキームが以下の条件を満たす時、TVDスキームと呼ぶ。

$$TV(u_j^{n+1}) \leq TV(u_j^n), \quad TV(u_j) = \sum_j |u_{j+1} - u_j|$$

## 単調性保持スキーム:

nステップ目の解  $u_j^n$  が単調な時、

次のn+1ステップ目の解  $u_j^{n+1}$  も単調になるスキーム。

## Harten (1983):

TVDスキームは、  
単調性保持スキームである。

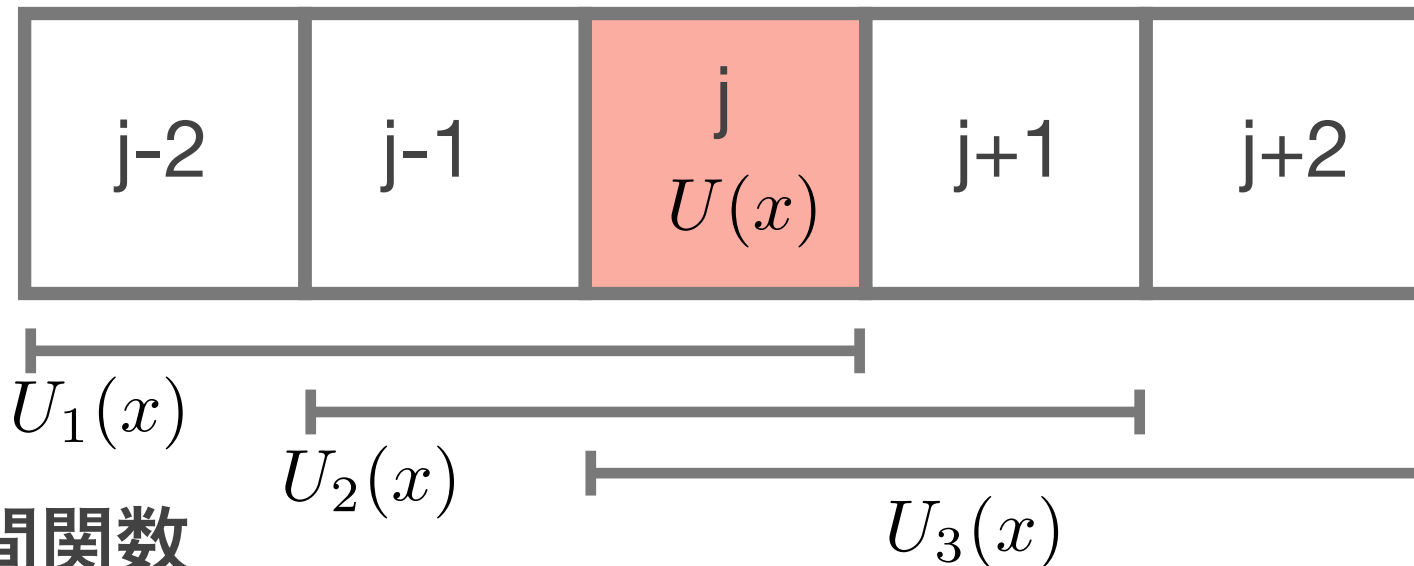
単調性保持  
スキーム

TVDスキーム



# WENO法

## Weighted Essentially Non-Oscillatory Scheme (WENO; Liu et al., 1994; Jiang & Shu, 1999)



線形補間関数

$$U_k(x) = U_k^{(0)} + U_k^{(1)}(x - x_j) + U_k^{(2)}(x - x_j)^2$$

重み付け平均補間関数

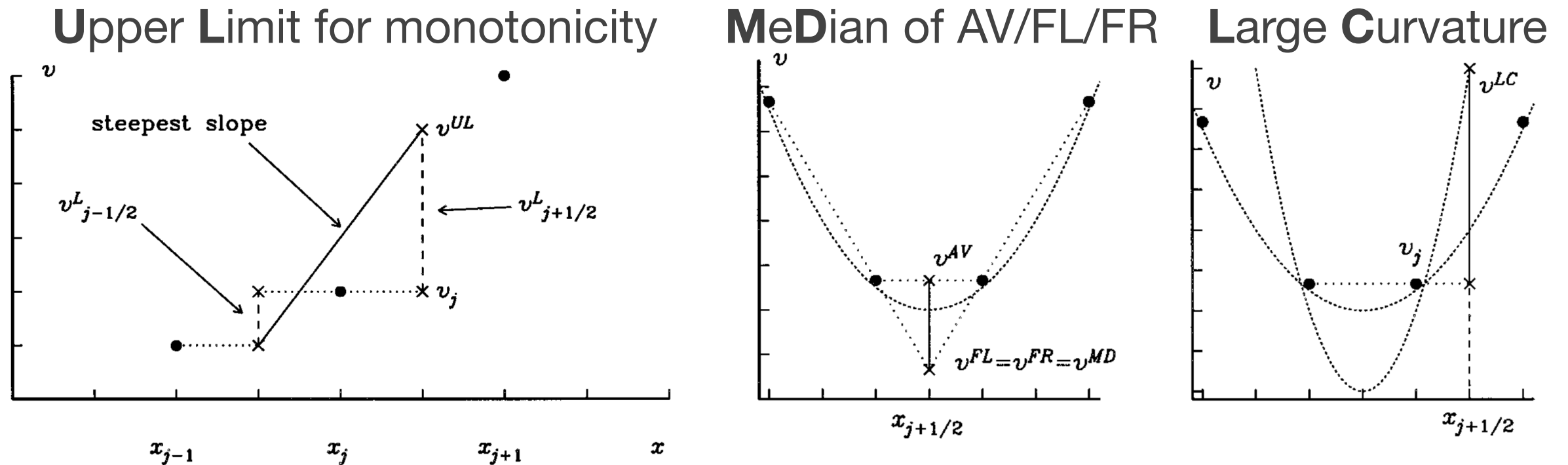
$$U(x) = w_1 U_1(x) + w_2 U_2(x) + w_3 U_3(x)$$

セル内の物理量の分布  $U(x)$  を異なるステンシルで評価された線形補間関数  $U_1, U_2, U_3$  の重み付け平均として計算。

重みは不連続を含むステンシルで小さくなるような非線形関数。

# MP5法

## Accurately Monotonicity Preserving scheme (MP5; Suresh & Huynh, 1997)

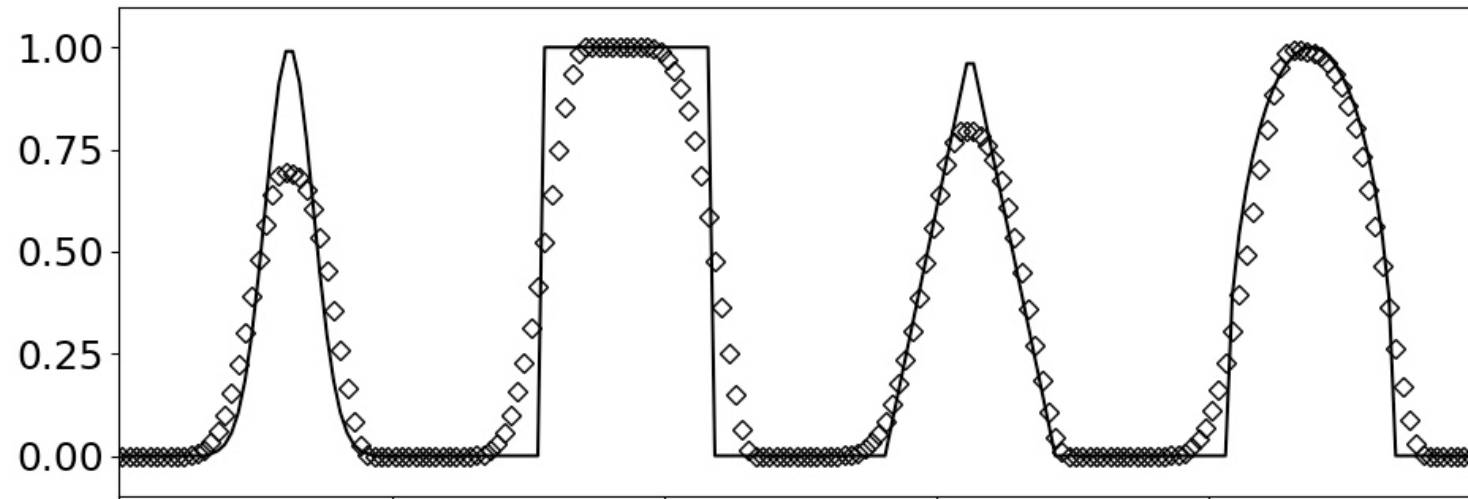


$$U_{j+1/2}^{L*} = (2U_{j-2} - 13U_{j-1} + 47U_j + 27U_{j+1} - 3U_{j+2}) / 60$$

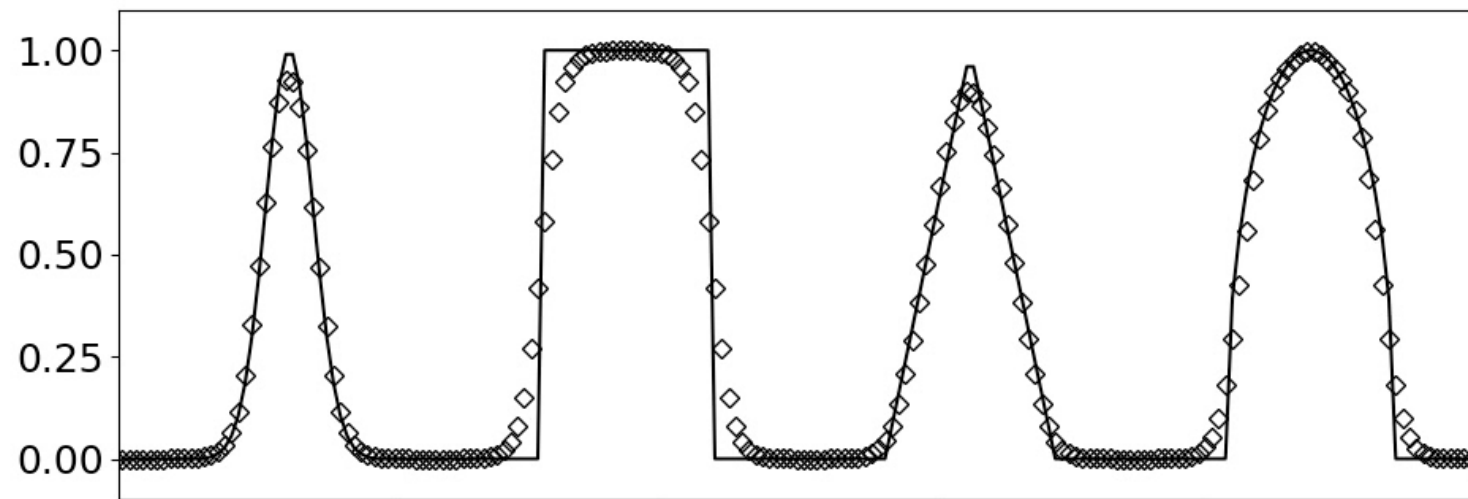
$$U_{j+1/2}^L = \text{median} \left( U_{j+1/2}^{L*}, U_{\min}, U_{\max} \right)$$

複数の条件からセル境界の風上補間値を制限。  
単調性を保ちつつ、極値があれば極値も保つ。

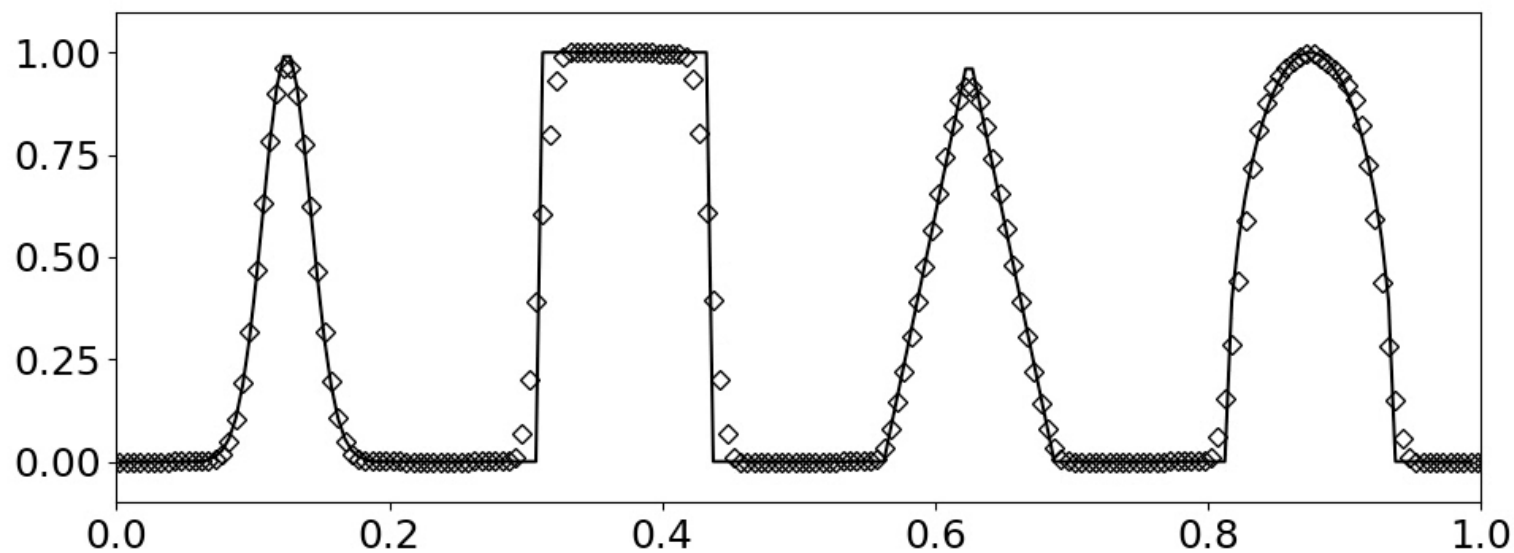
# 移流スキームの比較



MUSCL-MC



WENO5  
(Jiang & Shu, 1996)



MP5  
(Suresh & Huynh, 1997)

# 時間高次精度化 | SSP Runge-Kutta法

**Strongly Stability Preserving Runge-Kutta method**  
(SSP RK; TVD RK; Shu & Osher, 1988)

流体・MHD計算のように**衝撃波・不連続**を含む場合、通常のRK法で行うような線形安定性解析では不十分。

SSP Runge-Kutta法では、もし前進Euler法に関して数値スキームがTVD条件

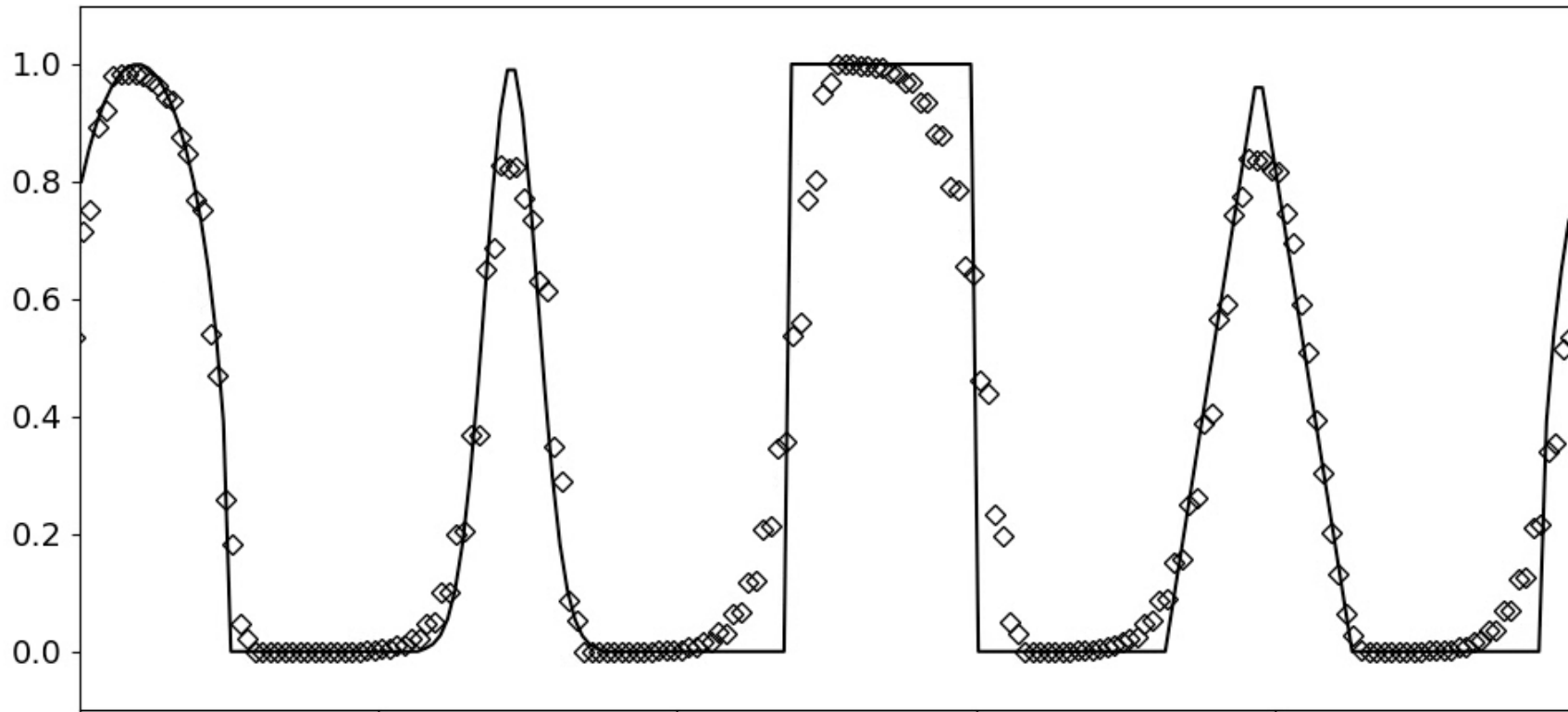
$$\text{TV} [U^n + \Delta t F(U^n)] \leq \text{TV} [U^n]$$

を満たすなら、適切な  $\Delta t < \Delta t_{\text{SSP}}$  のもと、SSP Runge-Kutta法で積分した  $n + 1$  ステップ目の解  $U^{n+1}$  もTVD条件

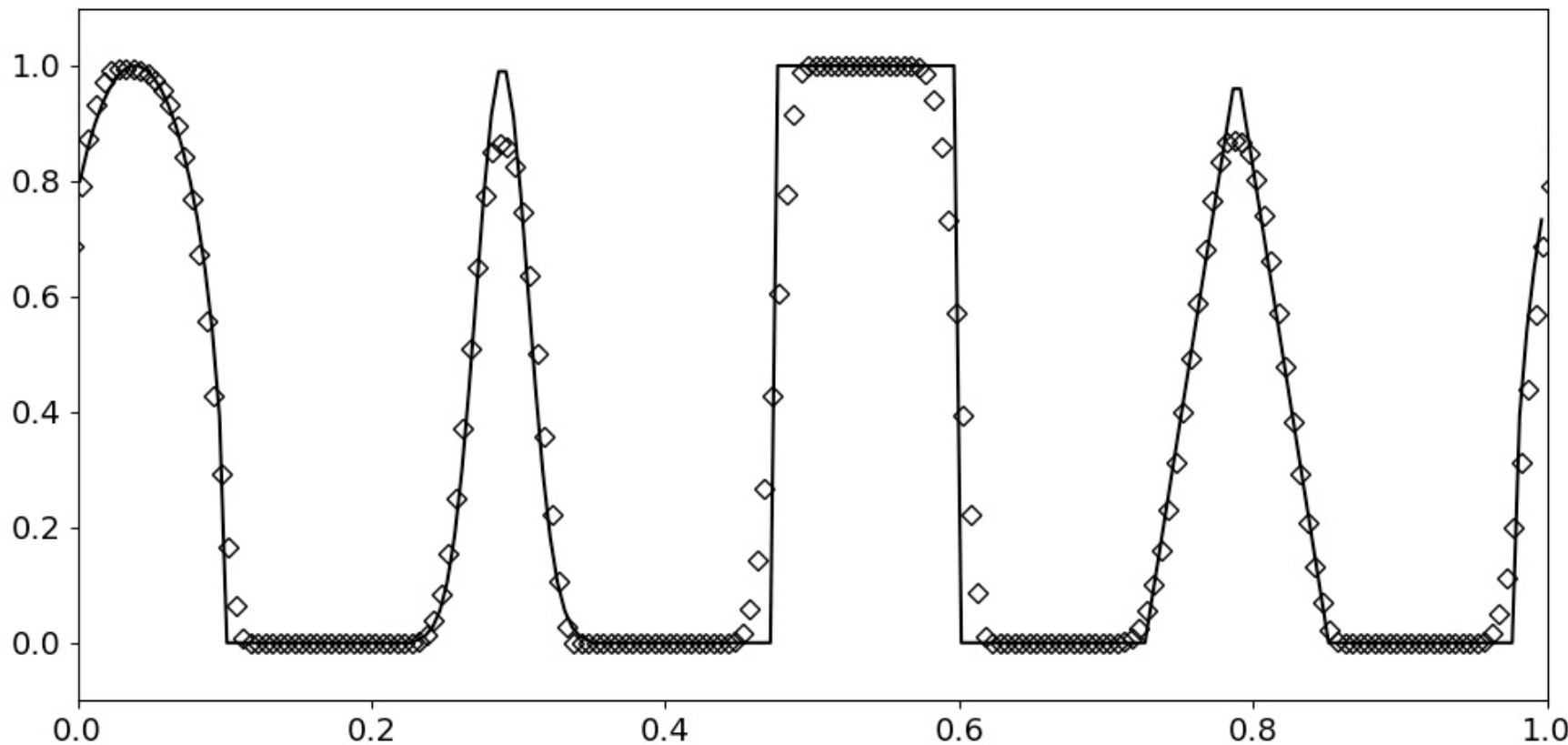
$$\text{TV} [U^{n+1}] \leq \text{TV} [U^n]$$

を満たすことが保証される。このため、**解の単調性を保ったまま時間方向に高次精度化**することが可能。

# 時間積分法の高次精度化



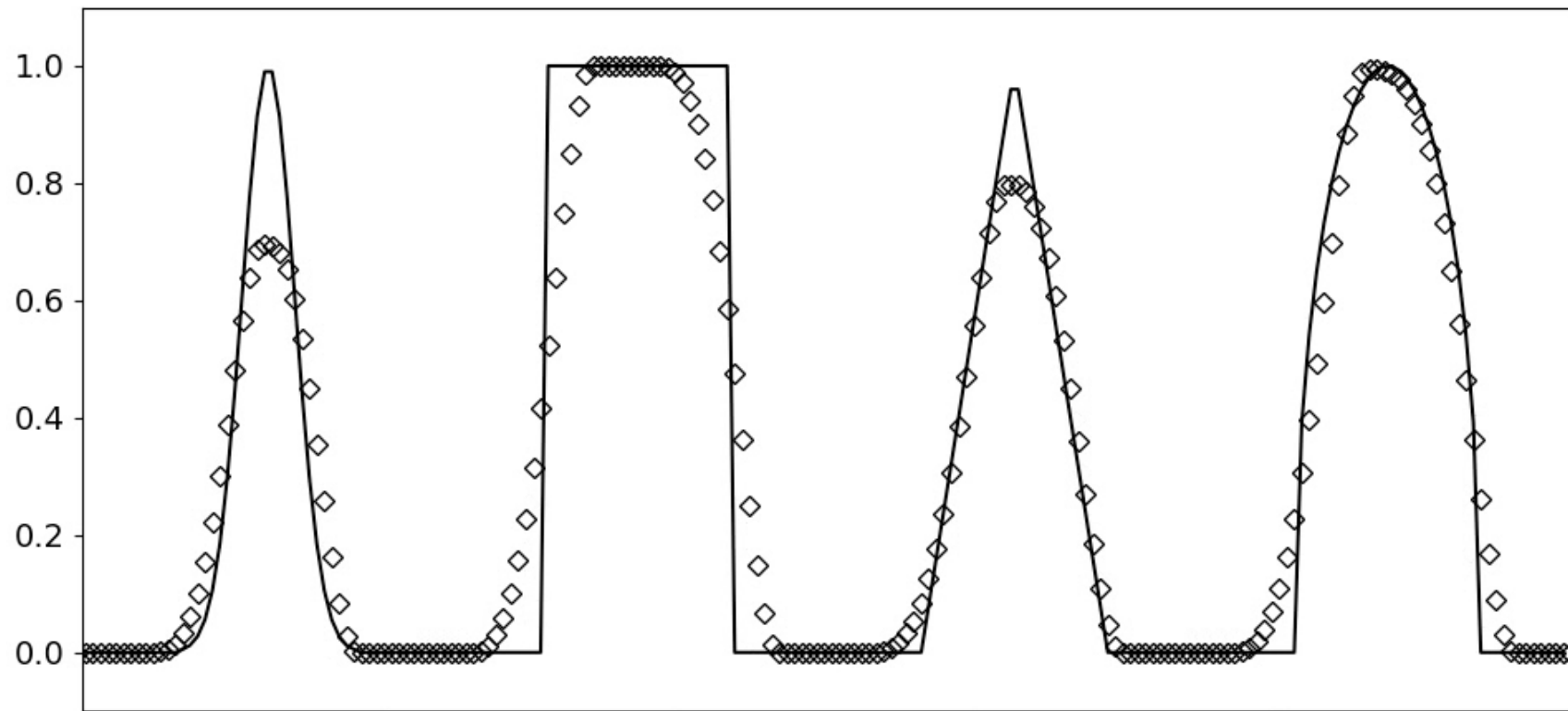
Non SSPRK(5,3)  
CFL = 0.8  
MUSCL-MC



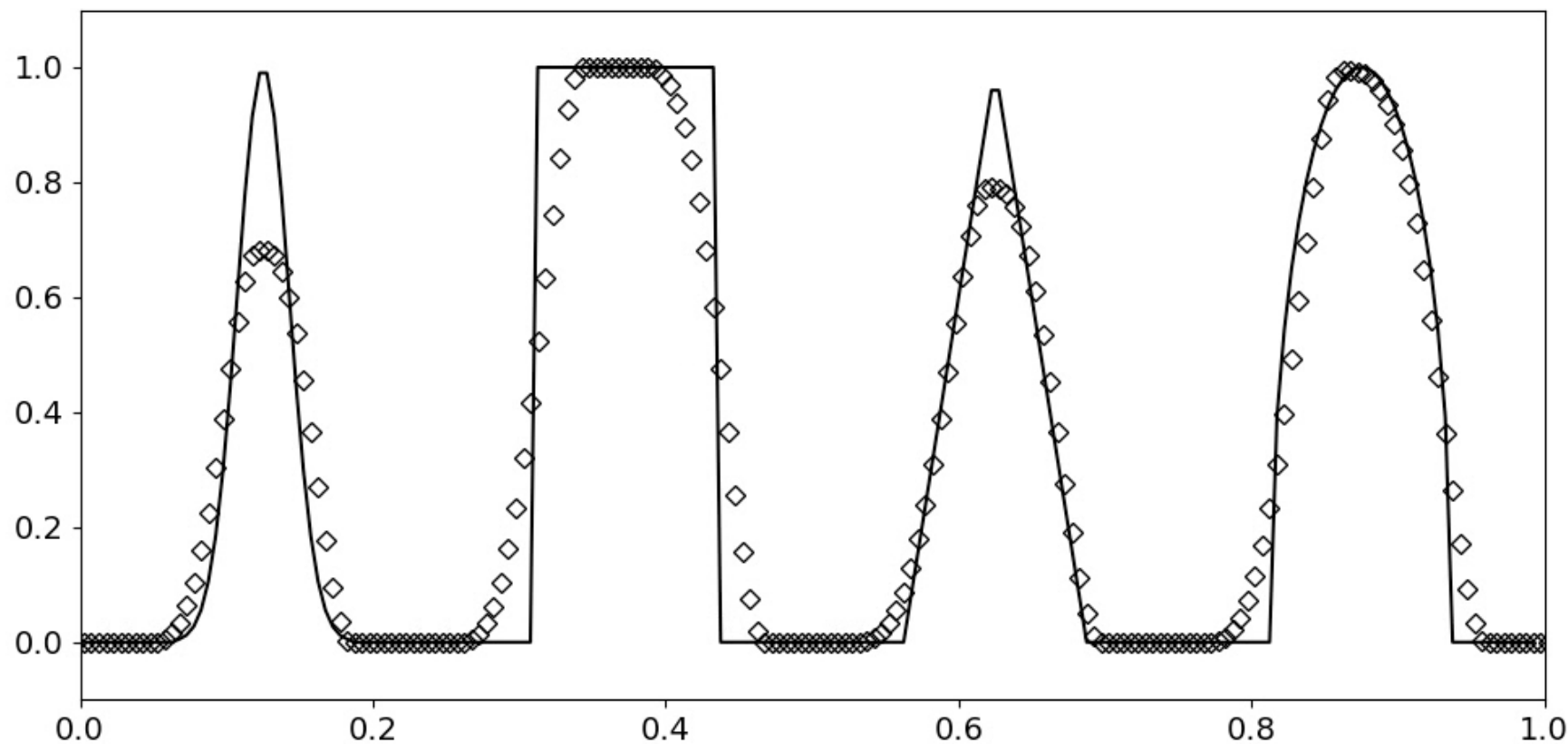
SSPRK(5,3)  
CFL = 0.8  
MUSCL-MC

非SSPなRKでは、線形安定なCFLでも、不連続があると解の単調性が保てない。

# 時間積分法の高次精度化



Non SSPRK(5,3)  
CFL = **0.7**  
MUSCL-MC



SSPRK(5,3)  
CFL = **1.3**  
MUSCL-MC

単調性・TVDが保てる  
CFL数で比べると、  
**SSPRKの方が効率的。**

# Optimal SSP Runge-Kutta法

同じステップ数、同じ精度で、TVDを保てるCFLが最も大きいSSP Runge-Kutta法。

$$\frac{dy}{dt} = f(y)$$

以下の2次、3次のOptimal SSPRKがよく使われる。

1次精度; 前進Euler法

$$y^{n+1} = y^n + \Delta t f(y^n)$$

2次精度; SSPRK(2, 2)

$$y^{(1)} = y^n + \Delta t f(y^n)$$

$$y^{n+1} = \frac{1}{2}y^n + \frac{1}{2} \left[ y^{(1)} + \Delta t f(y^{(1)}) \right]$$

3次精度; SSPRK(3, 3)

$$y^{(1)} = y^n + \Delta t f(y^n)$$

$$y^{(2)} = \frac{3}{4}y^n + \frac{1}{4} \left[ y^{(1)} + \Delta t f(y^{(1)}) \right]$$

$$y^{n+1} = \frac{1}{3}y^n + \frac{2}{3} \left[ y^{(2)} + \Delta t f(y^{(2)}) \right]$$

# 1次元MHD方程式の 高次精度化

# 1次元理想MHD方程式

$$\frac{\partial U}{\partial t} + \frac{\partial F}{\partial x} = 0$$

$$U = \begin{pmatrix} \rho \\ \rho V_x \\ \rho V_y \\ \rho V_z \\ B_y \\ B_z \\ e \end{pmatrix}, \quad F = \begin{pmatrix} \rho V_x \\ \rho V_x^2 + p_T - B_x^2 \\ \rho V_y V_x - B_x B_y \\ \rho V_z V_x - B_x B_z \\ B_y V_x - B_x V_y \\ B_z V_x - B_x V_z \\ (e + p_T) V_x - B_x (V_x B_x + V_y B_y + V_z B_z) \end{pmatrix}$$

$$p_T = p + \frac{1}{2} (B_x^2 + B_y^2 + B_z^2)$$

$$p = (\gamma - 1) \left[ e - \frac{1}{2} \rho (u^2 + v^2 + w^2) - \frac{1}{2} (B_x^2 + B_y^2 + B_z^2) \right]$$

制約条件  $\nabla \cdot \mathbf{B} = 0$  より  $B_x$  は空間・時間に関して一定。

# システム方程式への適用

$$\frac{\partial \mathbf{U}_j}{\partial t} + \frac{\mathbf{F}_{j+1/2} - \mathbf{F}_{j-1/2}}{\Delta x} = 0$$

$$\mathbf{F}_{j+1/2} = \text{Riemann} \left( \mathbf{U}_{j+1/2}^L, \mathbf{U}_{j+1/2}^R \right) : \text{HLL, HLLD, Roe, ...}$$

$$\mathbf{U}_{j+1/2}^L = \begin{cases} \mathbf{U}_j \\ \text{MUSCL} (\mathbf{U}_{j-1}, \mathbf{U}_j, \mathbf{U}_{j+1}) \\ \text{WENO5} (\mathbf{U}_{j-2}, \mathbf{U}_{j-1}, \mathbf{U}_j, \mathbf{U}_{j+1}, \mathbf{U}_{j+2}) \\ \text{MP5} (\mathbf{U}_{j-2}, \mathbf{U}_{j-1}, \mathbf{U}_j, \mathbf{U}_{j+1}, \mathbf{U}_{j+2}) \\ \dots \end{cases}$$

$\mathbf{U}_{j-1/2}^R$ は $\mathbf{U}_{j+1/2}^L$ で...,  $j-2, j-1, j, j+1, j+2, \dots$ を逆順にしたもの。

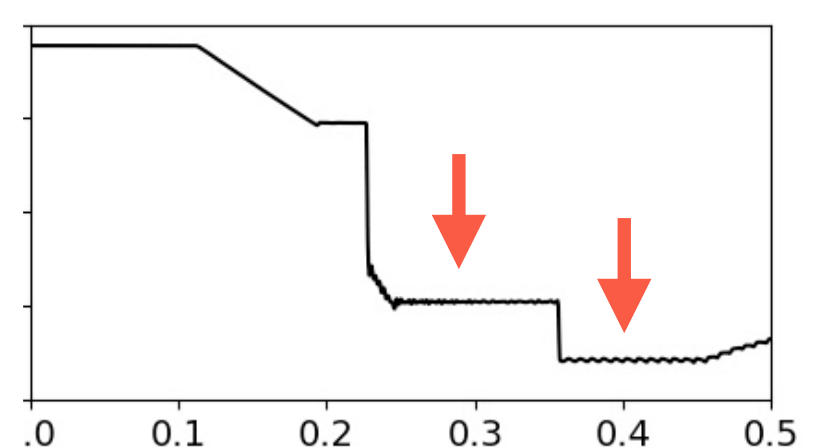
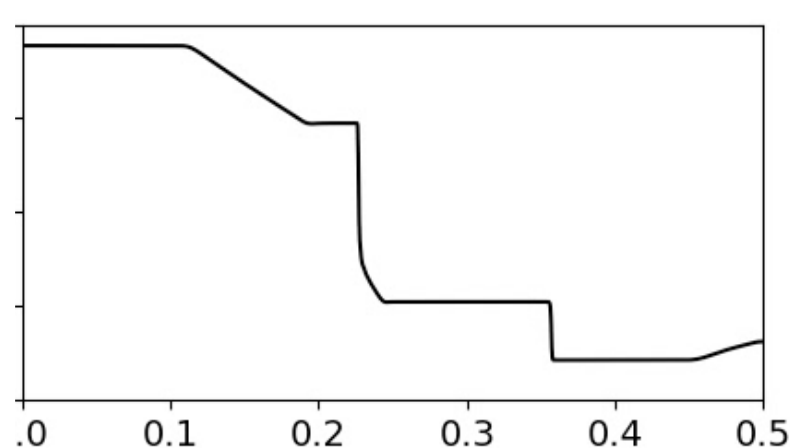
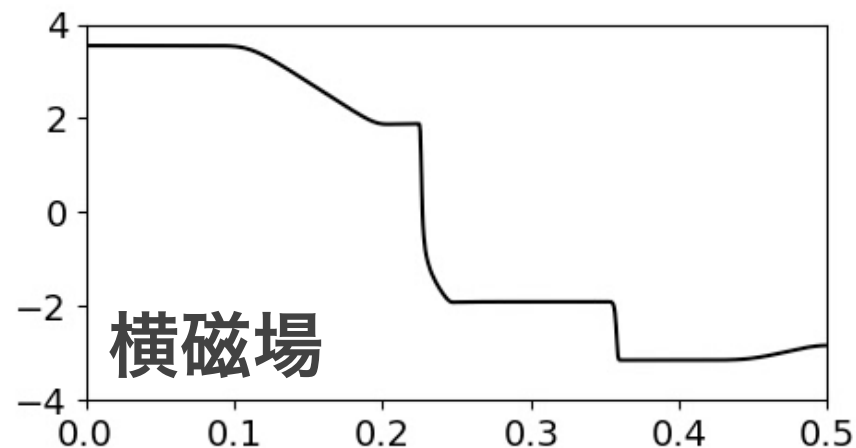
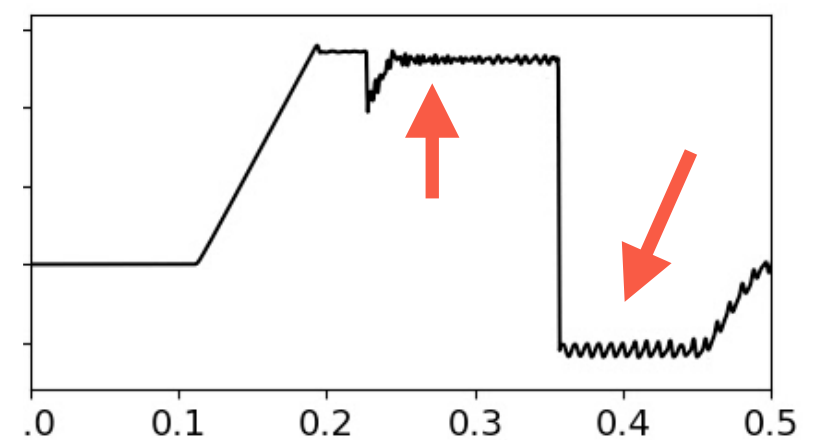
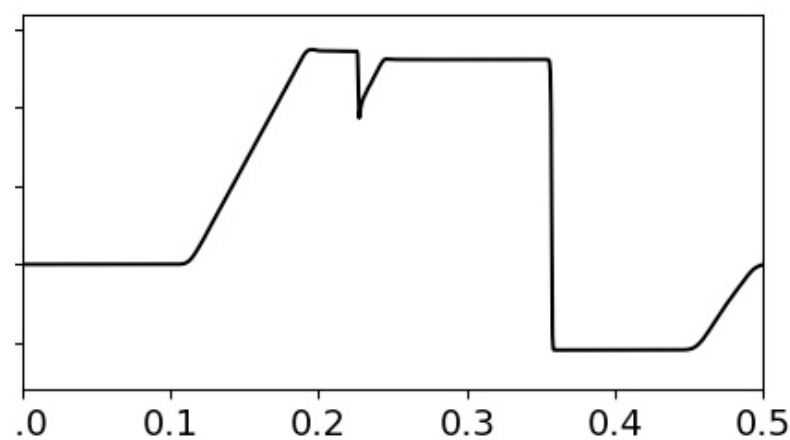
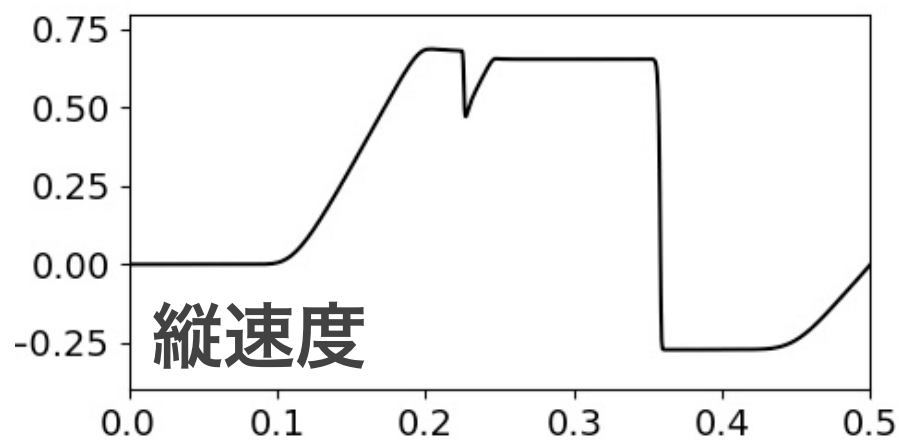
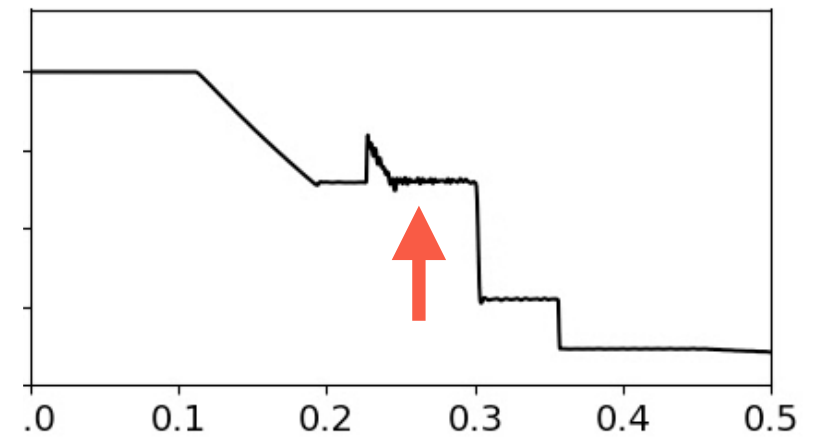
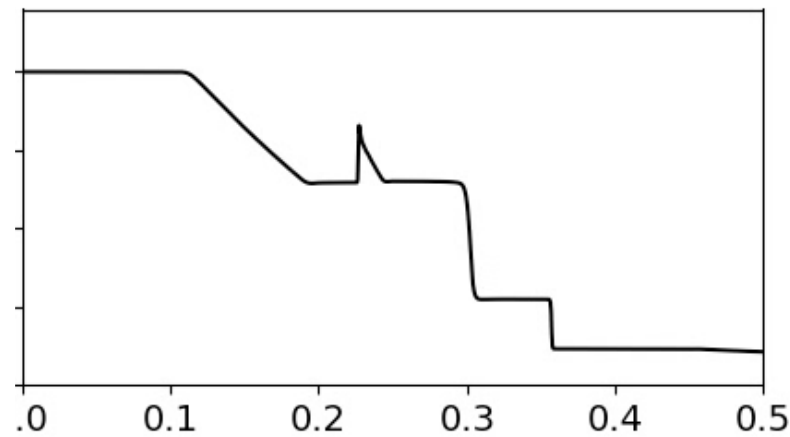
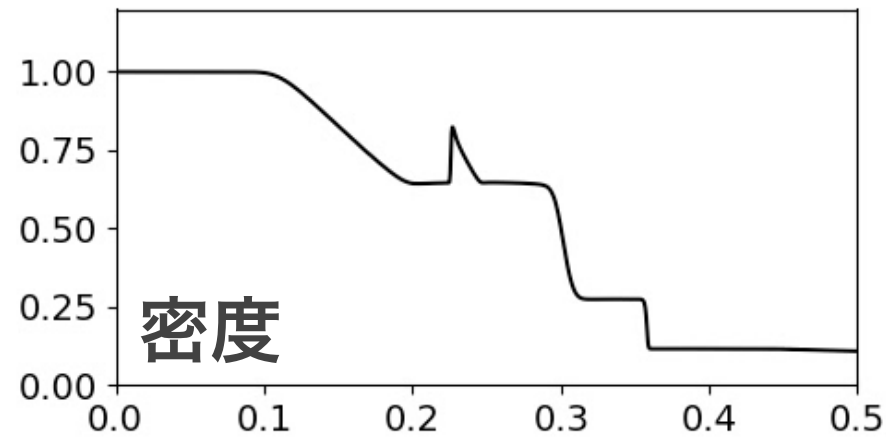
時間積分法は引き続きSSP Runge-Kutta法を使用。

# MHD衝撃波管 (Brio & Wu, 1988) | 保存変数補間

## 1次精度風上補間

## MUSCL-Minmod

## MP5



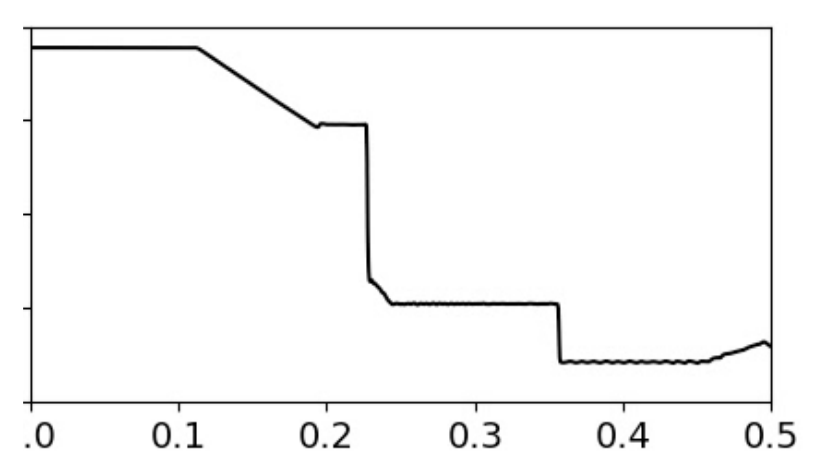
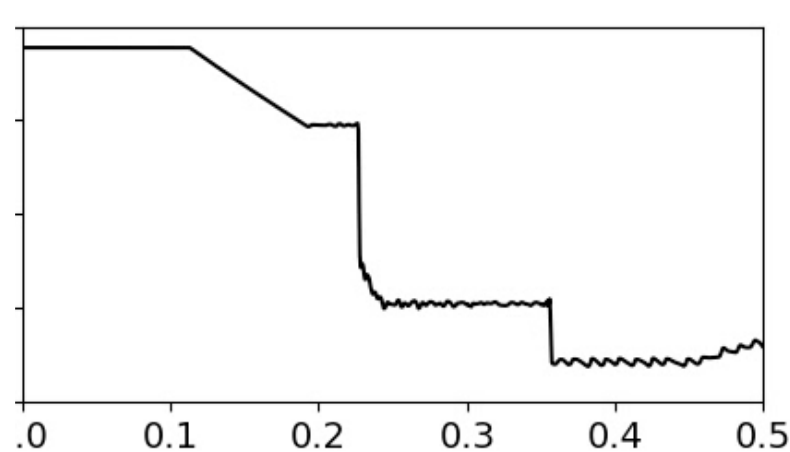
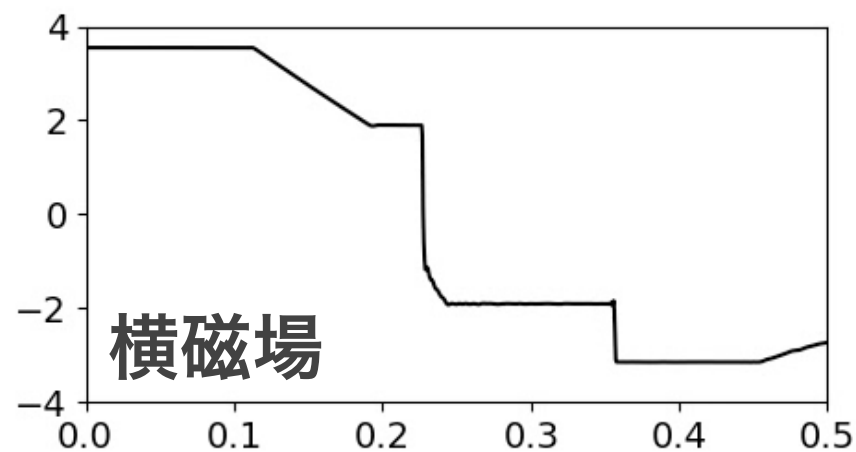
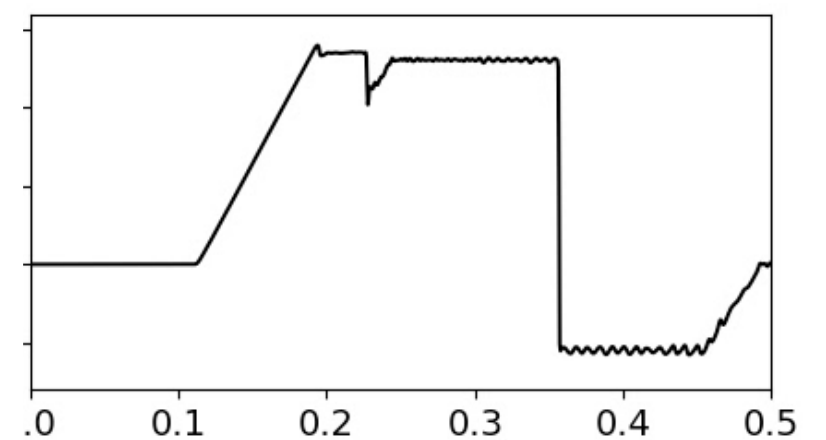
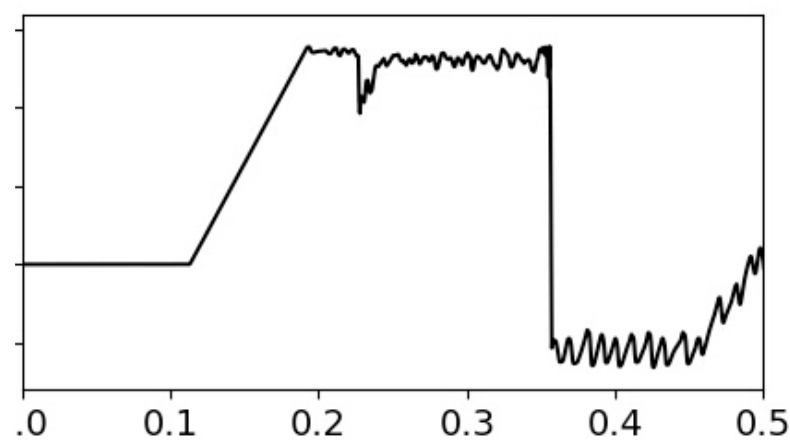
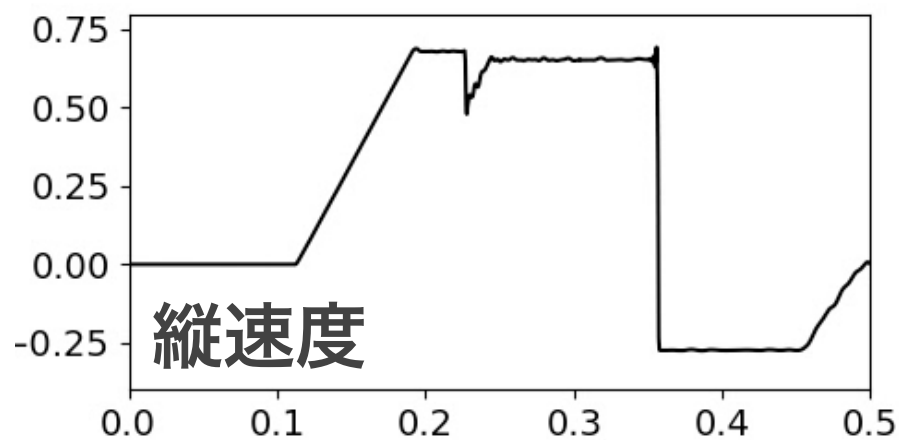
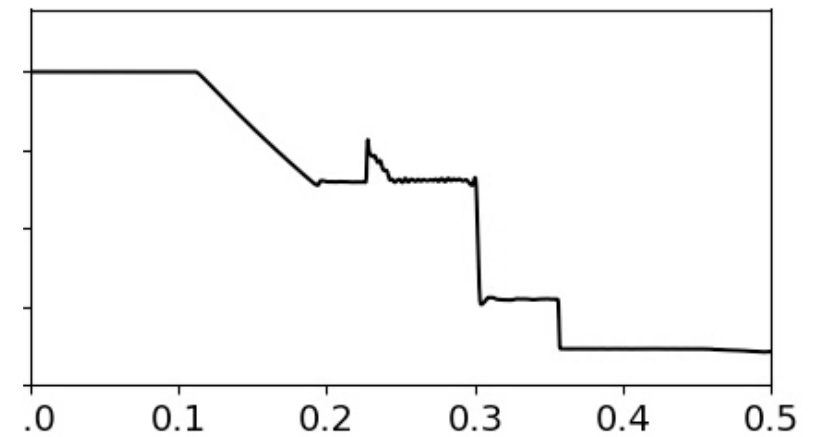
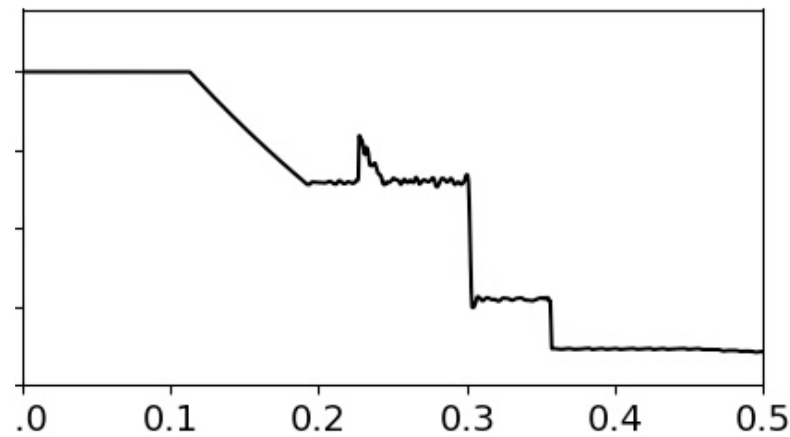
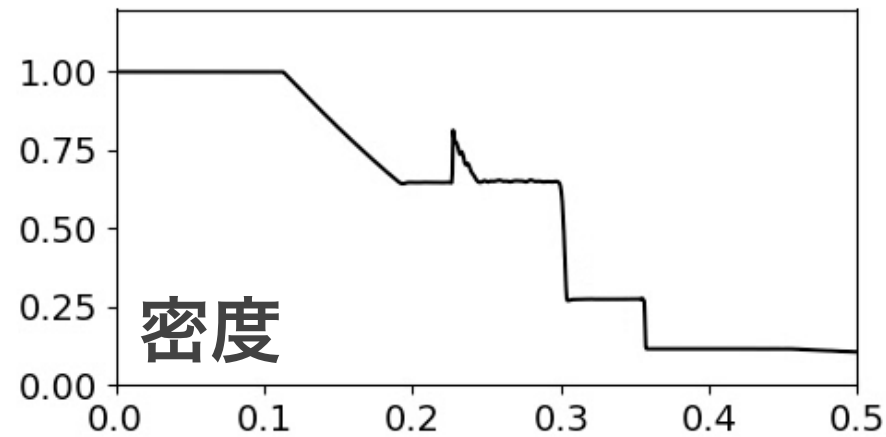
Osherの近似リーマンソルバー、3次精度SSP RK法

# MHD衝撃波管 (Brio & Wu, 1988) | 保存変数補間

## Osher+MC

## Osher+Superbee

## LLF+MP5



3次精度SSP RK法

# リーマン不変量

$$\frac{\partial U}{\partial t} + \frac{\partial F}{\partial x} = \frac{\partial U}{\partial t} + A \frac{\partial U}{\partial x} = 0$$

$$A = \frac{\partial F}{\partial U} = R\Lambda L, \quad RL = LR = I$$

$$L \frac{\partial U}{\partial t} + \Lambda \cdot L \frac{\partial U}{\partial x} = \frac{\partial W}{\partial t} + \Lambda \frac{\partial W}{\partial x} = 0$$

$A$ : ヤコビアン行列,  $R/L$ :  $A$ の左右固有行列

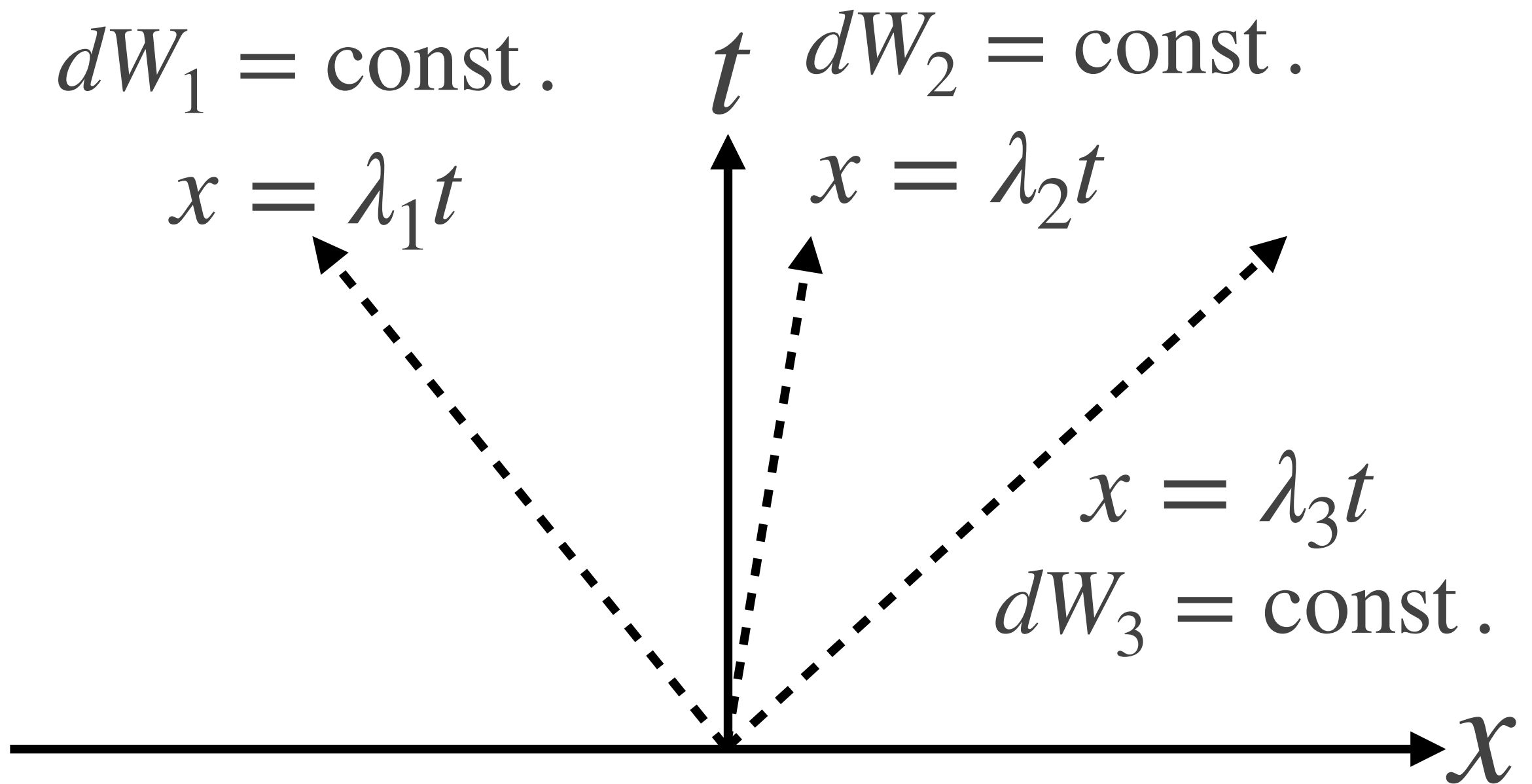
$\Lambda$ :  $A$ の固有値 (実数) を要素とする対角行列

**特性量 (リーマン不変量)**  $dW = LdU$  は

位相速度  $\Lambda$  の特性線に沿って一定。

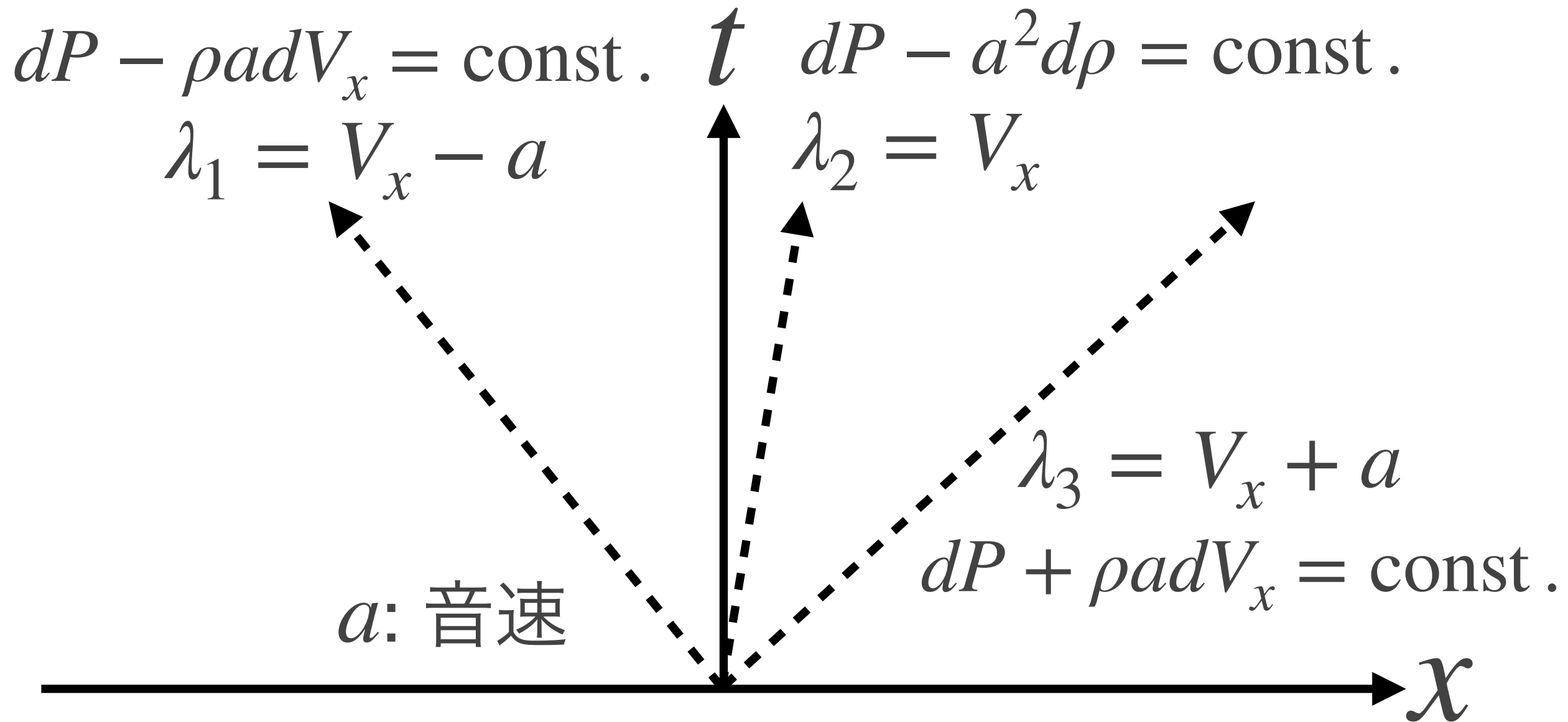
空間補間もリーマン不変量に関して行いたい。

# リーマン不変量



特性量（リーマン不変量） $dW = LdU$  は  
位相速度  $\Lambda$  の特性線に沿って一定。

# リーマン不変量 | 1次元オイラー方程式の場合



特性線は左向き音波、エントロピー波、右向き音波の3つ

$V_y, V_z$  を考慮すると  $\lambda = V_x, dW = dV_y, dV_z$  の2つの波が追加

# 特性量補間

保存量補間 (MP5の場合)

$$U_{j+1/2}^L = \text{MP5}(U_{j-2}, U_{j-1}, U_j, U_{j+1}, U_{j+2})$$

特性量補間

$$W_k = L_j U_{j+k} : \text{保存量} \Rightarrow \text{特性量}$$

$$W_{j+1/2}^L = \text{MP5}(W_{-2}, W_{-1}, W_0, W_1, W_2)$$

$$U_{j+1/2}^L = R_j W_{j+1/2}^L : \text{特性量} \Rightarrow \text{保存量}$$

特性量の補間は高コスト、実装も面倒。

固有行列が明らかでない系には使えない。

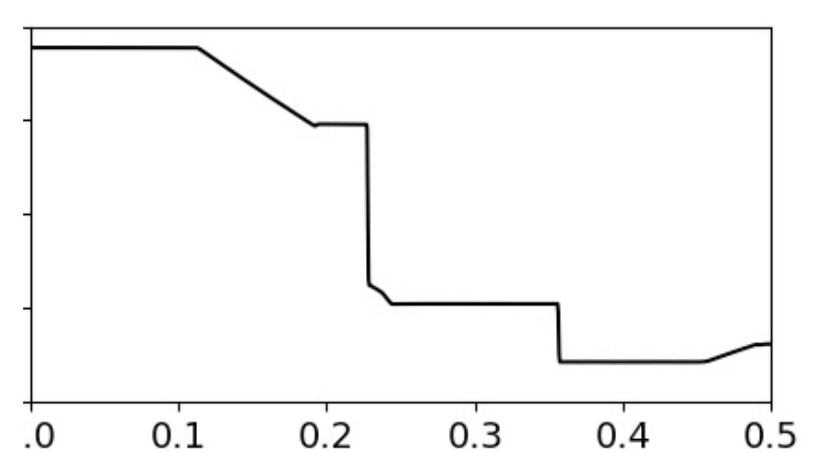
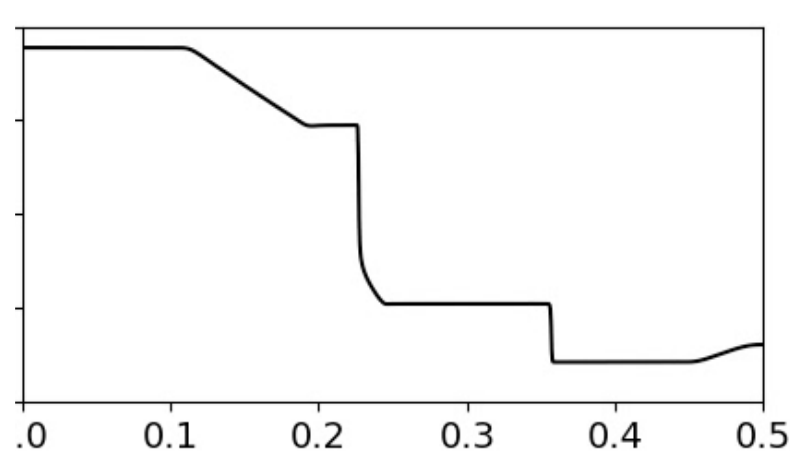
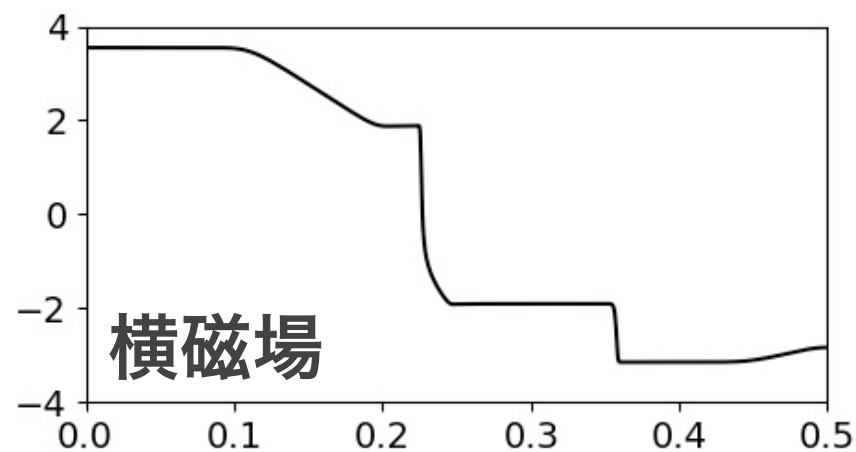
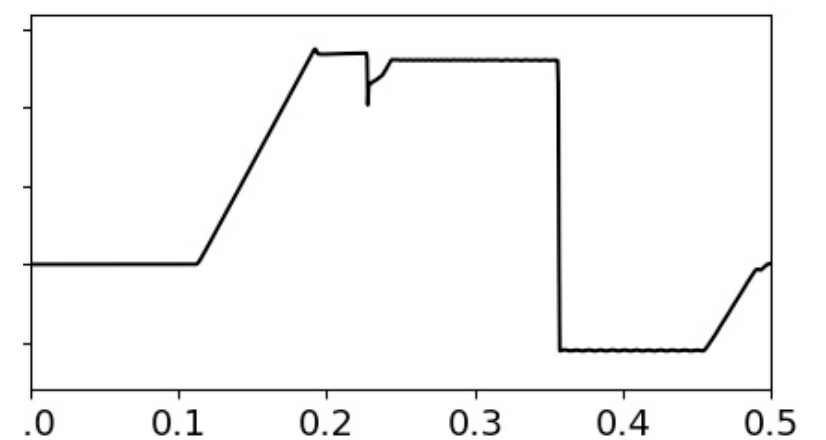
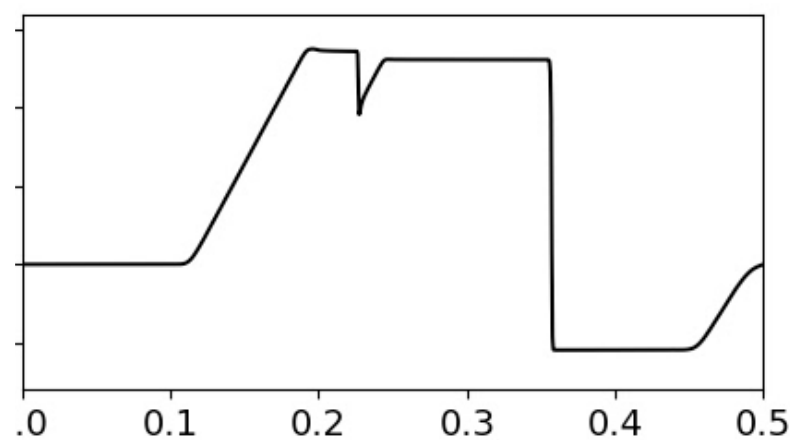
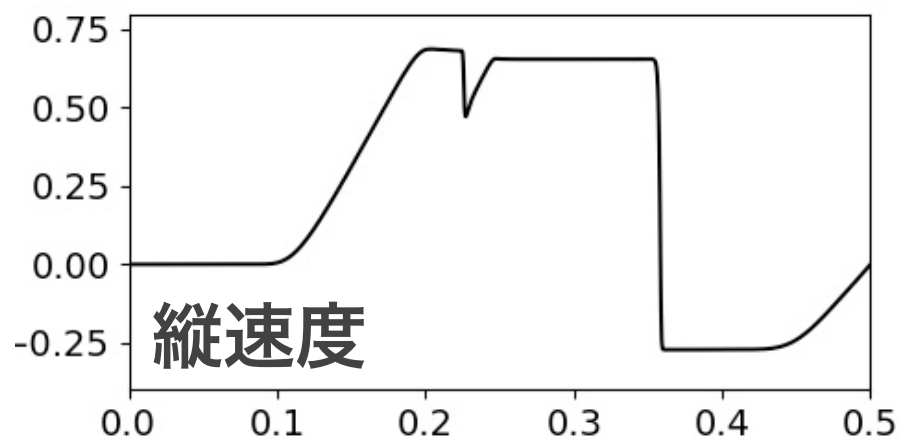
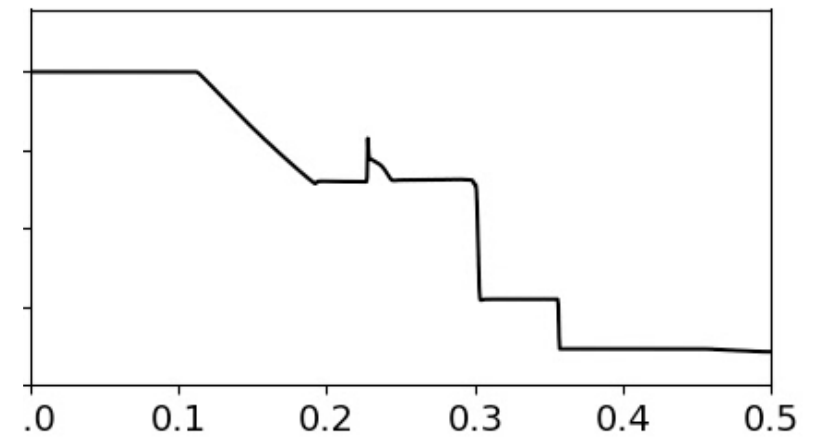
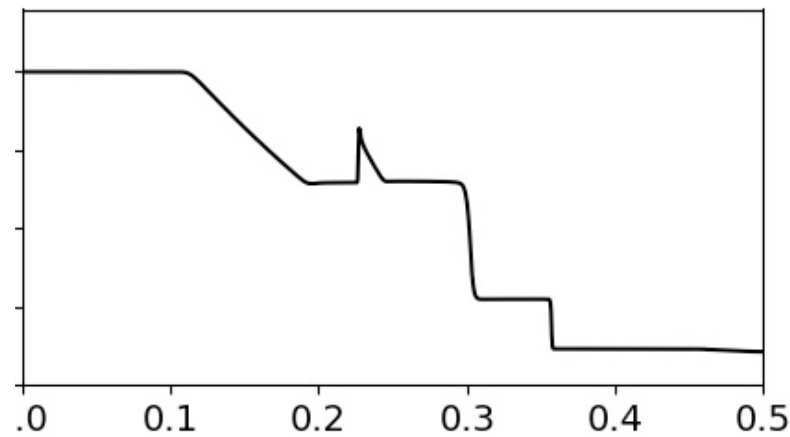
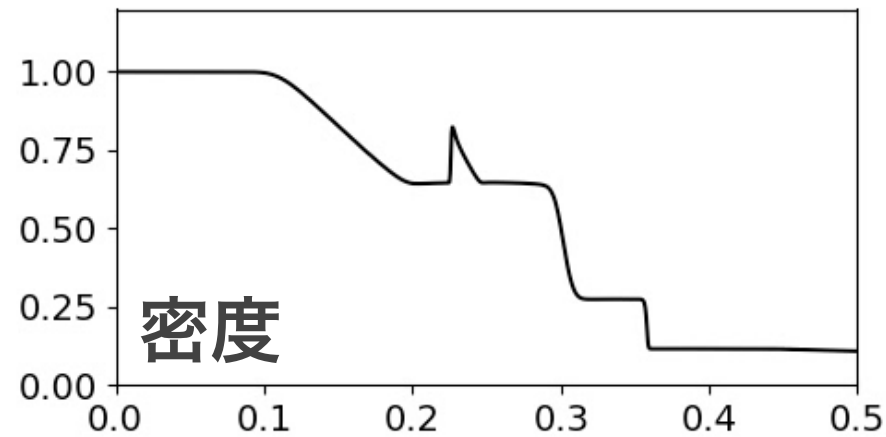
MHDの固有行列: e.g., Stone et al. (2008)

# MHD衝撃波管 (Brio & Wu, 1988) | 特性量補間

## 1次精度風上補間

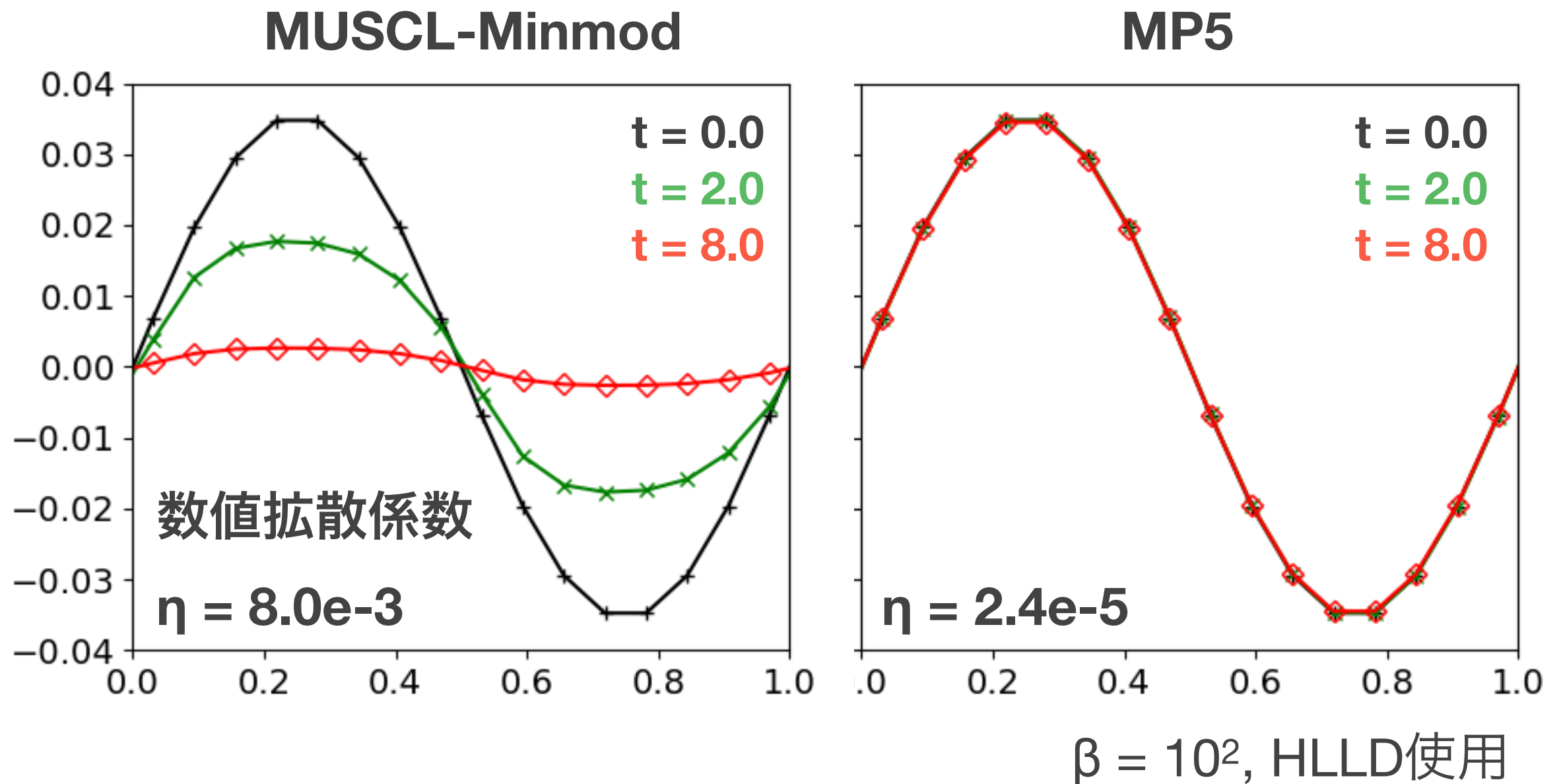
## MUSCL-Minmod

## MP5



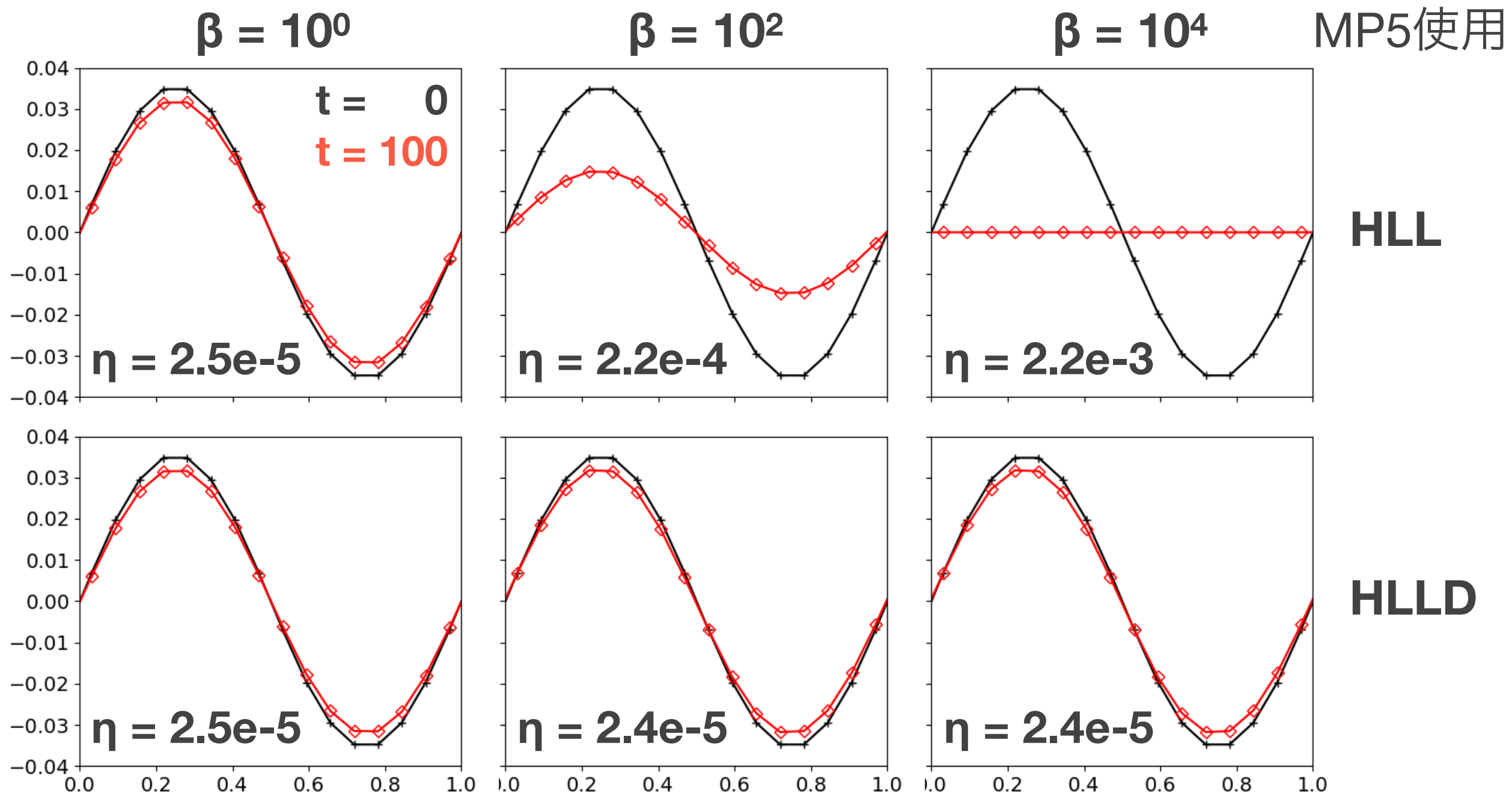
Osherの近似リーマンソルバー、3次精度SSP RK法

# アルフベン波 | 補間スキーム依存性



補間スキームを高次精度化することにより、  
数値拡散による波の減衰が軽減。

# アルフベン波 | リーマンソルバ依存性



$$\eta_{\text{HLL}} \sim \frac{1}{2} (V_x + c_f) \Delta x \sim \frac{1}{2} c_s \Delta x$$

$$\eta_{\text{HLLD}} \sim \frac{1}{2} (V_x + c_A) \Delta x \sim \frac{1}{2} c_A \Delta x$$

$$\rightarrow \eta_{\text{HLL}} / \eta_{\text{HLLD}} \propto \beta^{1/2}$$

# 多次元MHD方程式の解法

# 空間補間手法

- **Unsplit dimension-by-dimension reconstruction**
  - 実装が簡単、計算量が少ない
  - 1次元スキームがそのまま使える
  - 有限体積法として少しいい加減
- **Genuinely 2D/3D reconstruction**  
(e.g., Shi et al., 2001; Balsara et al., 2009)
  - 実装が難しい、計算量が多い
  - 多次元と1次元で異なる非線形補間手法
  - 有限体積法としての理論的な整合性が良い

# 数値スキームの多次元化

$$\frac{\partial U}{\partial t} + \frac{\partial F}{\partial x} + \frac{\partial G}{\partial y} = 0 \quad I_{i,j} = [x_{i-1/2}, x_{i+1/2}] \times [y_{j-1/2}, y_{j+1/2}]$$
$$\frac{1}{\Delta x \Delta y} \int_{I_{i,j}} dx dy$$

セル(i,j)内で空間積分

$$\frac{\partial U_{i,j}}{\partial t} + \frac{F_{i+1/2,j} - F_{i-1/2,j}}{\Delta x} + \frac{G_{i,j+1/2} - G_{i,j-1/2}}{\Delta y} = 0$$

directionally unsplit (各方向を同時に時間積分)

$$F_{i+1/2,j} = \text{Riemann} \left( U_{i+1/2,j}^L, U_{i+1/2,j}^R \right)$$

$$G_{i,j+1/2} = \text{Riemann} \left( U_{i,j+1/2}^L, U_{i,j+1/2}^R \right)$$

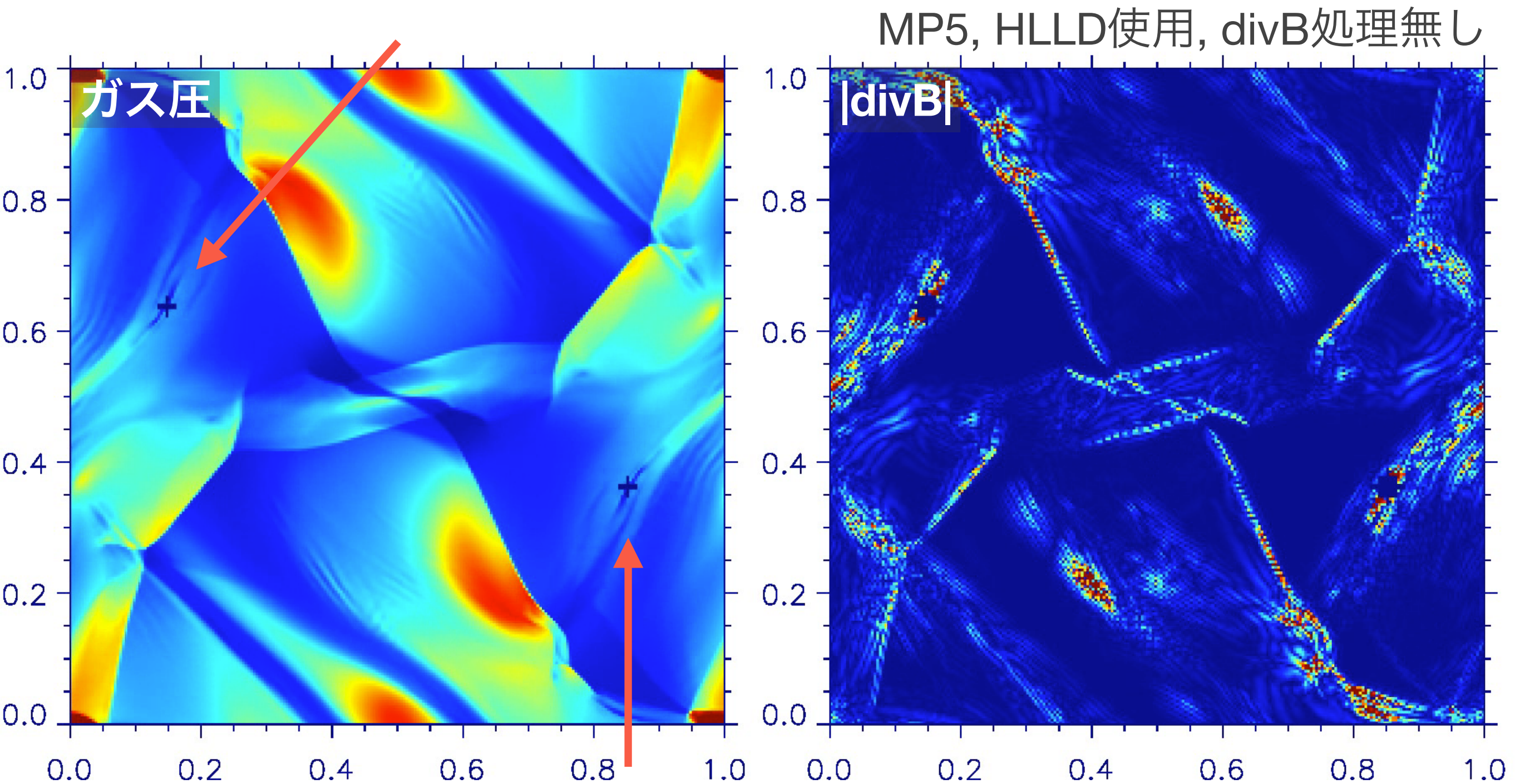
$$U_{i+1/2,j}^L = \text{MP5} (U_{i-2,j}, U_{i-1,j}, U_{i,j}, U_{i+1,j}, U_{i+2,j})$$

$$U_{i,j+1/2}^L = \text{MP5} (U_{i,j-2}, U_{i,j-1}, U_{i,j}, U_{i,j+1}, U_{i,j+2})$$

MP5の場合

1次元リーマンソルバ・空間補間スキームを利用

# Orszag-Tang渦問題



数値スキームにより生成されたdivBがたまり続け、計算が壊れた。

# MHDシミュレーションと磁場の拘束条件

- 磁場の拘束条件（ソレノイダル条件）

$$\nabla \cdot \mathbf{B} = 0$$

- 運動方程式の保存形

$$\frac{\partial}{\partial t} (\rho \mathbf{V}) + \nabla \cdot \left[ \rho \mathbf{V} \otimes \mathbf{V} + \left( p + \frac{B^2}{2} \right) \mathbf{I} - \mathbf{B} \otimes \mathbf{B} \right] = 0$$

- 運動方程式の非保存形（ $\nabla \cdot \mathbf{B}$ がゼロでない場合）

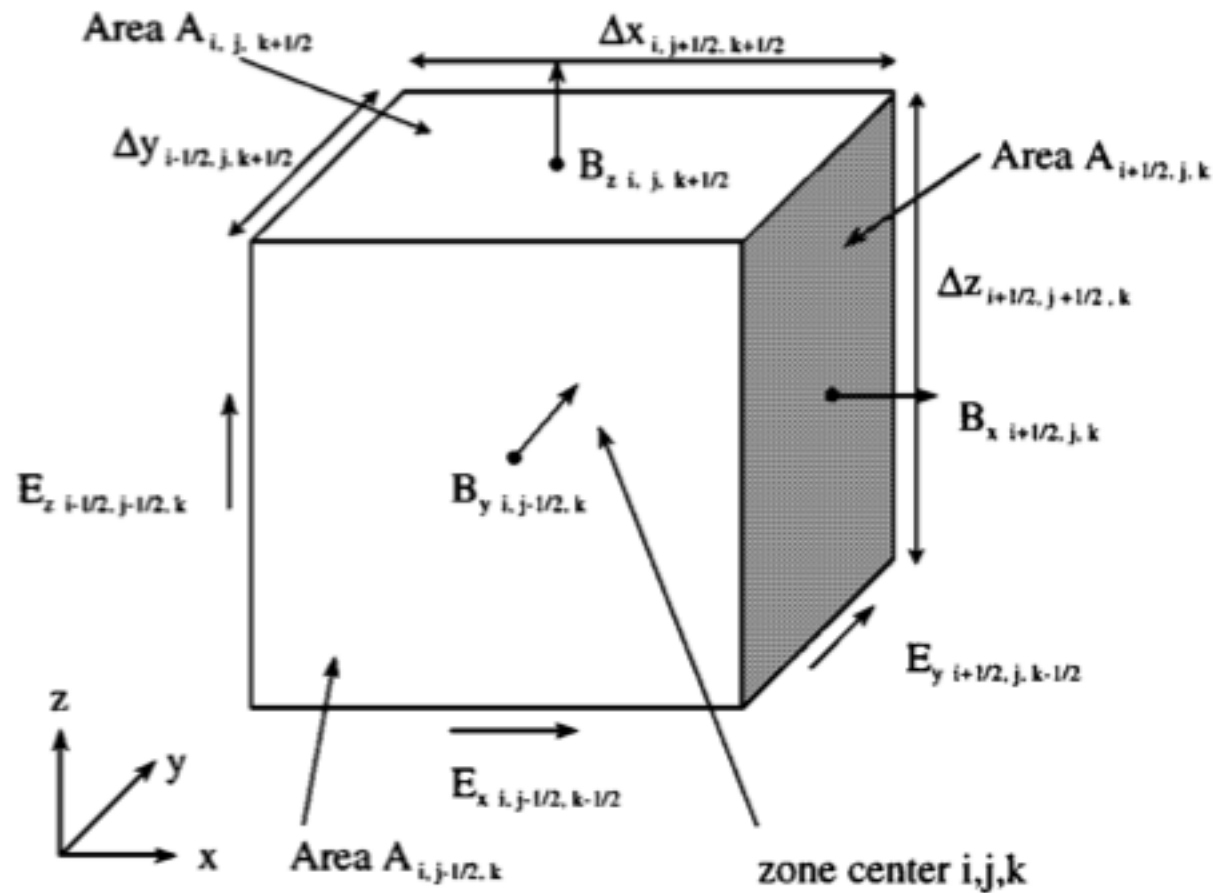
$$\rho \frac{D\mathbf{V}}{Dt} = -\nabla p + \mathbf{J} \times \mathbf{B} + \mathbf{B} (\nabla \cdot \mathbf{B})$$

- 物理的な解を得るために拘束条件を満たす必要。

# 磁場発散の処理

- **divBを生まない離散化手法**
  - **Constrained Transport法** (CT法; Evans & Hawley, 1988):  
磁場を特殊なスタッガード格子上に配置
  - **Central Difference法** (CD法; Toth et al., 2000):  
数値フラックスをセル中心で評価・中央差分
- **生まれたdivBを除去する手法**
  - **プロジェクション法** (Brackbill & Barnes, 1980):  
ポアソン方程式を解いて磁場のモノポールを除去
  - **移流拡散法** (Powel et al., 1999; Dedner, 2002):  
磁場の発散を移流拡散方程式や電信方程式を用いて除去

# Constrained Transport法 (CT法)



Balsara & Spicer (1999)

どのようにセルエッジの電場を決定するかが課題。

Londrillo & Del Zanna (2000, 2004)

Balsara (2004, 2009, 2013)

磁場はセル境界面、  
電場はセルエッジで定義。  
Stokesの定理から磁場を時間発展。  
磁場の発散は常にゼロ。

$$B_{x,i+1/2,j,k}^{n+1} = B_{x,i+1/2,j,k}^n - \frac{\Delta t}{A_{i+1/2,j,k}} \begin{pmatrix} \Delta z_{i+1/2,j+1/2,k} E_{z,i+1/2,j+1/2,k}^{n+1/2} \\ -\Delta z_{i+1/2,j-1/2,k} E_{z,i+1/2,j-1/2,k}^{n+1/2} \\ +\Delta y_{i+1/2,j,k-1/2} E_{y,i+1/2,j,k-1/2}^{n+1/2} \\ -\Delta y_{i+1/2,j,k+1/2} E_{y,i+1/2,j,k+1/2}^{n+1/2} \end{pmatrix}$$

$$B_{y,i,j-1/2,k}^{n+1} = B_{y,i,j-1/2,k}^n - \frac{\Delta t}{A_{i,j-1/2,k}} \begin{pmatrix} \Delta x_{i,j-1/2,k+1/2} E_{x,i,j-1/2,k+1/2}^{n+1/2} \\ -\Delta x_{i,j-1/2,k-1/2} E_{x,i,j-1/2,k-1/2}^{n+1/2} \\ +\Delta z_{i-1/2,j-1/2,k} E_{z,i-1/2,j-1/2,k}^{n+1/2} \\ -\Delta z_{i+1/2,j-1/2,k} E_{z,i+1/2,j-1/2,k}^{n+1/2} \end{pmatrix}$$

$$B_{z,i,j,k+1/2}^{n+1} = B_{z,i,j,k+1/2}^n - \frac{\Delta t}{A_{i,j,k+1/2}} \begin{pmatrix} \Delta x_{i,j-1/2,k+1/2} E_{x,i,j-1/2,k+1/2}^{n+1/2} \\ -\Delta x_{i,j+1/2,k+1/2} E_{x,i,j+1/2,k+1/2}^{n+1/2} \\ +\Delta y_{i+1/2,j,k+1/2} E_{y,i+1/2,j,k+1/2}^{n+1/2} \\ -\Delta y_{i-1/2,j,k+1/2} E_{y,i-1/2,j,k+1/2}^{n+1/2} \end{pmatrix}$$

# 移流拡散法

## 9-wave法 (Dedner, 2002)

divBを除去するため誘導方程式を修正

$$\frac{\partial \mathbf{B}}{\partial t} + \nabla \times \mathbf{E} + \nabla \psi = 0, \quad \frac{\partial \psi}{\partial t} + c_h^2 \nabla \cdot \mathbf{B} = -\frac{1}{\tau} \psi$$

divBについて整理すると電信方程式

$$\left( \frac{\partial^2}{\partial t^2} - c_h^2 \Delta + \frac{1}{\tau} \frac{\partial}{\partial t} \right) (\nabla \cdot \mathbf{B}) = 0$$

位相速度 $c_h$ で伝搬しつつ、  
時間スケール $\tau$ で減衰。

実装しやすく計算負荷も小さい。

# 移流拡散法

## 9-wave法 (Dedner, 2002)

$$\left( \frac{\partial^2}{\partial t^2} - c_h^2 \Delta + \frac{1}{\tau} \frac{\partial}{\partial t} \right) (\nabla \cdot \mathbf{B}) = 0$$

位相速度 $c_h$ の  
波動方程式

$$\left( \frac{\partial^2}{\partial t^2} - c_h^2 \Delta + \frac{1}{\tau} \frac{\partial}{\partial t} \right) (\nabla \cdot \mathbf{B}) = 0$$

時間スケール $\tau$ で  
指数関数的減衰

$$\left( \frac{\partial^2}{\partial t^2} - c_h^2 \Delta + \frac{1}{\tau} \frac{\partial}{\partial t} \right) (\nabla \cdot \mathbf{B}) = 0$$

拡散係数 $\tau c_h^2$ の  
拡散方程式

$$\left( \frac{\partial^2}{\partial t^2} - c_h^2 \Delta + \frac{1}{\tau} \frac{\partial}{\partial t} \right) (\nabla \cdot \mathbf{B}) = 0$$

(a) 減衰項付き波動方程式  
(b) 相対論的拡散方程式

# 9-wave法の解き方(1/2)

x方向の方程式

$$\frac{\partial}{\partial t} \begin{pmatrix} B_x \\ \psi \end{pmatrix} + \frac{\partial}{\partial x} \begin{pmatrix} \psi \\ c_h^2 B_x \end{pmatrix} = \begin{pmatrix} 0 \\ -\psi/\tau \end{pmatrix}$$

演算子  
分離

$$\frac{\partial}{\partial t} \begin{pmatrix} B_x \\ \psi \end{pmatrix} + \frac{\partial}{\partial x} \begin{pmatrix} \psi \\ c_h^2 B_x \end{pmatrix} = 0 \rightarrow \text{次スライドへ}$$

$$\frac{\partial \psi}{\partial t} = -\frac{\psi}{\tau} \rightarrow \begin{aligned} \psi^{n+1} &= \exp(-\Delta t/\tau) \psi^n \\ &\equiv c_d \psi^n \end{aligned}$$

$c_h$ はCFLが許す最大速度 (e.g.,  $\text{CFL} \times \min(\Delta x, \Delta y, \Delta z) / \Delta t$ )、  
 $\tau$ は $0 < c_d < 1$ となるように決定。

# 9-wave法の解き方(2/2)

ソース項を演算子分割した方程式

$$\frac{\partial}{\partial t} \begin{pmatrix} B_x \\ \psi \end{pmatrix} + \frac{\partial}{\partial x} \begin{pmatrix} \psi \\ c_h^2 B_x \end{pmatrix} = \frac{\partial}{\partial t} \begin{pmatrix} B_x \\ \psi \end{pmatrix} + \begin{pmatrix} 0 & 1 \\ c_h^2 & 0 \end{pmatrix} \frac{\partial}{\partial x} \begin{pmatrix} B_x \\ \psi \end{pmatrix} = 0$$

-> MHD方程式に**固有値  $\pm c_h$  の2つの波**が加わった形 (9-wave)

セル境界における**数値フラックス**は以下のように求められる。

$$\psi_{i+1/2} = \frac{1}{2} \left( \psi_{i+1/2}^L + \psi_{i+1/2}^R \right) + \frac{c_h}{2} \left( B_{x,i+1/2}^L - B_{x,i+1/2}^R \right)$$
$$\left( c_h^2 B_x \right)_{i+1/2} = \frac{c_h^2}{2} \left( B_{x,i+1/2}^L + B_{x,i+1/2}^R \right) + \frac{c_h}{2} \left( \psi_{i+1/2}^L - \psi_{i+1/2}^R \right)$$

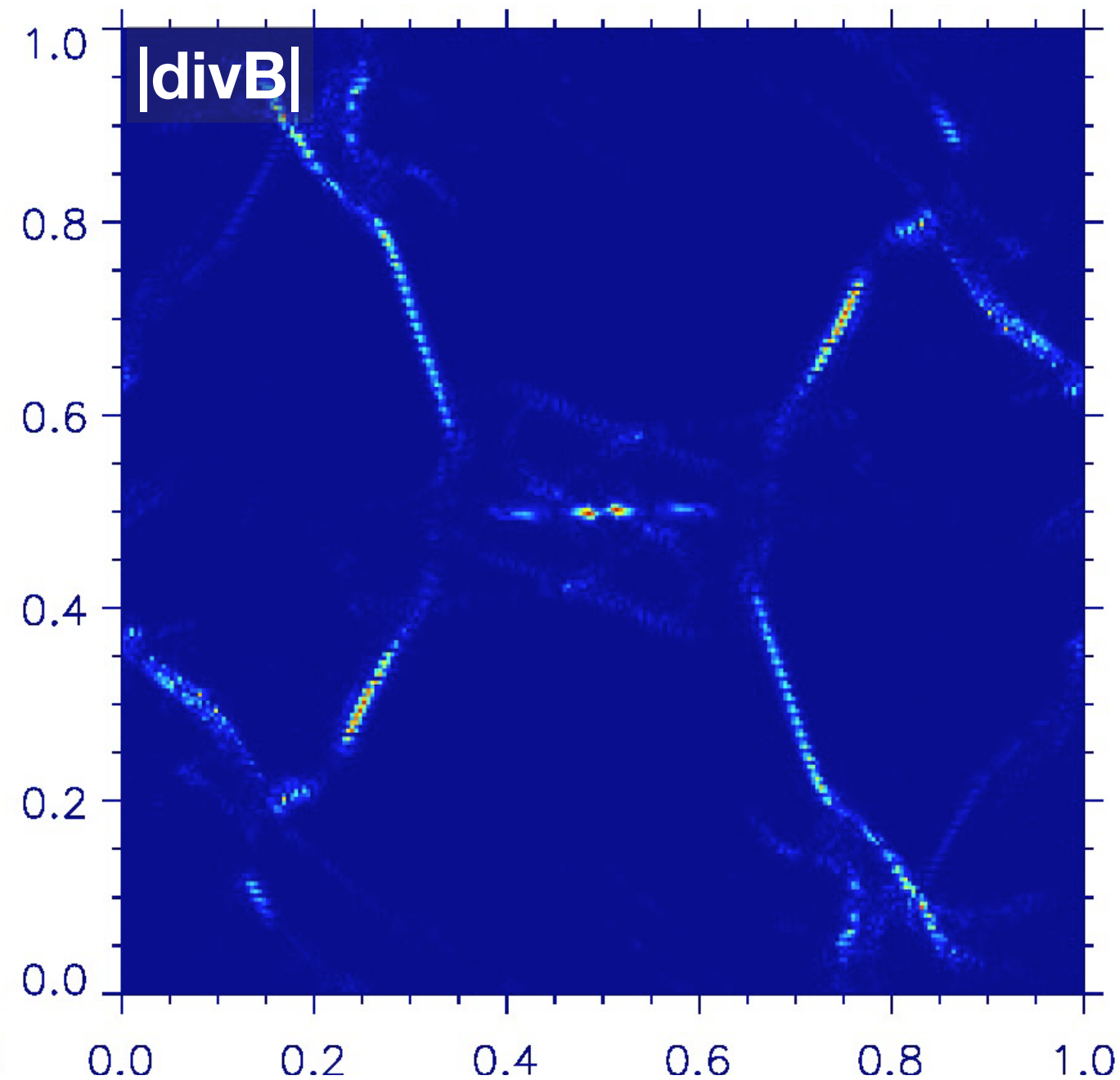
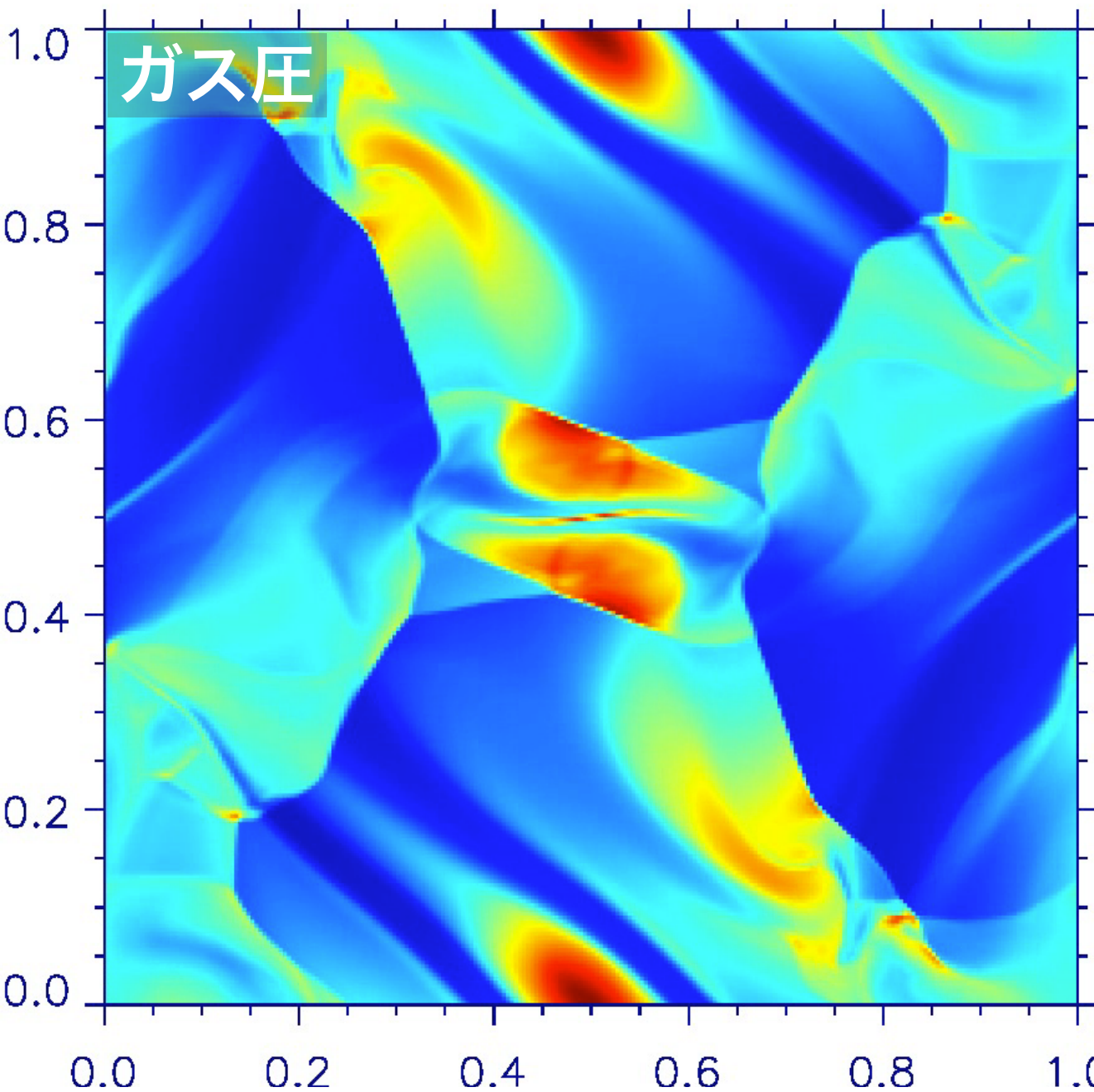
実装は簡単で計算量負荷も小さいが、多少磁場が拡散的な傾向。

divBを厳密にゼロにするわけではないので、

プラズマベータの低い領域ではその誤差が問題になる場合がある。

# Orszag-Tang渦問題

MP5 HIID使用 9-wave法



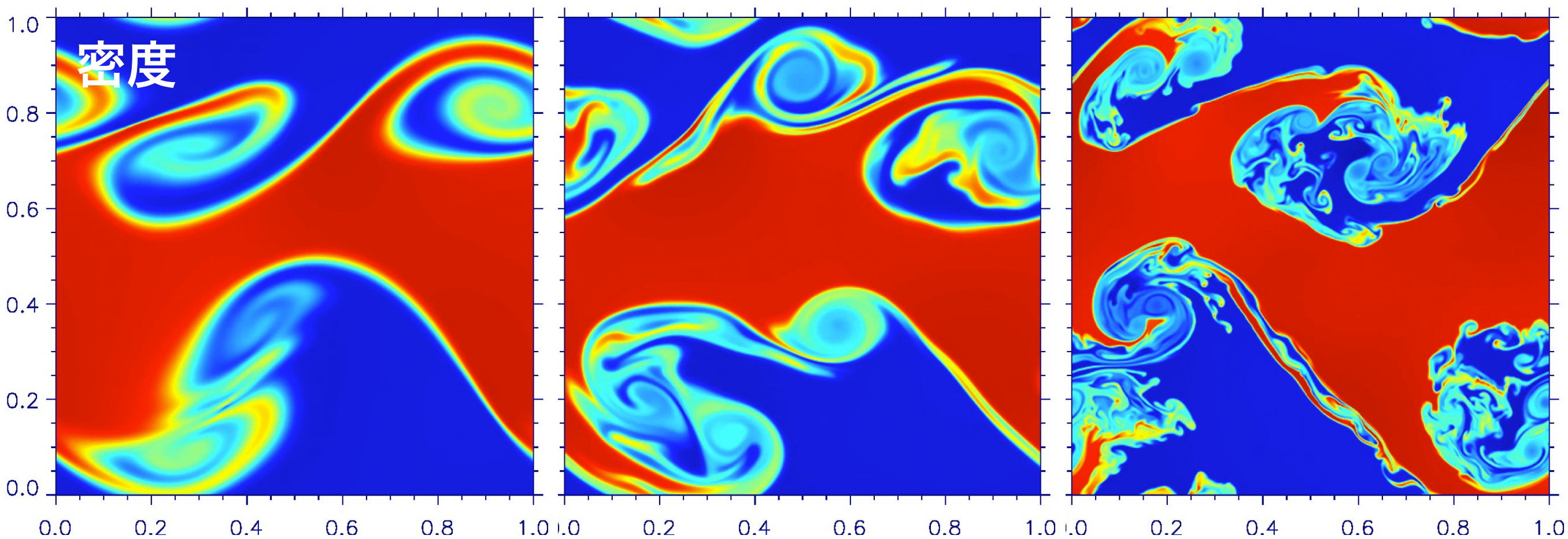
divBは衝撃波付近で生成され続けるが、  
不連続面から離れるとすぐに移流・減衰され、誤差が蓄積しない。

# ケルビン・ヘルムホルツ不安定 | 補間スキーム依存性

1次精度

MUSCL-Minmod

MP5



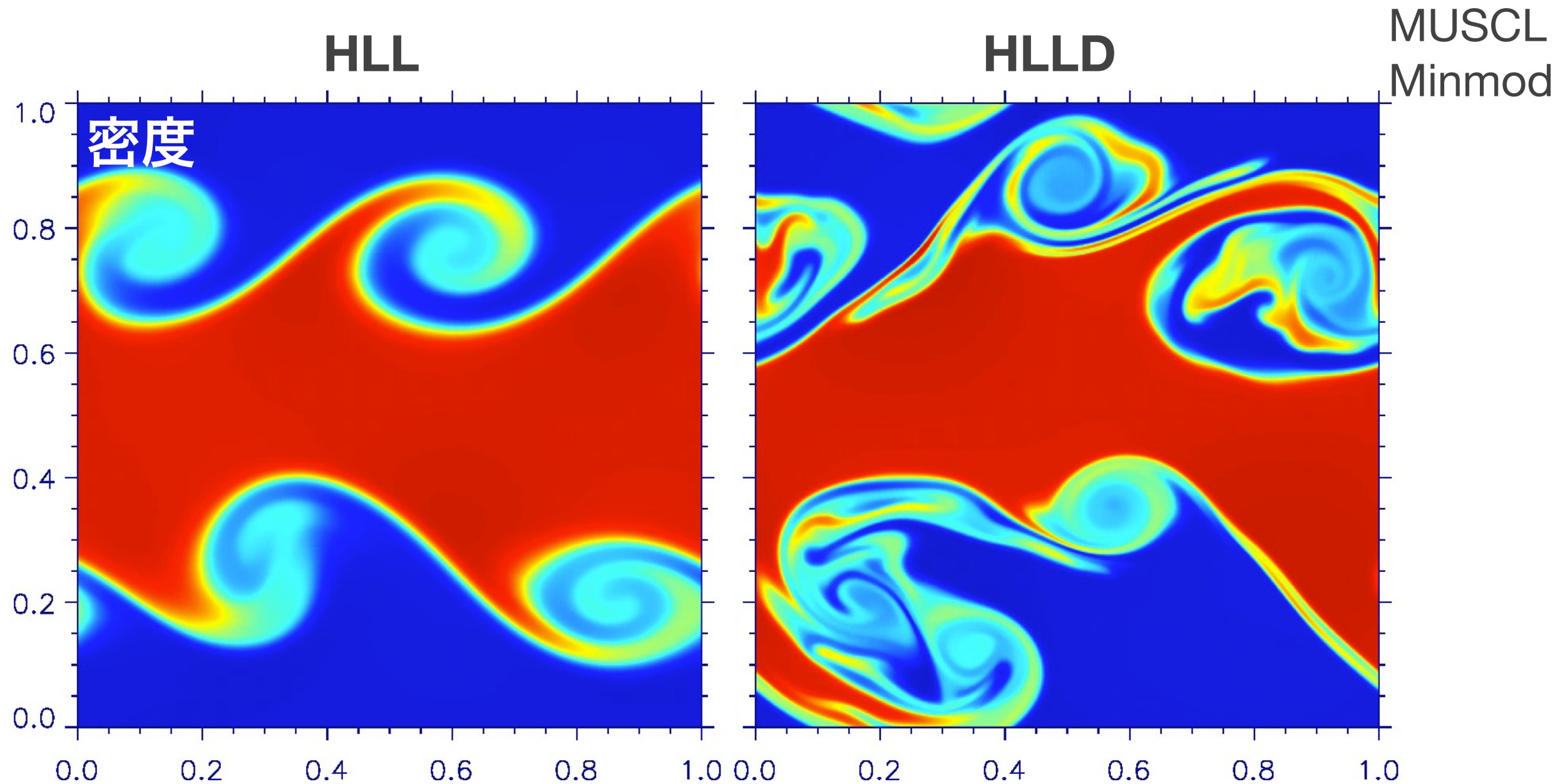
全てHLLDを使用

各層毎に速度差がある流体の間で生じる不安定。

高解像度スキームほど高波数がよく成長する。

接触不連続を分解出来るHLLDスキームを利用。

# ケルビン・ヘルムホルツ不安定 | リーマンソルバ依存性

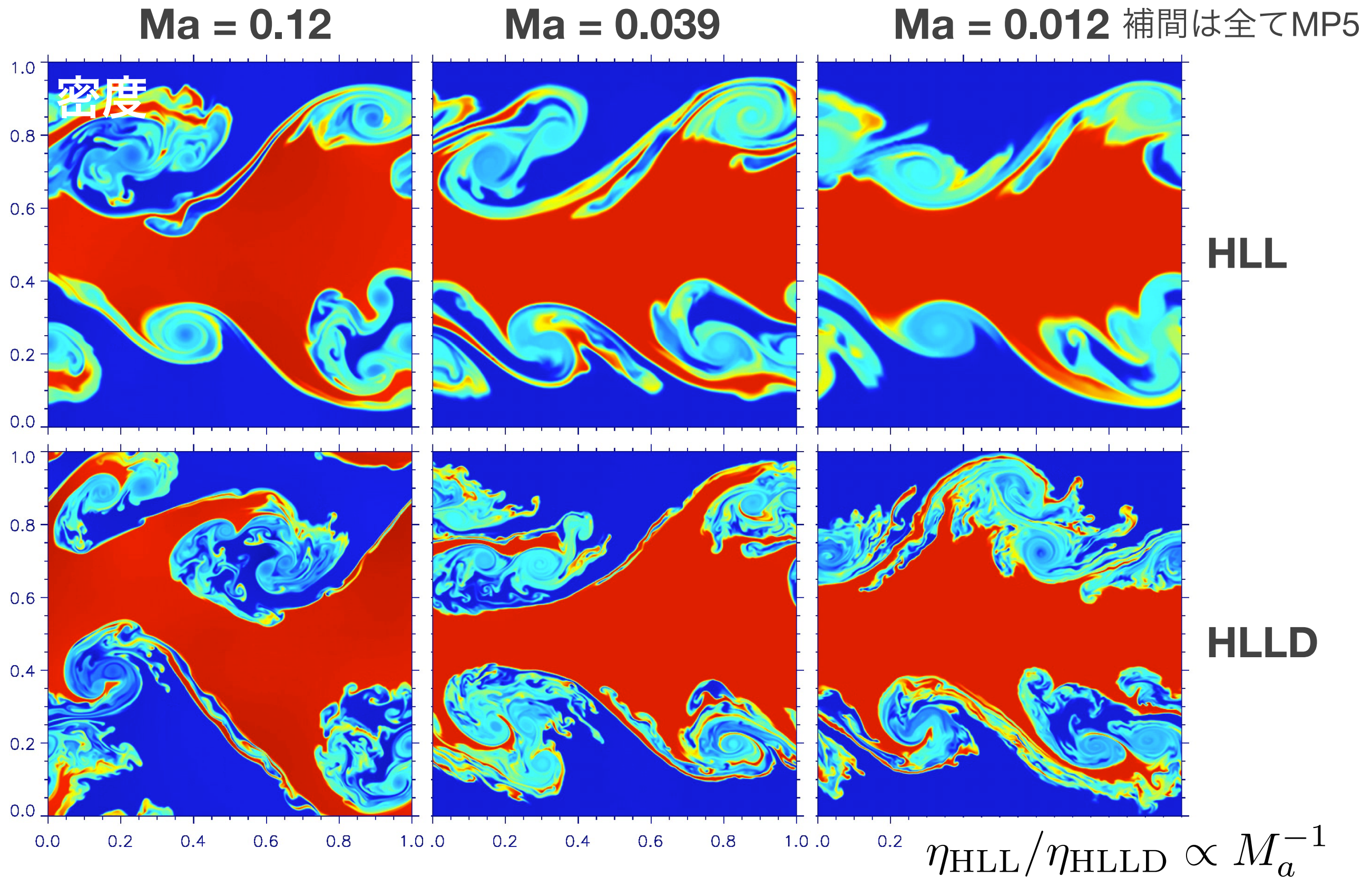


HLLは接触不連続を分解出来ないため、**低マッハ数のKH不安定の解像度は低い。**

$$\eta_{\text{HLL}} \sim \frac{1}{2} (|V| + c_f) \Delta x \sim \frac{1}{2} c_s \Delta x$$

$$\eta_{\text{HLLD}} \sim \frac{1}{2} |V| \Delta x \sim \frac{V}{c_s} \eta_{\text{HLL}} \sim \text{Ma} \cdot \eta_{\text{HLL}}$$

# ケルビン・ヘルムホルツ不安定 | マッハ数依存性



# まとめ

- 実用的・効率的なMHDシミュレーションのためには  
**高次精度化・多次元化が必須！**
- **高次精度化**
  - 衝撃波等の不連続面を取り扱う**非線形補間**  
(e.g., MUSCL, WENO, MP5)
  - **特性量変換**の効果（高解像度なスキームほど顕著）
  - **リーマンソルバ**も計算結果の解像度に大きく影響
- **多次元化**
  - **1次元補間手法**の利用（dimension-by-dimension, unsplit）
  - **磁場発散**の処理（9-wave法、CT法）